

BIOLOGICAL SERIES

784-8  
1980



ISSN—0321—1665

საქართველოს სსრ მეცნიერებათა აკადემიის მუნიც.

ИЗВЕСТИЯ АКАДЕМИИ НАУК ГРУЗИНСКОЙ ССР  
PROCEEDINGS OF THE ACADEMY OF SCIENCES  
OF THE GEORGIAN SSR

გიორგი  
სერია  
БИОЛОГИЧЕСКАЯ

61

1980 N 5

თბილისი ■ გვ. 61  
TBILISI ■ VOL. 61

6

**СПИСОК РАЗДЕЛОВ БИОЛОГИИ,  
ПО КОТОРЫМ ПРИНИМАЮТСЯ СТАТЬИ**

Теоретическая биология  
Физиология человека и животных  
**Морфология**  
    Анатомия  
    Эмбриология и гистология  
    Цитология  
    Патологическая морфология  
**Биохимия**  
Фармакология  
Ботаника (экспер. и теорет.)  
Физиология растений  
Зоология (экспер. и теорет.)  
Энтомология  
Паразитология  
Гельминтология  
Палеобиология  
Биогеоценология  
Экология  
Микробиология  
Вирусология  
Иммунология  
Генетика  
Радиобиология  
Биофизика  
Молекулярная биология  
Бионика и биокибернетика



საქართველოს სსრ მეცნიერებათა აკადემიის გაცემული იურიდიული  
ИЗВЕСТИЯ АКАДЕМИИ НАУК ГРУЗИНСКОЙ ССР

ბიოლოგიური ჟურნალი  
СЕРИЯ БИОЛОГИЧЕСКАЯ

ტომი  
Том 6, № 5

ფურნალი დაარსებულია 1975 წელს  
Журнал основан в 1975 году  
გამოდის წელიწადში 6-ჯერ  
Выходит 6 раз в год

გამოვლენა „მეცნიერება“ ● თბილისი ● 1980  
ИЗДАТЕЛЬСТВО „МЕЦНИЕРЕБА“ ● ТБИЛИСИ ● 1980

სარჩევაზოი პოლიტიკა:

მთავარი რედაქტორი ვ. კუჯავა  
მთავარი რედაქტორის მოადგილი თ. ინიაშვილი  
სრული მდივანი გ. ბეჭაძე

ლ. გაბუნია, ს. დურმიშვილე, მ. ჰავალიშვილი, გ. თუმანიშვილი, ი. თუმაქანოვი,  
გ. კანდელაკი, ნ. კეცხოველი, ქ. ნადარეიშვილი, პ. ქომეთიანი, ბ. ყურაშვილი,  
ნ. ძაბედიშვილი, თ. ჭავაშვილი, შ. ჭანიშვილი, ნ. ჭავახიშვილი

პასუხისმგებელი მდივანი ს. ლაბაძე

РЕДАКЦИОННАЯ КОЛЛЕГИЯ:

Главный редактор В. М. Окуджава

Зам. главного редактора Т. Н. Онiani

Ученый секретарь Г. Л. Бекая

Л. К. Габуния, Н. А. Джавахишвили, Н. Н. Дзидзишвили, С. В. Дурмишидзе,  
М. М. Заалишвили, Г. В. Каиделаки, Н. Н. Кецховели, П. А. Кометиани,  
Б. Е. Курашвили, К. Ш. Надареишвили, И. И. Тумаджанов, Г. Д. Туманишвили,  
Т. Г. Чанишвили, Ш. Ф. Чанишвили

Ответственный секретарь С. Р. Лабадзе

EDITORIAL BOARD:

Editor-in-Chief V. M. Okujava

Associate Editor T. N. Oniani

Editorial Secretary G. L. Bekiaia

Sh. F. Chanishvili, T. G. Chanishvili, N. A. Djavakhishvili, S. V. Durmishidze,  
N. N. Dzidzishvili, L. K. Gabunia, G. V. Kandelaki, N. N. Ketskhoveli,  
P. A. Kometiani, B. E. Kurashvili, K. Sh. Nadareishvili, I. I. Tumajanov,  
G. D. Tumanishvili, M. M. Zaalishvili

Executive Secretary S. R. Labadze

© Известия АН ГССР  
Серия биологическая, 1980

СОДЕРЖАНИЕ — 2060060 — CONTENTS

- Р. Г. Картвелишвили, Ц. Г. Сукнидзе, М. М. Хананашвили.  
О влиянии дозированной мышечной нагрузки на экспериментальный невроз у собак 389  
 R. G. Kartvelishvili, Ts. G. Suknidze, M. M. Khananashvili.  
Effect of dosed muscular loading on experimental neurosis in dogs
- И. А. Мжавия, В. М. Окуджава. Процессы торможения в тетанотоксиковом очаге коры больших полушарий 395  
 I. A. Mzhavia, V. M. Okujava. Inhibition in tetanotoxin foci of the cerebral cortex
- Н. С. Папуашвили, В. М. Окуджава, Л. П. Мествирисвили.  
Влияние хронически созданного кобальтового эпилептогенного очага на структуру и длительность отдельных фаз циклов бодрствование-сон 402  
 N. S. Papuashvili, V. M. Okujava, L. P. Mestvirishvili. The influence of cobalt experimental epileptogenic focus upon the structure and duration of various stages of the sleep-wakefulness cycle
- А. А. Унгиядзе. Влияние стимуляции вентрального гиппокампа на электрическую активность поясной извилины у кошки 412  
 A. A. Ungiadze. Effect of the ventral hippocampus stimulation on the electrical activity of cingulate gyrus in the cat
- Е. Г. Мхедзев. Ультраструктурная организация нейронов вентромедиального ядра гипоталамуса кошки 419  
 E. G. Mkhedze. The ultrastructural organization of neurons in the ventromedial nucleus of hypothalamus of the cat
- Н. В. Карападзе, Р. В. Карападзе, Е. В. Селихова, Н. П. Убери.  
Энергетическая обеспеченность, сократительные свойства пучков гликеринизированных волокон и структура миокарда при токсико-аллергическом миокардите 429  
 N. V. Karsanov, R. V. Karapadze, E. V. Selikhova, N. P. Uberi.  
Energy supply, contractile properties of bundles of glycerinated muscle fibres and myocardial structure in toxicallergic myocarditis
- Э. Ш. Квавадзе, К. Г. Николайшивили. О видовой самостоятельности *Dendrobaena schelkownikovi* (Michaelson 1907) и новый вид дождевого червя из Гирканского заповедника 440  
 E. Sh. Kvavadze, K. G. Nikolayshvili. On the specific nature of *Dendrobaena schelkownikovi* (Michaelson, 1907) and a new species of the genus *Dendrobaena* from the Girkhan Nature Reserve



E. Sh. Kvavadze, K. G. Nikolaishvili. On the species independence of <i>Dendrobaena schelkownikovi</i> (Michaelsen, 1907) and a new species of earth worm from the Hircan reserve . . . . .	448
T. A. Lominadze. Phylogenetic connections of <i>Hecticoceratinae</i> . . . . .	448
N. G. Goginashvili, E. Ya. Natsiashvili. Antibacterial properties of arteries treated successively with trypsin and antibiotics . . . . .	456
I. I. Georgadze, T. V. Birkadze, T. G. Chaniashvili, T. G. Orlova, E. V. Chichinadze, L. K. Gachechiladze, A. I. Kognovitskaya. Investigation of interferonogenic activity of phage DDVI . . . . .	462
I. S. Kapanadze, I. G. Kerkadze. Polyploids of tea species and their genetic significance . . . . .	469
J. S. Karapnadze, J. G. Kerkadze. The polyploids of the ( <i>Thea</i> L.) Genus of tea and their genetic significance . . . . .	476
<b>Рецензии</b> <b>Reviews</b>	
L. L. Natadze. To the publication of the Georgian histological and embryological nomenclature . . . . .	476
<b>Хроника</b> <b>Chronicle</b>	
III Международный териологический конгресс (III ITC) . . . . .	479

УДК 612.821.6

ФИЗИОЛОГИЯ ЧЕЛОВЕКА И ЖИВОТНЫХ

## О ВЛИЯНИИ ДОЗИРОВАННОЙ МЫШЕЧНОЙ НАГРУЗКИ НА ЭКСПЕРИМЕНТАЛЬНЫЙ НЕВРОЗ У СОБАК

Р. Г. Картвелишвили, Ц. Г. Сукнидзе, М. М. Хананашвили

Институт физиологии им. И. С. Бериташвили АН ГССР, Тбилиси

Поступила в редакцию 19.2.1980

Исследовалось влияние дозированной мышечной нагрузки на протекание экспериментального информационного невроза у собак. Установлено, что эффект такого влияния существенно зависит от индивидуальных особенностей высшей нервной деятельности животных. На собак с сильным типом нервной системы ежедневная мышечная тренировка в трегбане оказала лечебное воздействие, что проявилось в значительном восстановлении краткосрочной памяти, адекватной эмоциональной реакции, а также в нормализации сердечного ритма и артериального давления. Механизм лечебного эффекта объясняется неспецифическим повышением общего функционального состояния (тонуса) головного мозга.

Ранее было установлено, что при решении животными трудных задач по аналитико-синтетической деятельности у них, как правило, возникают разнообразные изменения в поведении, которые в условиях свободной двигательной активности проявляются в увеличении межсигнальных реакций, интенсивном хождении по экспериментальной комнате, чесании, частом отряхивании и др. Интенсивность этих реакций растет по мере увеличения нагрузки на высшую нервную деятельность [12, 13]. Это дало основание рассматривать возникновение и усиление двигательной активности в указанных условиях как проявление саморегуляционной деятельности мозга. При этом считается, что один из механизмов такой саморегуляции заключается в повышении общего функционального состояния мозга. Такое объяснение фактов подтверждают наблюдения, указывающие на астенизирующую или патогенное влияние на высшую нервную деятельность двигательной инактивации, когда животные лишены возможности реагировать усиливением двигательной активности при значительных нагрузках на высшие функции мозга [2, 8]. Изложенное дает основание для специальных исследований влияния характера, объема и других параметров мышечной нагрузки как на нормальную высшую нервную деятельность (в целях ее оптимизации), так и на нарушенную (в целях ее лечения). В соответствии с этим задача настоящего исследования заключалась в изучении влияния повышенной двигательной (локомоторной) активности на высшую нервную деятельность у собак в состоянии экспериментального невроза.

### МЕТОДИКА

Опыты проводились на пяти собаках по двигательно-пищевой методике изучения отсроченных реакций и условных рефлексов. Пред-

варигельно в большой экспериментальной комнате (площадью 42 м<sup>2</sup>) животных приучали находиться в закрытой сетчатой клетке (площадью 0,5 м<sup>2</sup>), которая служила стартовым местом. На расстоянии 4 м от клетки размещались три кормушки. Экспериментальный невроз вызывался раздражителями, сигнализирующими отсроченную реакцию. С этой целью у всех собак вырабатывались положительные условные рефлексы: на тон 500 Гц — к кормушке № 1, на звуковые щелчки — к кормушке № 2, на звонок — к кормушке № 3. Отрицательный рефлекс вырабатывался на тон 1000 Гц к кормушке № 1. Источники звуковых раздражений находились у кормушек; подкрепляли животных кусочками мяса. После упрочнения условных рефлексов производилось тестирование отсроченных реакций, которые изучались методом Хантера по способу, получившему, согласно определению И. С. Бериташвили [1], название непрямого. Для этого после выключения условного сигнала, спустя отрезок времени, соответствующий отсрочке, открывалась дверь и животное выпускалось из клетки. Считалось, что если животное направлялось к кормушке, соответствующей сигнальному значению раздражителя, то в краткосрочной памяти удерживалась след последнего. В интервалах между сигналами животное размещалось в стартовой площадке — клетке, куда оно направлялось после пищевого подкрепления.

Экспериментальный невроз вызывался путем экстренного сокращения временных интервалов между отдельными тестами (пробами на отсрочку) до 15—20 с. Этот прием невротизации животных основывается на ранее установленной закономерности: необходимость сложной аналитико-синтетической деятельности в условиях постоянного дефицита времени и высокого уровня мотивации, как правило, ведет к возникновению патологии, получившей, применительно к животным, название экспериментальных информационных неврозов [11].

ЭКГ регистрировалась свинцовыми пластинчатыми электродами в грудных отведениях и записывалась на чернилопишущем электрографе.

Измерение кровяного давления производилось через сонную артерию, выведенную в кожный лоскут.

Дозированная повышенная двигательная нагрузка создавалась для животных при помощи третбана, который представлял собой платформу длиной 140 см, шириной 50 см, вращающуюся со скоростью 11 м/мин. Собака, будучи привязанной к неподвижным стержням третбана, не могла передвигаться вместе с платформой и шагала на одном месте. Количество движения лап зависело от скорости движения платформы третбана. Животные ставились в третбан в одно и то же время суток, как правило, после опытов с исследованием их высшей нервной деятельности. Продолжительность двигательной нагрузки была индивидуальной и определялась временем появления первых признаков утомления.

## РЕЗУЛЬТАТЫ ИССЛЕДОВАНИЯ

У нормальных собак максимум отсрочки на условные сигналы был разным. Так, для собак № 1 и № 2 максимум отсрочки на положительные условные сигналы был равен 4 мин, а на отрицательные — 1 мин, для собаки № 3 — 2 и 0,5 мин соответственно, для собаки № 4 — 1,5 мин и 30 с, для собаки № 5 — 1 мин и 30 с.

Собаки № 1, № 2 и № 3 отличались уравновешенной сильной нервной системой, легко привыкали к экспериментальной обстановке, положительные рефлексы на звуковые раздражители выработались у них быстро, легко выработалось и внутреннее торможение. Собаки № 4 и № 5 — пугливые, трудно привыкали к условиям эксперимента, на необычные, даже несильные раздражители проявляли пассивно-оборонительную реакцию.

После сокращения интервалов между тестами у всех животных развились экспериментальный невроз. У собак № 1, № 2 и № 3 глубокий невроз развился приблизительно через три месяца; предневротический период у них был продолжительным и характеризовался включением мощных компенсаторных механизмов мозга, вследствие чего организм долго сопротивлялся наступлению патологии. У собак № 4 и № 5 предnevротический период был сравнительно кратковременным и глубокие нарушения высшей нервной деятельности наступали быстрее (приблизительно через полтора-два месяца).

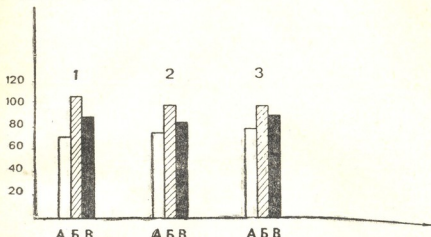


Рис. 1. Изменение сердечного ритма после дозированной мышечной нагрузки:

А—в нормальном состоянии; Б—в состоянии невроза; В—после мышечно-нагрузки; 1, 2, 3—номера собак. По оси ординат—частота сердцебиений в минуту

Симптомокомплекс экспериментального невроза у всех собак сводился к резким нарушениям нормального поведения: имело место ухудшение краткосрочной памяти (максимум отсроченных реакций на условные сигналы уменьшился до 5—15 с); появились легкая возбудимость и агрессивность как в экспериментальном помещении, так и вне его; возникли навязчивые (персеверативные) движения к какой-нибудь одной кормушке; развились трофические нарушения, вследствие которых отмечалось выпадение шерсти, интенсивные чесания, появление язв на морде и теле, падение веса, возникла одышка, по сравнению с нормой резко (на 25—40%) участился сердечный ритм, артериальное давление повысилось от 110—120 до 160—180 мм ртутного столба.

Собаки № 1, № 2 и № 3 на 5—8-й день тренировки привыкли к третбану. Продолжительность каждой тренировки для собак № 1 и № 2 составляла 12 мин, для собаки № 3 — 10 мин. Как уже отмечалось, животные подвергались мышечной тренировке в третбане после эксперимента, а время тренировки подбиралось индивидуально и определялось временем появления первых признаков утомления. Все остальные условия жизнедеятельности и эксперимента оставались без изменения.

Тренировка в третбане в течение 30—35 дней положительно повлияла на собак с сильным типом нервной системы: судя по максимальной продолжительности отсроченных реакций, на 40—50% восстановилась краткосрочная память, снизилось общее чрезмерное возбуждение и исчезла агрессивность, собаки прибавили в весе, прекратились навязчивые движения, интенсивные чесания, выпадение шерсти, отмечалось некоторое урежение сердечного ритма (рис. 1), уменьшение артериального давления (рис. 2).

Собаки № 4 и № 5 со слабым типом нервной системы не привыкли к третбану, во время тренировки проявляли сильную реакцию страха. Общее состояние животных резко ухудшалось, артериальное давление по-

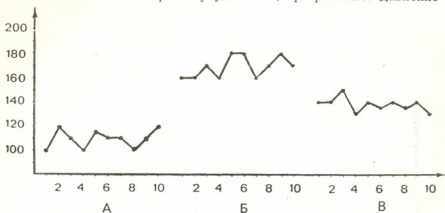


Рис. 2. Изменение артериального давления у собаки № 2 после дозированной мышечной нагрузки: А—в нормальном состоянии; Б—в состоянии невроза; В—после мышечной нагрузки. По оси ординат — величина артериального давления в мм; по оси абсцисс — опытные дни

высилось до 190—220 мм ртутного столба, усилилась тахикардия, поэтому опыты с применением третбана на этих собаках были прекращены.

#### ОБСУЖДЕНИЕ РЕЗУЛЬТАТОВ

Хотя давно известно, что повышенная мышечная нагрузка может улучшить протекание нервных процессов и, наоборот, ограничение мышечной активности, ее депривации, может служить фактором астенизации нервной системы и, таким образом, способствовать развитию ее патологии, до последнего времени эти наблюдения не рассматривались с учетом индивидуальных особенностей высшей нервной деятельности. Кроме того, не было проведено специальных исследований по влиянию дозированной мышечной нагрузки на ту форму патологии мозга, которая получила название информационной, т. е. возникающей в условиях неблагоприятного сочетания трех следующих факторов воздействия на высшие отделы головного мозга: определенного объема информации, подлежащей обработке и усвоению при постоянном дефиците времени, отведенного на такую работу мозга и высоком уровне мотивации. Между тем, если учесть роль этих факторов в патологии мозга человека [3], то необходимость разработки экспериментально обоснованных рекомендаций по применению мышечной нагрузки, как одного из нефармакологических методов лечения и профилактики такой патологии, не вызывает сомнения. В наших исследованиях определение типа высшей нервной деятельности животных специально не производилось, однако многомесячный учет разных параметров выработки и протекания у собак условно-рефлекторных и отсроченных реакций, а также показателей поведения животных при невротизации, позволяет иметь суждение об индивидуальных особенностях их нервной системы. По этим показателям исследованные нами животные разделяются на две группы. Животные первой группы характеризуются сильной и уравновешенной нервной системой, животные второй группы — слабой неуравновешенной нервной системой. Как показали исследования, дозированная мышечная нагрузка по-разному влияет на обе группы животных в состоянии экспериментального невроза. Так, у животных первой группы через 30—35 дней

после начала их тренировки в третбане наблюдалось снижение эмоционального напряжения и уменьшение двигательного возбуждения, увеличение максимума времени отсрочки, что, согласно представлениям ряда исследователей [1, 4], можно рассматривать как улучшение краткосрочной памяти. Одновременно у этих животных прекратилось выпадение шерсти, они стали прибавлять в весе, что указывает на заметное восстановление регуляции трофических функций. Иная картина наблюдалась у животных второй группы, у которых применение третбана не способствовало восстановлению нарушенных функций.

Мы предполагаем, что механизмы оптимизирующего влияния дозированной мышечной нагрузки на высшую нервную деятельность связаны с повышением общего функционального состояния (тонуса) головного мозга. Последнее, как это было показано в ряде исследований [5, 9, 10], относится к основным функциям мозга, участвующим в нормальной высшей нервной деятельности [5]. Один из существенных механизмов поддержания и регуляции общего функционального состояния мозга заключается в обеспечении притока в мозг проприорецептивной импульсации из мыши, сухожилий, связочного аппарата суставов. В нейрофизиологии хорошо известны возможные пути такого влияния на высшие отделы мозга, например с участием ретикулярной формации [7, 14]. Этот приток саморегулируется в нормальных условиях: именно этим объясняется изменение двигательной активности на ранних этапах воздействия патогенного агента на мозг. Однако по мере развития патологии, в состоянии глубокого экспериментального невроза, механизм такой саморегуляции оказывается нарушенным, в результате чего степень мышечной активности становится неадекватной для формирования оптимального уровня высшей нервной деятельности. На этом этапе применение дозированной мышечной активности как средства лечения, как метода коррекции оказывается полезным для нервной системы, но с учетом ее индивидуальных особенностей. Наблюдения последних лет позволяют нам говорить и о более глубоких механизмах оптимизирующего эффекта мышечных нагрузок. Так, установлено, что у крыс, находящихся в состоянии гипокинезии в течение 30 суток, имело место снижение активности ядерной ДНК нейронов, что в большей степени выражено у пирамидных и в меньшей — у звездчатых нейронов.

При последующем же повышении физической нагрузки — бег на третбане в течение 20 дней — происходит заметное возрастание ядерной ДНК. Аналогичное явление наблюдается у животных, не подвергавшихся ранее гипокинезии. На основании этих данных делается вывод о зависимости активности генетического аппарата нервных клеток от проприорецептивной аfferентации [6]. То, что применение в наших экспериментах мышечной нагрузки не оказалось лечебного влияния на животных со слабой нервной системой, вовсе не дает основания для вывода о невозможности их лечения этим методом. Наиболее оправдано сейчас заключить, что еще не обнаружена та степень, та «лоза» мышечной нагрузки, которая оказывает оптимизирующее влияние на животных этой группы. Иначе говоря, мы предполагаем, что использованная нами интенсивность мышечной нагрузки не способствовала повышению общего функционального состояния мозга животных со слабым типом нервной системы, что, возможно, объясняется недостаточной или чрезмерной активацией соответствующих структур мозга.

#### ЛИТЕРАТУРА

1. Берита швили И. С. Память позвоночных животных, ее характеристика и происхождение, «Мецниереба», Тбилиси, 1968.
2. Долин А. О., Долина С. А. Патология высшей нервной деятельности, «Высшая школа», М., 1972.

3. Киколов А. И. Журн. высш. нервн. деят., т 2, 410—412, 1977.
4. Конорский Ю. М. Интегративная деятельность головного мозга., «Мир», М., 1970.
5. Костенецкая Н. А. Условно-рефлекторная регуляция тонуса коры головного мозга, «Медицина», Л., 1965.
6. Крылов О. А. Успехи физиол. наук, 10, 4, 3—19, 1979.
7. Мегун Г. Бодрствующий мозг, «Мир», М., 1965.
8. Поппай М., Гехт К., Мориц В. Журн. высш. нервн. деят., 2, 348—350, 1977.
9. Хананашвили М. М. Экспериментальная патология высшей нервной деятельности, «Медицина», М., 1978.
10. Хананашвили М. М. Механизмы нормальной и патологической условно-рефлекторной деятельности, «Медицина», Л., 1972.
11. Хананашвили М. М. Журн. высш. нервн. деят., 24, 4, 675—681, 1974.
12. Хананашвили М. М., Сукнидзе Ц. Г. Журн. высш. нервн. деят., 2, 28, 265—273, 1978.
13. Хананашвили М. М., Чхубинишвили Л. Г., Мещеряков В. А. Изв. АН ГССР, сер. биол., 2, 1, 25—33, 1976.
14. Nauta W. J. In: Electrical Studies on the Unanesthetized Brain. E. R. Ramey D. S. O'Doherty (Eds) Hoeber, 1960, I—17.

ეოზინიზული კუთხოვანი დატვირთვის გავლენა იქსარიშენტულ  
ნერვულებზე ძალებითი

რ. ქართველი მასტერი, ც. სუქნიძე, მ. ხანანაშვილი

საქართველოს სსრ მეცნიერებათა აკადემიის ა. ბერიატაშვილის  
სახელობის ფიზიოლოგიის ინსტიტუტი, თბილისი

რეზიუმე

ძალუბისთვის დიდი რაოდენობით ინფორმაციის მიწოდებაში, დროის  
დეფიციტის პირობებში, როდესაც მოტივაციის დონე მაღალი იყო, გამოიწვია  
ინფორმაციული ნეკროზების განვითარება. ნეკროზულ მდგომარეობაში მყოფ  
ძალუბზე შესწავლილ იქნა დოზირებული კუნთვენი დატვირთვის გავლენა.  
გამოიჩვა, რომ ძლიერი ნერვული სისტემის მქონე ძალუბზე ასეთი და-  
ტვირთვა დადგებითად მოქმედებს: აუმჯობესებს ორგანიზმის სეროთ მდგო-  
მარეობას და ალაზენს დარღვეულ უმაღლეს ნერვულ მოქმედებას.

## EFFECT OF DOSED MUSCULAR LOADING ON EXPERIMENTAL NEUROSIS IN DOGS

R. G. KARTVELISHVILI, Ts. G. SUKNIDZE, M. M. KHANANASHVILI

I. S. Beritashvili Institute of Physiology, Georgian Academy of Sciences, Tbilisi, USSR

### Summary

Informational neurosis was produced in dogs by means of triad of factors: large information volume, prolonged deficit of time and high motivation level. The impact of dosed muscular loading on the higher nervous activity of dogs with experimental informational neurosis was studied.

Such interference is shown to have a positive effect on the dogs with the nervous system of a strong type, i. e. it improves their general condition and restores the disturbed higher nervous activity.

УДК 616.853+612.822

ФИЗИОЛОГИЯ ЧЕЛОВЕКА И ЖИВОТНЫХ

## ПРОЦЕССЫ ТОРМОЖЕНИЯ В ТЕТАНОТОКСИНОВОМ ОЧАГЕ КОРЫ БОЛЬШИХ ПОЛУШАРИЙ

И. А. Мжавия, В. М. Окуджава

Институт клинической и экспериментальной неврологии МЗ ГССР, Тбилиси

Поступила в редакцию 17.6.1980

На взрослых кошках, в условиях острого эксперимента, изучалось действие тетанотоксина на процессы торможения в пейронах сенсомоторной коры. Тормозная реакция вызывалась электрической стимуляцией поверхности коры или пирамидного тракта. Изучалось также действие тетанотоксина на вызванную электрокортографическую активность, в частности на медленный отрицательный потенциал прямого коркового ответа. Полученные результаты показывают, что действие токсина направлено на блокирование механизмов коркового торможения, результатом чего является эпилептизация нейронов очага. Кроме того, тетанотоксин угнетающее действует на медленный отрицательный потенциал (МОП) прямого коркового ответа. Однонаправленное, угнетающее действие тетанотоксина на МОП и на нейронные тормозные постсинаптические потенциалы (ТПСП) подтверждает предположение, согласно которому МОП рассматривается как диполиничное отражение нейронного ТПСП.

### ВВЕДЕНИЕ

Механизмы судорожного действия тетанотоксина преимущественно изучены в отношении нейронов спинного мозга. Обнаружено, что на спинальном уровне тетанотоксин нарушает как постсинаптическое [9, 4, 11], так и пресинаптическое [1, 15, 18] торможение. Высказывается предположение, что конвульсантное действие токсина опосредовано его способностью специфически блокировать выделение тормозных медиаторов — глицина и гаммааминоаспартовой кислоты (ГАМК) — из пресинаптических окончаний тормозных нейронов [11, 15, 4, 9].

Судорожное действие тетанотоксина на кору больших полушарий впервые продемонстрировали Кареа и Ланари [14]. Затем Бруксом и Асанумой [12, 13] было показано угнетение коркового возвратного торможения в отравленном тетанотоксином участке коры. Однако при микроэлектродном изучении фармакологии коркового торможения Крневич и сотр. [19, 21] не смогли обнаружить заметного изменения тормозной паузы в постстимулярных реакциях нейронов на прямое корковое раздражение в тетанотоксиковом очаге коры. Это послужило основанием для заключения, что корковое торможение принципиально отличается от спинального по фармакологическим свойствам. Тем не менее, согласно нашим исследованиям [5], для большинства нейронов тетанотоксикнового очага коры характерно отсутствие тормозного, гиперполяризационного электрогенеза, что в свою очередь является важным показателем того, что тетанотоксин нарушает процессы торможения в коре больших полушарий.



В данной работе излагаются результаты исследования состояния тормозных процессов в нейронах тетанотоксичного очага коры путем тестирования последних в вызванных, постстимульных реакциях на прямое корковое раздражение и на раздражение пирамидного тракта. Эти исследования будут способствовать окончательному выяснению механизмов конвульсантного действия тетанотоксина в отношении коры больших полушарий.

Кроме того, в данной работе исследовались особенности действия токсина на вызванную биоэлектрическую активность коры, в частности на МОП прямого коркового ответа. Интерес к исследованию именно этого потенциала обусловлен тем, что возникновение и протекание последнего ассоциировано с развитием в телах нейронов гиперполяризации [6, 10, 16, 22].

## МЕТОДИКА

Опыты проводились на взрослых кошках в два этапа. В первой части эксперимента (препарат находился под легким нембуталовым наркозом — 40 мг/кг) освобождали череп от мягких тканей, над сенсомоторной областью высверливали трепанационное отверстие диаметром 3 мм, удаляли твердую мозговую оболочку и с помощью микропипетки вводили в толщу коры столбнячный токсин в объеме  $10^{-2}$ — $10^{-3}$  мл, содержащем  $10^2$ — $10^3$  мышьих DLM. После этого герметизировали череп быстрозатвердевающим цементом и оставляли животных на необходимое для возникновения судорог время. Спустя 10—16 ч после инъекции токсина, у животных возникали резко выраженные судороги клонического характера. Этих животных вновь усыпляли нембуталом или парами эфира, обездвиживали миорелаксином и переводили на искусственное дыхание. Голова животных жестко фиксировалась в стереотаксическом аппарате. Вскрывали ранее зацементированное трепанационное отверстие, на поверхность коры накладывали раздражающие трехполюсные электроды и заливали отверстие теплым раствором агара, приготовленным на физиологическом растворе [7]. Для антидромной стимуляции нейронов раздражающие электроды вживляли в пирамидный путь на стволовом уровне. Стимуляция производилась прямоугольными импульсами длительностью 0,5—1 мс. Использовался универсальный электрический стимулятор ЭСУ-1.

Для внутриклеточного отведения активности отдельных нейронов использовались стеклянные микропипетки, заполненные 3 М раствором KCl или 2 М раствором цитрата калия. Микроэлектроды с помощью Ag-AgCl проволочки подсоединялись к входу катодного повторителя осциллографа «Amplior II TR». Использовалось усиление по постоянному току.

Отведение электрокортикограммы осуществлялось фитильковыми Ag-AgCl электродами монополярно. Активный электрод помещался на агаровое покрытие вблизи микроэлектрода. Индифферентный электрод располагался на кости в области лобной пазухи. Отводимые потенциалы подавались на вход предусилителя осциллографа «Amplior II TR». Использовалось усиление по переменному току (постоянная времени—I с).

## РЕЗУЛЬТАТЫ

Спустя 10—16 ч после локальной инъекции токсина в сенсомоторную кору, у животных появлялись поведенческие признаки возникновения судорог клонического характера, которые сопровождались соответствующими изменениями в электрокортикографической (ЭКоГ) активности и в активности отдельных нервных клеток.

Исследование состояния вызванных ТПСП в нейронах тетанотоксичного очага коры показало, что по характеру постстимульных реакций все зарегистрированные нейроны можно разделить на две группы: в одну группу вошли нейроны с подавленным гиперполяризационным электрогенезом (8 нейронов), а во вторую были включены нейроны с выраженным гиперполяризационным электрогенезом (3 нейрона).

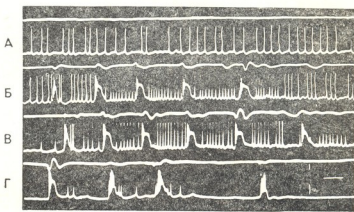


Рис. 1. Активность нейрона с подавленным гиперполяризационным электрогенезом в тетанотоксичном очаге коры: А—активность нейрона в межприступном периоде; Б—активность нейрона в соответствии с ЭКоГ судорожными волнами; В—постстимульная реакция нейрона на прямокорковую стимуляцию; Г—постстимульная реакция нейрона на антидромное раздражение. Калибровки: для ЭКоГ — 200 мкВ; для микроотведения — 10 мВ; времени — 100 мс

На рис. 1 представлен случай регистрации внутриклеточной активности нейрона, в котором отсутствует гиперполяризационный электрогенез. На осциллограмме 1А показана ЭКоГ активность и активность нейрона, соответствующая периоду зтишья. Осциллограмма 2Б представляет фрагмент, соответствующий спонтанно возникшему судорожному эпизоду. Как видно на этом снимке, каждой судорожной ЭКоГ волне соответствует ПДС в нейронной активности. С увеличением амплитуды ПДС наблюдается нарастание частоты спайк-разрядов и уменьшение их амплитуды. На определенном предельном уровне деполяризации генерация спайк-разрядов блокируется полностью. На осциллограммах 1В и 1Г представлены ответные реакции этого же нейрона на одиночные раздражения поверхности коры и пирамидного тракта. В отличие от постстимульных реакций нейронов интактной коры (они характеризуются первоначальной кратковременной фазой возбуждения, за которой следует длительная гиперполяризация мембранны нейронов, т. е. ТПСП [3, 6, 8, 10, 16, 20, 22, 23, 26]) в тетанотоксичном очаге эти ответные реакции выявляются в резко измененном виде: усиlena начальная фаза возбуждения, которая, наконец, приводит к деполяризационной инактивации генерации спайк-разрядов, а тормозная гиперполяризационная фаза отсутствует.

Как указывалось выше, среди зарегистрированных нами нейронов были нейроны с четко выраженным гиперполяризационным электрогенезом (рис. 2). Как видно на осциллограмме 2А, в соответствии со спонтанными ЭКоГ судорожными волнами в нейроне развиваются первоначально кратковременные ПДС, которые затем обрываются ярко вы-



раженными гиперполяризационными потенциалами. Ответные реакции этого нейрона на прямокорковое раздражение (рис. 2Б) и раздражение пирамидного тракта (рис. 2В) также включают в себя начальную фазу возбуждения, которая затем обрывается гиперполяризационным потенциалом, т. е. ТПСП.

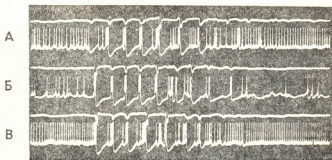


Рис. 2. Активность нейрона с усиленным гиперполяризационным электрогенезом: А—активность нейрона в соответствии со спонтанными ЭКоГ судорожными волнами; Б—постстимульная реакция нейрона на прямокорковый стимул; В—постстимульная реакция нейрона на антидромное раздражение. Калибровки: для ЭКоГ — 200  $\mu$ В; для микроотведений — 10 мВ; времени — 200 мс

В работе исследовалось также изменение суммарного ответа коры на ее электрическое раздражение после отравления исследуемого участка тетанотоксином. Как видно на осциллограмме (рис. 3А), биоэлектрическая реакция интактной коры на прямокорковый стимул

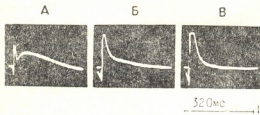


Рис. 3. Изменение ЭКоГ ответа на прямокорковое раздражение под воздействием тетанотоксина: А—в интактной коре; Б—спустя 3 ч после отравления коры токсином, В—спустя 5 ч после отравления. Калибровки: амплитуды—0,5 мВ; времени—320 мс

состоит в основном из отрицательного потенциала длительностью 15—20 мс, так называемого «дendритного потенциала», и следующего за ним «медленного отрицательного потенциала»—МОП. Спустя 3 ч после отравления коры токсином, наблюдается увеличение амплитуды дендритного потенциала и уменьшение МОП (рис. 3Б). А уже спустя 5 ч, происходит полное исчезновение МОП (рис. 3В).

## ОБСУЖДЕНИЕ

Как показали результаты наших исследований, в участке коры больших полушарий, отравленном тетанотоксином, регистрируются нейроны как с подавленным, так и с усиленным гиперполяризационным электрогенезом, т. е. ТПСП. Тем не менее в подавляющем большинстве нейронов в постстимульных реакциях на прямое корковое раздражение и на раздражение пирамидного тракта отсутствует фаза торможения,

Это, бесспорно, свидетельствует о том, что действие токсина направлено на блокирование механизмов коркового торможения, результатом чего и является эпилептизация отравленного участка.

Допуская этот механизм действия токсина, справедливо поставить вопрос: чем объяснить в таком случае существование в отравленном участке коры нейронов с сохранившимся или даже с усиленно выраженным гиперполяризационным электрогенезом, т. е. ТПСП. Тщательный анализ наших результатов позволил нам обнаружить, что нейроны с угнетенным гиперполяризационным электрогенезом были зарегистрированы в эпицентре отравления, т. е. именно в тетанотоксиновом очаге. Аналогично, редукцию торможения в радиусе 0,5 мм от эпицентра отравления наблюдали Кривич и сотр. [19, 21], но они регистрируемые здесь нейроны рассматривают как поврежденные прямым воздействием токсина и их реакцию считают недостоверной. Однако существуют работы [2, 14], в которых указывается, что тетанотоксин не вызывает деструктивных нарушений нервной ткани. Согласно нашим данным нейроны, зарегистрированные в эпицентре отравления, по характеру электрической активности не проявляют никаких признаков повреждения. Так что, видимо, именно эти нейроны, подвергшиеся прямому воздействию токсина, и являются показателями последствий действия токсина. Что же касается нейронов с ярко выраженным гиперполяризационным электрогенезом, то они регистрируются преимущественно на некотором удалении от эпицентра отравления и, вероятно, являются представителями нейронов, создающих вокруг эпилептического очага кольцо окружного торможения [17, 24, 25].

Как показали результаты наших исследований, тетанотоксин блокирует ЭКоГ медленный отрицательный потенциал. В интактной коре МОП ассоциирован с нейронными ТПСП. Предполагается, что МОП является поверхностью корковым, дипольным отражением развившегося в телах нейронов ТПСП [6, 22]. Однозначное, угнетающее действие тетанотоксина на МОП и на нейронные ТПСП, обнаруженное в наших исследованиях, подтверждает это предположение.

## ЛИТЕРАТУРА

1. Адо А. Д., Бурлаков Г. В., Свердлов Ю. С. ДАН СССР, 167, 478—485, 1966.
2. Боголепов Н. Н., Пушкин А. С., Черносвитаева В. А., Деревягин В. А., Крыжановский Г. Н., Конников Б. А., Рехтман М. Б. Арх. анат., гистол. и эмбриол., 73, 11, 30—38, 1977.
3. Воронин Л. Л. Бюлл. экспер. биол. и мед., 70, 11, 15—19, 1970.
4. Крыжановский Г. Н. Столбняк, «Медицина», М., 1966.
5. Крыжановский Г. Н., Окуджава В. М., Рехтман М. Б., Мажавия И. А. Нейрофизиология, 10, 6, 582—589, 1978.
6. Мажавия И. А. Мат. конф. молодых медиков Груз. ССР, посвящ. 50-летию образования ГССР, Тбилиси, 1973, 201—202.
7. Окуджава В. М. Основные нейрофизиологические механизмы эпилептической активности, «Ганатлеба», Тбилиси, 1969.
8. Ройтбак А. И. В сб.: Механизмы деятельности головного мозга, «Мецниереба», Тбилиси, 1975, 348—364.
9. Свердлов Ю. С. Нейрофизиология, 1, 1, 25—35, 1969.
10. Шуранова Ж. П., Гвоздикова З. М. В кн.: Исследование организации нейронной деятельности в коре больших полушарий головного мозга, «Наука», М., 1971, 158—180.
11. Brooks V. B., Curtis D. R., Eccles J. C. J. Physiol. (Lond.), 135, 3, 655—672, 1957.

12. Brooks V. B., Asanuma H. Science, 137, 647—676, 1962.
  13. Brooks V. B., Asanuma H. Am. J. Physiol., 208, 4, 674—681, 1968.
  14. Carrea R., Lanari A. Science, 137, 342—343, 1962.
  15. Curtis D. R., Felix D., Game C. J. A., McCulloch R. M. Brain Res., 51, 1, 358—362, 1973.
  16. Creutzfeldt O. D., Baumgartner G., Schoen L. Arch. Psychiat. Nervenkr., 194, 597—619, 1956.
  17. Dichter M., Spencer A. J. Neurophysiol., 32, 5, 649—662, 1969.
  18. Kryzhanovsky G. H., Sheikhon F. D. Exp. Neurol., 38, 110—112, 1973.
  19. Krnjević K., Randik M., Straughan D. W. Nature (Lond.), 201, 1294—1296, 1964.
  20. Krnjević K., Randik M., Straughan D. W. J. Physiol., 184, 49—77, 1966.
  21. Krnjević K., Randik M., Straughan D. W. J. Physiol., 184, 78—105, 1966.
  22. Li C. L., Chou S. N. J. cell. comp. Physiol., 60, 1—16, 1962.
  23. Phillips C. G. Quart. J. exp. Physiol., 41, 58—69, 1956.
  24. Prince D. A., Wilder B. I. Arch. Neurol., 16, 194—202, 1967.
  25. Prince D. A. Exp. Neurol., 21, 307—321, 1968.
  26. Stefanis C., Jasper H. J. Neurophysiol., 27, 828—954, 1964.

ଶ୍ରୀମାତୀଙ୍କିଳ ପରମପାଦାମଣି ତୁମରେ ଯେଉଁ କୋଣିଶାଖାରଗୁଡ଼ିଲୁ ହିନ୍ଦିଲୁ

0. 851301, 3. ନତ୍ରଜୀବିତା

ଶାସକର୍ତ୍ତବ୍ୟାଳୀଙ୍କ ସିର ଫାନ୍ଦିକର୍ତ୍ତବ୍ୟାଳୀଙ୍କରେ ଲାଗୁଇଲା ଶମିନିକୁର୍ରାଙ୍କ କ୍ଲାନିକ୍ୟୁର୍କର ଲାଗୁଇଲା ପ୍ରେସ୍ରେର୍ଜ୍ୟୁମ୍ପୁନ୍ତର୍ରାଙ୍କ ନ୍ଯୂଆରୋଲାଙ୍ଗୁଙ୍କରେ ଏକ୍ସଟ୍ରିମ୍ପୁନ୍ତର୍ରାଙ୍କ ହେଲାଇଲା

ՀԵՂԻԿԱ

ზრდასრულ კატეგორია, მწვავე ცდის პირობებში, შესწავლილ იქნა ტეტა-ნოტონქსინის გავლენა სენსორობრონული ქერქის ნეირონთა შეკავების პროცესებზე. ნეირონების შეკავებით რეაქციის გამოწვევა ხდებოდა ქერქის ზედა-პირის ან პირამიდული ტრაქტის ელექტრული გაღიზინებით. შესწავლილ იქნა აგრეთვე ტეტანონტონქსინის მოქმედება გამოწვევულ ელექტროკონტიკოგრაფიულ აქტივობაზე, კერძოდ, პირდაპირი ქერქული პასუხის ნელ უარყოფით პოტენციალზე. მიღებული შედეგები ცხადყოფს, რომ ტონქსინი თრგუნას ქერქში შემკავებელ მექანიზმებს და ამის შედეგად ხდება ტეტანონტონქსინური კერის ნეირონების ეპილეპტიზაცია. გარდა ამისა, ტეტანონტონქსინი დამთრევულია მოქმედებს პირდაპირი ქერქული პასუხის ნელ უარყოფით პოტენციალზე. ის ფაქტი, რომ ტეტანონტონქსინი ერთნაირად დამთრევულება მოქმედებს ქერქული ნეირონების შეკავების პოსტსინაფსურ პოტენციალებსა და ელექტროკონტიკოგრაფიულ ნელ უარყოფით პოტენციალზე, ადასტურებს მოსახრებას, რომლის მიხედვითაც ნელი უარყოფითი პოტენციალი უნდა განვითილოთ ნეირონული შეკავების დიპლური, ელექტროკონტიკოგრაფიულ გამოსახულებად.

## INHIBITION IN TETANOTOXIN FOCI OF THE CEREBRAL CORTEX

I. A. MZHAVIA, V. M. OKUJAVA

Institute of Clinical and Experimental Neurology, Georgian Ministry of Health,  
Tbilisi, USSR

### Summary

In acute experiments the influence of tetanotoxin on the inhibition of sensorimotor cortical neurons was studied in adult cats. Inhibitory reaction was evoked by means of electrical stimulation of the cortical surface or of the pyramidal tract. In addition, the influence of tetanotoxin on the evoked electrocorticographic activity was studied. The results indicate that tetanotoxin produces blockade of cortical inhibitory mechanisms, which results in the epileptization of cortical neurons. At the same time, tetanotoxin depresses slow negative potential (SNP) of the direct cortical response. Similar depressive action of tetanotoxin on SNP and neuronal IPSP confirms the assumption according to which SNP must be considered as dipolar reflection of IPSP.

16.579

УДК 612.82

ФИЗИОЛОГИЯ ЧЕЛОВЕКА И ЖИВОТНЫХ

## ВЛИЯНИЕ ХРОНИЧЕСКИ СОЗДАННОГО КОБАЛЬТОВОГО ЭПИЛЕПТОГЕННОГО ОЧАГА НА СТРУКТУРУ И ДЛЯТЕЛЬНОСТЬ ОТДЕЛЬНЫХ ФАЗ ЦИКЛОВ БОДРСТВОВАНИЕ-СОН

Н. С. Папуашвили, В. М. Окуджава, Л. П. Мествишили

Институт клинической и экспериментальной неврологии МЗ ГССР, Тбилиси

Поступила в редакцию 30.7.1980

В работе изучалось влияние хронически созданного кобальтового эпилептогенного очага на структуру и длительность отдельных фаз цикла бодрствование-сон. Согласно данным, полученным 6 и 24-часовыми регистрациями циклов сна и бодрствования, проводимыми до и после введения эпилептизирующего агента, было выявлено значительное уменьшение общей продолжительности десинхронизированного сна и увеличение продолжительности спокойного бодрствования. Кроме того, наблюдались такие нарушения цикла сна, как пробуждение животного, связанное с возникновением пароксизмальных разрядов, скачкообразные переходы из парадоксальной фазы сна в спокойное бодрствование и обратно.

Вопрос взаимоотношения сна и эпилепсии является одной из актуальных проблем современной нейрофизиологии и клинической неврологии. Еще ранними электроэнцефалографическими исследованиями Джиппсов было установлено взаимовлияние механизмов сна и механизмов, обусловливающих эпилептическую активность [16]. На важность роли физиологических механизмов парадоксальной фазы сна в развитии эпилептического приступа и постиктального состояния указывают работы Окуджава с соавторами [3, 4, 5, 6, 13, 29].

Значительным направлением в исследовании проблемы сна и эпилепсии является изучение особенностей влияния судорожной активности на структуру круглосуточных циклов бодрствование-сон. В литературе накопились данные, указывающие на изменение длительности отдельных фаз цикла бодрствование-сон под влиянием эпилептической активности [2, 8, 9, 30]. Однако эти данные еще не систематизированы и в основном касаются эффектов электроконвульсивного шока [8, 9, 23]. С другой стороны, кобальтовая модель хронического эпилептогенного очага практически не применялась для выяснения этого вопроса, хотя часто используется в нейрофизиологических исследованиях [12, 26, 28, 31]. Исходя из вышесказанного, мы задались целью исследовать воздействие кобальтового эпилептогенного очага на структуру и длительность отдельных фаз круглосуточного цикла бодрствование-сон.

### МЕТОДИКА

В работе рассматриваются результаты макрофизиологических исследований, проведенных на 30 домашних кошках в условиях хронического эксперимента.



При проведении опытов, наряду с визуальными наблюдениями за поведением животного, регистрировалась электрическая активность различных областей головного мозга, электроокулограмма и элекромиограмма шейных мышц. Эпилептогенный очаг создавался введением металлического кобальтового порошка в дорсальный гиппокамп или же в сенсомоторную область коры больших полушарий. Кобальт вводился только после проведения асептической процедуры (порошок помещали в термостат на 1,5—2 часа при температуре 150—180°C).

На выздоровевших после предварительной операции животных, до и после введения эпилептогенного агента, проводились повторные 6 и 24-часовые регистрация циклов сна и бодрствования. При дневных 6-часовых регистрациях, наряду с точным соблюдением условий и длительности проведения записей, большое внимание отводилось точному соблюдению времени начала экспериментов. Усредненные процентные величины длительности отдельных фаз циклов бодрствование-сон (от всего времени отведения) заносились в таблицы 1 (6-часовые регистрации) и 2 (24-часовые регистрации), по которым состояния сна и бодрствования условно делились на стадии: возбужденного или настороженного бодрствования (ВБ), спокойного бодрствования (СБ), дремотного состояния (ДР), медленноволнового (МС) и парадоксального (ПС) сна. Результаты экспериментов обрабатывались методом вариационной статистики. Определялись значения: среднего арифметического суммарной продолжительности отдельных стадий, средней ошибки, среднего квадратичного отклонения, а также производилась оценка достоверности разницы между средними арифметическими.

По окончании опытов производился морфологический контроль местонахождения кончиков глубинных электродов и кобальтового некротического очага.

## РЕЗУЛЬТАТЫ ЭКСПЕРИМЕНТОВ

Согласно данным дневных 6-часовых регистраций создание кобальтового эпилептогенного очага вызывало изменения суммарной продолжительности всех стадий циклов сна и бодрствования по сравнению с контрольным уровнем (см. в табл. 1 значения  $M \pm m$ ,  $M_1 \pm m_1$ ). Однако, как показала оценка достоверности разницы между средними арифметическими, значительными, т. е. достоверными, являлись только изменения длительности спокойного бодрствования и парадоксальной фазы сна. После введения порошка кобальта процент длительности парадоксальной фазы сна (исходя из всего времени отведения) уменьшился (табл. 1) по сравнению с контрольным уровнем (контроль —  $12,5 \pm 1,8\%$ , после введения Со —  $7,7 \pm 1,3\%$ ), тогда как процент длительности спокойного бодрствования увеличивался (контроль —  $13,4 \pm 1,2\%$ , после введения Со —  $20,0 \pm 1,8\%$ ).

Результаты дневных наблюдений (табл. 1) полностью подтвердились 24-часовыми проверочными регистрациями (табл. 2), также выявившими после формирования эпилептического очага значительное уменьшение суммарной продолжительности парадоксального сна (контроль —  $19,8 \pm 0,9\%$ , после введения Со —  $8,5 \pm 1,3\%$ ) и возрастание длительности спокойного бодрствования (контроль —  $14,1 \pm 1,9\%$ , после введения Со —  $26,3 \pm 1,2\%$ ).

Следует отметить, что активность хронического кобальтового очага меняла не только суммарное количество времени, проводимое животными в той или иной стадии цикла бодрствование-сон, но и нарушила нормальное протекание циклов, последовательность их развития. Возникновение судорожных разрядов во время дремотного состояния, мед-



Влияние активности кобальтового эпилептогенного очага на суммарную длительность отдельных фаз циклов сна и бодрствования (результаты 6-часовых регистраций)\*

№	Длительность (в %)				
	ВБ	СБ	ДР	МС	ПС
До введения Со порошка					
1	5,0	16,9	23,6	35,2	19,0
2	5,0	13,1	21,4	54,0	6,4
3	10,9	13,4	19,7	44,2	11,5
4	10,7	10,2	21,4	44,5	14,0
5	9,2	10,1	17,3	50,2	12,7
6	11,0	11,8	16,1	44,1	16,9
7	3,8	18,1	21,9	49,4	6,9
$M \pm m$	$7,9 \pm 1,2$	$13,4 \pm 1,2$	$20,2 \pm 1,0$	$45,9 \pm 2,3$	$12,5 \pm 1,8$
$\sigma$	$3,2 \pm 0,9$	$3,1 \pm 0,8$	$2,7 \pm 0,7$	$6,0 \pm 1,6$	$4,7 \pm 1,3$
После введения Со порошка					
1	12,1	18,3	35,5	28,8	5,2
2	8,1	22,1	38,8	27,6	3,3
3	9,7	18,2	13,3	51,2	8,5
4	2,4	21,1	13,8	54,8	7,8
5	15,0	31,0	7,5	30,8	14,1
6	11,8	16,9	24,8	35,8	10,6
7	15,6	15,1	9,2	51,0	8,8
8	4,7	17,0	40,9	34,3	3,0
$M_1 \pm m_1$	$9,9 \pm 1,7$	$20,0 \pm 1,8$	$23,0 \pm 4,9$	$39,3 \pm 4,0$	$7,7 \pm 1,3$
$\sigma_1$	$4,7 \pm 1,0$	$5,0 \pm 1,3$	$13,8 \pm 3,5$	$11,2 \pm 2,8$	$3,8 \pm 1,0$
P	$P > 0,05$	$P < 0,01$	$P > 0,05$	$P > 0,05$	$P < 0,05$

\* M—среднее арифметическое значение длительности отдельных фаз циклов сна и бодрствования;  $m$ —средняя ошибка;  $\sigma$ —среднее квадратическое отклонение; Р—коэффициент достоверности разницы между средними арифметическими значениями (разница является достоверной при значениях  $P < 0,05$ )

Таблица 2

Влияние активности кобальтового эпилептогенного очага на суммарную длительность отдельных фаз циклов сна и бодрствования (результаты 24-часовых регистраций)\*

№	Длительность (в %)				
	ВБ	СБ	ДР	МС	ПС
До введения Со порошка					
1	3,2	10,6	13,5	51,6	21,1
2	9,7	12,43	9,52	46,25	22,07
3	12,55	22,81	14,66	29,32	20,33
4	12,98	16,26	10,06	44,81	15,87
5	11,61	11,16	10,07	46,81	20,33
6	10,26	11,23	13,48	46,08	18,92
$M \pm m$	$10,05 \pm 1,46$	$14,1 \pm 1,93$	$11,88 \pm 0,91$	$44,15 \pm 3,11$	$19,84 \pm 0,6$
$\sigma$	3,58	4,74	2,24	7,63	2,2
После введения Со порошка					
1	2,70	24,68	18,55	45,56	8,49
2	17,16	29,05	20,70	28,89	4,17
3	12,69	22,16	12,81	42,04	10,28
4	8,61	29,37	24,67	31,47	5,85
5	13,64	24,84	17,49	31,25	12,76
6	9,32	27,88	19,35	34,16	9,28
$M_1 \pm m_1$	$10,68 \pm 2,04$	$26,33 \pm 1,17$	$18,93 \pm 1,59$	$35,56 \pm 2,74$	$8,47 \pm 1,26$
$\sigma_1$	4,99	2,87	3,9	6,69	3,09
P	$P > 0,05$	$P < 0,001$	$P < 0,01$	$P > 0,05$	$P < 0,001$

\* Обозначения статистических характеристик числовых совокупностей те же, что и в табл. 1

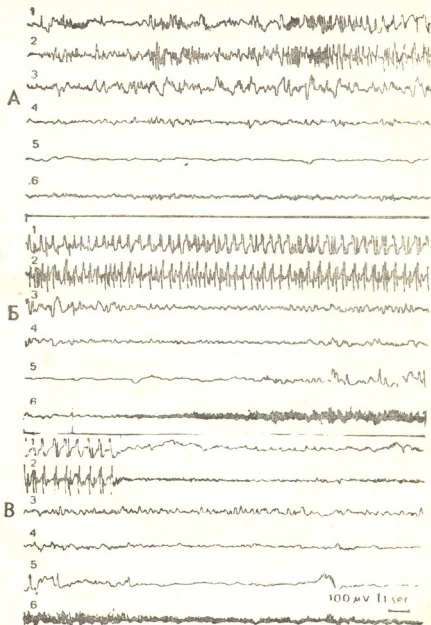


Рис. 1. Влияние генерализованных бисинхронных пароксизмальных разрядов на течение медленноволнового сна: А — стадия медленноволнового сна, начало генерирования билатерально-синхронных эпилептических разрядов в сенсомоторных областях коры больших полушарий; Б — непосредственное продолжение А, изображает дальнейшее развитие клинически выраженных судорог, вызывающих пробуждение животного; В — конец судорог и постсудорожное бодрствование (В — непосредственное продолжение Б). Отведения: 1 — левая сенсомоторная область коры больших полушарий (Со); 2 — правая сенсомоторная область коры больших полушарий; 3 — левый дорсальный гиппокамп; 4 — вентральная область левой среднемозговой ретикулярной формации; 5 — электроокулограмма; 6 — электромиографическая активность шеейной мышцы. Кобальтовый порошок апплицирован в левую сенсомоторную область коры больших полушарий. Калибривки: 100 МкВ, 1 с

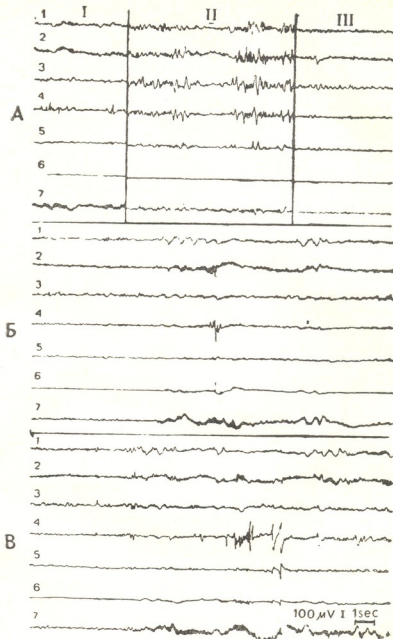


Рис. 3. Нарушения последовательности развития отдельных фаз цикла бодрствование-сон: А — фоновая активность мозга кошки во время бодрствования (А—I), медленноволнового (А—II) и парадоксального (А—III) сна; Б — скачкообразный переход из состояния десинхронизированного сна в спокойное бодрствование и обратно; В — непосредственное продолжение Б, показывает переход из парадоксального сна в спокойное бодрствование. Отведения: 1 — левая сенсомоторная область коры больших полушарий; 2 — правая сенсомоторная область коры больших полушарий; 3 — левый дорсальный гиппокамп; 4 — правый дорсальный гиппокамп (Co); 5 — среднемозговая ретикулярная формация; 6 — электроокулограмма; 7 — электромиограмма шейной мышцы. Калибровки: 100  $\mu$ V, 1 с



ленноволнового или парадоксального сна часто вызывало пробуждение, которое могло продолжаться и после прекращения генерирования судорожных разрядов. Пример пробуждения, провоцируемого кобальтовой эпилептической активностью, показан на рис. 1, в котором спонтанное возникновение билатерально-синхронных разрядов в сенсомоторных областях коры больших полушарий во время медленноволнового сна является причиной перехода животного из состояния сна в состояние бодрствования. Наряду с пробуждающим влиянием билатерально-синхронных генерализованных разрядов, также установлено и пробуждающее влияние фокальных разрядов различных областей головного мозга. Рис. 2 показывает, что кошка с кобальтовым очагом в правом дорсальном гиппокампе пробуждается из медленноволновой фазы сна при возникновении эпилептического разряда в контролateralном гиппокампе. Кроме того, при создании кобальтового эпилептогенного очага отмечались скачкообразные переходы из состояния бодрствования или дремоты прямо в парадоксальную фазу сна. Известно, что в нормальных условиях у контрольной группы животных такие переходы не наблюдаются. Сон у них начинается обычно телэнцефалической стадией и ее протекание является необходимым условием для появления ромбэнцефалической фазы сна [21, 22, 33]. На рис. 3 (Б—В) показано, что у кошки с хроническим эпилептогенным очагом в дорсальном гиппокампе наблюдались повторные переходы из ПС фазы сна в спокойное бодрствование и обратно, при этом возникновение каждого кратковременного периода бодрствования, как правило, коррелировало с появлением пароксизмальных разрядов в эпилептогенном очаге.

## ОБСУЖДЕНИЕ

Суммируя данные исследования, можно заключить, что образование кобальтового эпилептогенного очага в дорсальном гиппокампе или же в сенсомоторной области коры больших полушарий вызывает уменьшение общей продолжительности десинхронизированной фазы и увеличение продолжительности спокойного бодрствования. Нет сомнения, что механизмы изменения продолжительности парадоксальной фазы сна и спокойного бодрствования надо искать в сдвигах возбудимости восходящей десинхронизирующей системы, так как постоянным электрофизиологическим коррелятом этих состояний является низкоамплитудная быстрая активность, т. е. десинхронизированная активность неокортикальных структур [11, 22, 27].

Однако, как показали работы ряда исследователей, десинхронизация сна и десинхронизация бодрствования качественно отличаются друг от друга [1, 4, 5, 10, 18, 21, 22] и генерируются различными отделами восходящей ретикулярной формации [7, 21, 27, 32]. Например, высокочастотная стимуляция (300/с) одной из десинхронизирующих структур каудального ретикулярного ядра варолиева моста во время медленного сна вызывает переход в парадоксальную фазу [20, 21], тогда как стимуляция другой десинхронизирующей области (мезэнцефалической ретикулярной формации) этими же параметрами вызывает

переход из медленноволнового сна в бодрствование [27]. С другой стороны, экспериментальные повреждения или поражения указанных областей головного мозга при определенных заболеваниях являются причиной полного исчезновения парадоксальной фазы сна в первом случае [17, 21] и возникновения состояния длительной сонливости (т. е. исчезновения состояния бодрствования) во втором [14, 15, 25, 34]. Таким образом, согласно вышеизложенным литературным данным, интактность каудального ретикулярного ядра варолиева моста и мезэнцефалической ретикулярной формации является обязательным условием для возникновения десинхронизированного сна и состояния бодрствования. Следовательно, причиной описанного нами повышения суммарной продолжительности бодрствования можно предполагать возбуждающее влияние кобальтового эпилептогенного очага на ретикулярную формацию среднего мозга. Правомерность такого суждения подтверждается фактами, согласно которым возникновение генерализованных (рис. 1) или фокальных (рис. 2) эпилептических разрядов во время различных стадий физиологического сна часто вызывало реакцию поведенческого и электрографического пробуждения животного. Пробуждающее влияние эпилепсии, наступающей при физиологическом сне, отмечается и другими исследователями [19, 24]. Янц еще в 1953 г. отмечал, что пациенты с корковыми припадками, развивающимися во время сна, обычно пробуждаются. Такого же рода результаты были продемонстрированы Кайтором [24] на животных. По его данным пробуждения из сна вызывали фокальные проявления. По всей вероятности, этим же явлением (т. е. возбуждающим действием эпилептической активности на восходящую активирующую систему) надо объяснять факт скачкообразных переходов из ПС фазы сна в бодрствование и обратно, тем более что возникновение кратковременных периодов бодрствования четко коррелирует с появлением изолированных пароксизмальных разрядов в эпилептогенном очаге и дорсальной части ретикулярной формации среднего мозга (рис. 3 В).

Причиной уменьшения суммарного времени, проводимого животными в парадоксальном сне, по нашему мнению, можно считать активирующее воздействие эпилепсии на механизмы десинхронизированного сна, заложенные в мостовой ретикулярной формации. Такое представление вытекает из многочисленных работ В. М. Окуджава с соавторами [3, 4, 5, 6, 13, 29], доказавших взаимовлияние пароксизмальной активности и нейронных образований, ответственных за стадию десинхронизированного сна. На основе этих исследований определенная подкорковая структура с диффузными проекциями, активность которой в физиологических условиях является важнейшим компонентом в развитии парадоксальной фазы сна, активируется во время эпилептических разрядов, играет важную роль в ее прекращении и в значительной мере обусловливает общую картину конечной фазы эпилептического приступа — постэпилептического состояния. Такой структурой, по мнению Окуджава, Фернандеса-Гуардиолы, Гумма и ряда других исследователей, является каудальное ретикулярное ядро варолиева моста. Исходя из этой теории, спонтанное возникновение кобальтовых разрядов во время бодрствования должно вызывать активацию нейронных механизмов парадоксальной фазы сна при этом состоянии, а не во время фазы медленноволнового сна, как это происходит физиологически. Кроме того, наблюдаемые нами пробуждения животного, вызываемые возникновением кобальтовых эпилептических пароксизмов в различных стадиях сна, по всей видимости, дополнительно способствуют активации механизмов парадоксального сна в бодрствующем состоянии. Учитывая все вышеизложенное, мы считаем, что перестановку за-



пуска механизмов десинхронизации сна и пробуждающее влияние на кобальтовой эпилепсии можно использовать для объяснения уменьшения длительности парадоксального сна и увеличения продолжительности бодрствования, возникающего в связи с активностью кобальтового эпилептогенного очага.

## ЛИТЕРАТУРА

1. Коган А. Б., Николаева Н. О. В сб.: Конференция по вопросам электрофизиологии центральной нервной системы. М., 1958, 65.
2. Коридзе М. Г., Мгалоблишвили М. М., Кавакасидзе М. Г. В сб.: Нейрофизиология эмоций и цикла бодрствование-сон, «Мецнериба», Тбилиси, 1976, 63—80.
3. Окуджава В. М. В сб.: Симпозиум «Длительные электрические потенциалы нервной системы», Тбилиси, 1966, 23.
4. Окуджава В. М. В кн.: Основные нейрофизиологические механизмы эпилептической активности, «Ганатлеба», Тбилиси, 1969, 157—192.
5. Окуджава В. М., Мествиришвили Л. П., Багашвили Т. И. В сб.: Аннотированная программа научной конференции Всесоюзного общества неврологов и психиатров, Баку, 1974, 49.
6. Сааджишвили П. М., Окуджава В. М., Геладзе Т. Ш., Бибилашвили Ш. И. В сб.: Международный симпозиум по патогенезу эпилепсии, Изд-во Болгарской АН, София, 1971, 357—367.
7. Bremer F. In: Walstenholme G. E. W. and O'Connor M. (eds), *The Nature of Sleep*, Churchill, London, 1961, 30—50.
8. Cohen H. B., Dement W. C. *Science, Sleep*, 150, 1318, 1965.
9. Cohen H. B., Duncan R. F., Dement W. C. *Science, Sleep*, 156, 1646—1648, 1967.
10. De Andres J., Gutierrez-Rivas E., Reinoso-Suarez F. In: Levin P. and Koella W. P. (eds), *Sleep*, 1974, 2nd Europ. Congr. Sleep. Res., Rome, 1974, 235—238.
11. Dement W. *Electroenceph. Clin. Neurophysiol.*, 10, 291, 1958.
12. Dow R. S., Fernandez-Guardiola A., Manni E. *Electroenceph. Clin. Neurophysiol.*, 14, 399—407, 1962.
13. Fernandez-Guardiola A., Okujawa V. M., Guma E. *Epilepsia*, 9, 303—310, 1968.
14. French G. D., Magoun H. W. *Arch. Neurol. Psychiat.*, 68, 591—604, 1952.
15. Fulton G. F., Bailey P. J. *Nervous Mental Disease*, 69, 1—25, 145—164, 261—272, 1929.
16. Gibbs E. L., Gibbs F. A. A. *Res. Nerv. Ment. Dis. Proc.*, 26, 366—376, 1946.
17. Gutierrez-Rivas E., de Andres J., Gomez-Montaja J., Reinoso-Suarez F. *Experientia*, 34, 61—62, 1978.
18. Hernandez-Peon R. *Acta Neurol. Latinoamer.*, 10, 18—34, 1964.
19. Janz D. *Nervenarzt*, 24, 361, 1953.
20. Jouvet M., Michel F. C. R. Soc. Biol. (Paris), 154, 636, 1960.
21. Jouvet M. In: Walstenholme G. E. W. and O'Connor M. (eds), *The Nature of Sleep*, Churchill, London, 1961, 188—208.
22. Jouvet M. *Physiol. Rev.*, 47, 117—177, 1967.
23. Kaelbling R., Koski E. G., Hartwig C. D. *Physiology*, 4, 381, 1968.
24. Kajtor F. *Electroenceph. Clin. Neurophysiol.*, 13, 400, 1961.
25. Lindsley D. B., Bowden I. W., Magoun H. W. *Electroenceph. Clin. Neurophysiol.*, 1, 475—486, 1949.
26. Mancia M., Iucioni R. *Epilepsia*, 7, 308—317, 1966.
27. Moruzzi G., Magoun H. W. *Electroenceph. Clin. Neurophysiol.*, 1, 4, 455—473, 1949.



28. Mutani R. Epilepsia, 8, 2, 73—92, 1967.  
 29. Okujawa V. M. In: Proceedings of the International Union of Physiological Science (XXIV Int. Congress), Washington, 1968, 7, 328.  
 30. Roldan E. Activ. nerv. super., II, 3, 247—255, 1969.  
 31. Roldan E., Radil-Weiss T., Chocholova L. Exp. Neurol., 29, 1, 121—130, 1970.  
 32. Rossi G. F., Zanchetti A. Arch. Ital. Biol., 95, 199—435, 1957.  
 33. Sterman M. B., Knauss T., Lehmann D., Clemente C. D. Electroenceph. Clin. Neurophysiol., 19, 509—517, 1965.  
 34. Von Economo C. Die Encephalitis Lethargica, Deuticke, Vienna, 1918.

კოგალთით ჯარმოქმნილი ჩრონიკული ეპილეპტოგენური პირის  
ბავლინა ძილ-ღვიძების ციკლის სტრუქტურასა და ცალკეული  
ფაზების ხანგრძლივობაზე

ნ. აკაკიაშვილი, ვ. იკუჯავა, ლ. მისტივირიშვილი

საქართველოს სსრ ჯანმრთელობის დაცვის სამინისტროს კლინიკური  
და ექსპერიმენტულ ნერლოლოგიის ინსტიტუტი, თბილისი

რეზიუმე

ნაშრომში განხილულია კატეპზე ქრონიკული ცდის პირობებში კობალტით წარმოქმნილი ეპილეპტოგენური კერის ზემოქმედება ძილ-ღვიძილის ციკლის სტრუქტურასა და ცალკეული ფაზების ხანგრძლივობაზე. 6 და 24 საათიანი ელექტრონული ალოგრაფიული გამოკვლევით გამოიჩინა, რომ დორსალურ პილკამპში ან დიდი ტრინის ქერქის სენსომოტორულ უბანში ეპილეპტოგენური კერის გაჩენა იწვევს ძილის პარადოქსული ფაზის ხანგრძლივობის შემცირებასა და შვიდი ღვიძილის საერთო ხანგრძლივობის ზრდას. ამასთანავე ალინიშნება ძილის ციკლთა მიმდინარეობის დარღვევები: თუ ძილის დროს პაროქსიზმული აქტივობა აღმოიყენდა, ეს გამოიწვევს ცხოველის გამოვლენებას, ანდა თავს იჩენს ხანგოვლე ნახტომისებური გადასვლები პარადოქსულ ძილში.

## THE INFLUENCE OF COBALT EXPERIMENTAL EPILEPTOGENIC FOCUS UPON THE STRUCTURE AND DURATION OF VARIOUS STAGES OF THE SLEEP-WAKEFULNESS CYCLE

N. S. PAPUASHVILI, V. M. OKUJAVA, L. P. MESTVIRISHVILI

Institute of Clinical and Experimental Neurology, Georgian Ministry of Health,  
Tbilisi, USSR

### Summary

6 and 24-h recordings of sleep and wakefulness were carried out on cats with chronically implanted electrodes. According to the data obtained introduction of metallic cobalt powder in dorsal hippocampus or sensorimotor cortex provoked characteristic changes in the sleep-wakefulness rhythm. Percentage of desynchronized sleep markedly shortened during recording sessions, whereas that of quiet wakefulness increased.

In addition, such disturbances of sleep cycle as awakenings of animal from various sleep stages related to the rise of paroxysmal discharges, leap-form transitions from REM phase into waking and backwards into REM sleep were also observed.

УДК 612.823.2

ФИЗИОЛОГИЯ ЧЕЛОВЕКА И ЖИВОТНЫХ

## ВЛИЯНИЕ СТИМУЛЯЦИИ ВЕНТРАЛЬНОГО ГИППОКАМПА НА ЭЛЕКТРИЧЕСКУЮ АКТИВНОСТЬ ПОЯСНОЙ ИЗВИЛИНЫ У КОШКИ

А. А. Унгиадзе

Институт физиологии им. И. С. Беритавили АН ГССР, Тбилиси

Изучены ответы поясной извилины на стимуляцию вентрального гиппокампа у кошки. Предполагается участие в их генезе как короткого нейронного пути, так и длинных, полисинаптических проекций. Опыты с повреждением лимбических ядер таламуса дают право предполагать, что полисинаптические ответы переднего отдела поясной извилины возникают в результате активирования антеромедиального таламического ядра.

Функциональная роль и взаимоотношения структур, включенных в морфологическую систему круга Папеца [23], не являются четко установленными. Морфологические и электрофизиологические исследования говорят о наличии нервных связей между важнейшими звенями этой системы: гиппокампом и поясной извилиной [1, 2, 12, 21, 25, 26]. Предполагалось существование прямых волокон, идущих от поясной извилины и частично заканчивающихся в гиппокампе [11]. Эти данные нашли подтверждение в ряде работ, показывающих наличие связей от передней и задней лимбической коры, прослеженных до пресубикулума, субикулума и самого гиппокампа [10, 17]. Но последующие работы вызвали сомнения в наличии прямых проекций к самому гиппокампу [7, 15, 24, 28]. Было показано, что цингуллярные ответы на раздражение гиппокампа генерируются в результате распространения возбуждения через передние таламические ядра, имеющие прямые дифференцированные проекции к различным полям поясной извилины [22, 26, 29]. Возникновение веретенообразной активности в поясной извилине при электрической стимуляции гиппокампа также объясняется участием в генезе ее передних таламических ядер [3, 9]. Кроме того, показано, что активация нейронов поясной извилины при раздражении дорсального гиппокампа может осуществляться как через короткие нейронные пути, соединяющие дорсальный гиппокамп с передним отделом поясной извилины (поле 24), так и через полисинаптические связи дорсального гиппокампа с задним отделом поясной извилины [8].

В настоящем сообщении представлены результаты электрофизиологического изучения взаимоотношений вентрального гиппокампа с поясной извилиной.

### МЕТОДИКА

Опыты ставились на кошках с вживленными в мозговые структуры электродами: констановые электроды, с диаметром низолированного кончика в 100—200 мкм, стереотаксически вживлялись в различные отделы поясной извилины, вентральный гиппокамп и передние таламические ядра по координатам атласа Джаспера и Аймон-Марсана

[18]. Отведение — монополярное. Раздражение — биполярное, угольными импульсами (длительность 0,2 мс) от генератора с высокочастотным выходом. Повреждение структур производилось пропусканием постоянного тока силой 5—10 мА в течение 30 с. Регистрация вызванных потенциалов (ВП) производилась двухлучевым катодным осциллографом «Диза электроник». Достоверность полученных изменений определялась непараметрическим Т-критерием Стьюдента [5]. Локализация электродов и повреждений верифицировалась на фронтальных срезах мозга животных.

## РЕЗУЛЬТАТЫ ОПЫТОВ

Одиночное электрическое раздражение вентрального гиппокампа (A—6,5; L—13; H—2) вызывает относительно стабильные ответы по всей поясной извилине. Эти ответы в различных отделах извилины различны как по конфигурации, так и по порогам стимуляции.

Таблица

№ кошки	Раздражение вентрального гиппокампа			
	Латентность ВП в мс			
	Передняя поясная извилина	Задняя поясная извилина	АМЯ	АВЯ
1	8,0	2,0	1,5	3,0
2	7,5	2,0	2,0	2,5
3	9,0	2,5	2,0	2,5
4	10,0	2,5	2,0	3,0
5	7,0	2,0	1,5	2,5

Влияние раздражения вентрального гиппокампа было исследовано в отношении переднего, среднего и заднего отделов поясной извилины, отличных друг от друга как морфологически, так и по поведенческим,

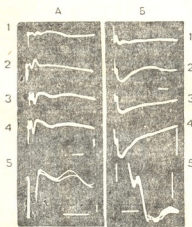


Рис. 1. Вызванные ответы заднего (А) и переднего (Б) отделов поясной извилины на раздражение вентрального гиппокампа. А: 1—стимуляция 0,5B; 2—2B; 3—5B; 4—8B. Б: 1—2B; 2—4B; 3—7B; 4—12B. Калибровки: амплитуды на всех рисунках — 200 мкВ; времени на рис. 1, 2, 3, 5—20 мс, на рис. 1A, 5 и 1B, 5—5 мс

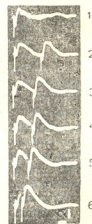


Рис. 2. Ответы заднего отдела поясной извилины, вызванные парными раздражениями. Межимпульсные интервалы парных стимулов: 1—80 мс; 2—55 мс; 3—40 мс; 4—30 мс; 5—15 мс

вегетативным и электрофизиологическим характеристикам [1, 4, 6, 20]. ВП среднего и заднего отделов поясной извилины по конфигурации мало чем отличались друг от друга. Однако ВП заднего отдела имеют более высокую амплитуду, порог же их вызова наименее низок (0,5 В).

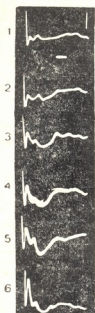


Рис. 3. Вызванные ответы антеромедиального ядра таламуса на стимуляцию вентрального гиппокампа: 1—стимуляция 0,5 В; 2—1 В; 3—3 В; 4—5 В; 5—7 В; 6—10 В

было думать, что длиннолатентные ответы возникают в результате прихода импульсов сюда из передних таламических ядер, которые получают прямые волокна из поля CA<sub>1</sub> гиппокампа, а также из прозрачной перегородки [19, 27]. Для выявления роли этих ядер в передаче импульсов от вентрального гиппокампа в поясную извилину были поставлены опыты с регистрацией ответов лимбических ядер на стимуляцию вентрального гиппокампа. Эти опыты показали, что стимуляция вентрального гиппокампа вызывает в антеромедиальном ядре таламуса (АМЯ) ответы, конфигурация которых меняется в зависимости от интенсивности раздражения гиппокампа. При пороговом раздражении (рис. 3, 1) возникает небольшая отрицательная волна, за которой следует незначительное положительное отклонение. С усилением стимула эта положительность углубляется и рас-

Порог возникновения ВП в передней поясной извилине варьирует от 2 до 4 В. В зависимости от силы применяемого раздражения вентрального гиппокампа наблюдается изменение конфигурации ответов: углубляются отдельные их фазы. ВП задней цингулярной коры (рис. 1 А) имеют более сложную конфигурацию, чем ВП переднего отдела (рис. 1 Б): в заднем отделе вслед за начальным положительно-отрицательным отклонением регистрируется добавочный положительно-отрицательный компонент. Латентность их возникновения короче, чем латентность ВП переднего отдела: в передней поясной извилине она варьирует в пределах 7—10 мс (рис. 1 Б, 5), тогда как в задней не превышает 2—2,5 мс (рис. 1 А, 5; таблица).

При низкочастотном ритмическом раздражении (5—10 в с), а также при парных раздражениях вентрального гиппокампа с различными межимпульсными интервалами в задней поясной извилине регистрируются стабильные ВП. Изменение межимпульсного интервала не оказывает влияния на амплитуды и конфигурации ВП (рис. 2).

Наибольшая амплитуда ВП, наименьшие порог и латентность его вызова, стабильность его в заднем отделе поясной извилины, говорят о том, что эти ответы, по всей видимости, возникают в результате активации короткого, возможно, моносинаптического нейронного пути. Однако наличие этого пути не исключает возможности существования и полисинаптических связей между вентральным гиппокампом и поясной извилиной. Можно

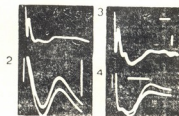


Рис. 4. Ответы антеровентрального (1, 2) и антеромедиального (3, 4) таламических ядер на раздражение вентрального гиппокампа. Калибровка времени: 1, 3—20 мс; 2, 4—5 мс



тет начальный отрицательный компонент (рис. 3, 3—6). Порог <sup>вызова</sup> ответа довольно низок — 0,5 В. Несколько отличаются по своим <sup>характеристикам</sup> ВП антеровентрального ядра (АВЯ) (рис. 4, 1—2): они возникают при относительно высоких напряжениях раздражающего го ка (свыше 1,5 В) и с большей латентностью (2,5—3 мс), нежели в АМЯ, где скрытый период варьирует в пределах 1,5—2 мс (рис. 4, 3—4).

Сравнение латентностей ВП в ответ на стимуляцию вентрального гиппокампа (рис. 4; таблица) еще раз подтвердило предположение о том, что ВП переднего отдела поясной извилины возникают при участии ядер передней группы таламуса в результате активации полисинаптического пути. Это предположение было подкреплено серией опытов, в которых электролитически повреждались эти ядра. Оказалось, что повреждение АМЯ препятствовало возникновению ВП в передней поясной извилине в ответ на раздражение вентрального гиппокампа. В опытах же, когда повреждалось другое переднее ядро — АВЯ, при том же стимуле в передней поясной извилине ВП продолжали возникать без изменения (рис. 5).

## ОБСУЖДЕНИЕ РЕЗУЛЬТАТОВ

Основная часть лимбической коры — поясная извилина — по сложности клеточного состава и шестислойной организации относится к неокортексу. Цитоархитектонически поясную извилину делят на агра-  
нулярный (передний) и гранулярный (задний) отделы [3, 12, 14, 2].

Наличие короткого скрытого периода (2—2,5 мс) ВП заднего отдела поясной извилины, наименьшего порога раздражения для его <sup>вызыва</sup> и стабильности ответа при одиночной, ритмической и парной сти-  
муляциях говорят о наличии короткого, по всей видимости, моносинаптического пути между этими структурами. Наряду с наличием короткого пути между вентральным гиппокампом и поясной извилиной имеется и длинный, по-видимому, полисинаптический путь. Этот путь свя-  
зывает вентральный гиппокамп с передним отделом поясной извилины. О наличии такого, полисинаптического пути говорят опыты, в ко-  
торых регистрировались ВП, возникающие с латентностью 7—10 мс.

Ставится вопрос: через какие структуры проходят импульсы воз-  
буждения из вентрального гиппокампа к переднему отделу поясной из-  
вилины (полю 24), какие структуры вовлекаются в полисинаптичес-  
кий ответ поясной извилины на стимуляцию вентрального гиппокампа?

Известно, что одним из наиболее важных путей, обеспечивающих функциональную целостность ринэнцефалической формации, является поясная связка, проходящая под лимбической корой и являющаяся составной частью ее белого вещества. По данным ряда авторов [22, 29] поясная извилина имеет прямые связи с передними таламическими ядрами. Аксоны этих ядер, после выхода через переднюю ножку таламуса, в виде пучков передней радиации внутренней капсулы проходят полосатое тело, пронзают мозолистое тело и входят в цингулярную кору. Наиболее длинные волокна огибают мозолистое тело спереди. Эти таламо-кортикальные пути и составляют основную массу волокон, идущих в составе поясной связки, основного афферентного пути лимби-  
ческой коры [16].

Кахалем [12] описаны волокна пирамидных нейронов гиппокампа, идущие через фимбрис и свод к прозрачной перегородке, передне-  
му таламусу, гипotalамусу и более каудальным пунктам ствола мозга. Передние ядра таламуса, по данным Джонсона [19] и Симмонса [27], получают прямые волокна от поля CA<sub>1</sub> гиппокампа, а также от прозрачной перегородки. О том, что в генерации цингулярных ответов

принимают участие передние таламические ядра, говорят исследователи Уайта с сотрудниками [29].

В предыдущей работе нами было высказано предположение о том,

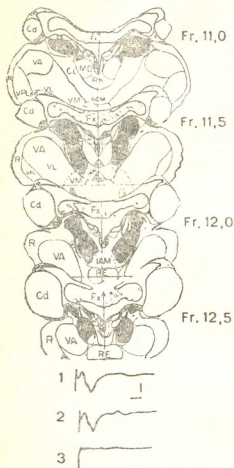


Рис. 5. Схема локализации электролитического повреждения передних таламических ядер у кошки № 2 и ВП переднего отдела поясной извилины до (1), после повреждения антеровентрального ядра таламуса (2) и после повреждения антеромедиального ядра таламуса

связь, существующая между вентральным гиппокампом и задним отделом поясной извилины, ответственна за возникновение коротколатентных ответов, в то время как длиннолатентные ВП поясной извилины обязаны своим возникновением полисинаптическому пути, включающему АМЯ.

## ЛИТЕРАТУРА

- Замбржицкий И. А. Арх. анат., 1, 20—30, 1966.
- Замбржицкий И. А. Лимбическая область большого мозга, «Медицина», М., 1972.

что лимбические таламические ядра принимают участие в генезе цингулярных ответов на раздражение гиппокампа [9]. По данным настоящего исследования можно заключить, что полисинаптический путь вызова ВП передней поясной извилины при стимуляции вентрального гиппокампа пролегает через переднее антеромедиальное ядро. В пользу такого заключения говорят следующие факты. При раздражении вентрального гиппокампа в АМЯ возникает моносинаптический ответ со скрытым периодом 1,5—2 мс. В опытах с повреждением таламических ядер было показано, что после повреждения АМЯ ВП в переднем отделе поясной извилины в ответ на стимуляцию вентрального гиппокампа перестают возникать. Повреждение же АВЯ не блокирует возникновение ВП в переднем отделе поясной извилины.

Это, как и данные нашей предыдущей работы, гармонирует с морфологическими исследованиями, согласно которым основные афферентные пути из таламуса, идущие к цингулярной коре, дифференцированно проецируются к различным полям поясной извилины. По данным ряда авторов [13, 14, 26, 30], АМЯ проецируется на переднюю поясную извилину (поле 24), а АВЯ — на заднюю.

На основании приведенных данных можно заключить, что у вентрального гиппокампа с цингулярной корой имеются как прямые, моносинаптические, так и полисинаптические связи. Короткая, прямая



3. Зислина Н. Н., Новикова Л. А., Ткаченко Н. М. Физиология мозга. Тбилиси, Грузинская ССР, 49, 1, 5—15, 1963.
4. Коридзе М. Г. Сообщения АН ГССР, 51, 3, 769—772, 1968.
5. Лакин Г. Ф. Биометрия, «Высшая школа», М., 1973.
6. Нуцубидзе М. А. Тр. Ин-та физиол. АН ГССР, «Медицина», Тбилиси, 13, 1953, 103—111.
7. Сотниковенко Т. С. Ж. эволюц. биохим. и физиол., 6, 5, 571—576, 1970.
8. Унгладзе А. А. Сообщения АН ГССР, 96, 2, 1—4, 1979.
9. Унгладзе А. А., Давитулиани Д. Ш. Изв. АН ГССР, сер. биол., 5, 3, 211—217, 1979.
10. Adey W. R., Meyer M. Brain, 75, 358—384, 1952.
11. Cajal R. Y. S. 1911. Цит. Lorente de Nô (№ 21).
12. Cajal R. Y. S. Studies of the Cerebral Cortex, Lloyd-Luke LTD, London, 1955.
13. Clark Le Gros W. E., Boggon R. H. J. Anat. 67, 215—226, 1933.
14. Cowan W. M., Powell T. P. S. Proc. Roy. Soc., 143, 115—131, 1954.
15. Domesick V. B. Brain Res., 12, 296—320, 1969.
16. Domesick V. B. Brain Res., 20, 19—32, 1970.
17. Gardner W. D., Fox C. A. Anat. Rec., 100, 663—674, 1948.
18. Jasper H. H., Ajmone-Marsan C. A stereotaxic atlas of the diencephalon of the cat. The National Res. Council of Ottawa, Canada, 1954.
19. Johnson T. N. J. Comp. Neurol., 125, 1, 129—136, 1965.
20. Kremer W. F. J. Neurophysiol., 10, 371—387, 1947.
21. Lorente de Nô R. J. Psychol. Neurol., 46, 2, 113—177, 1934.
22. Nauta W. J. H. J. Comp. Neurol., 104, 247, 1956.
23. Papez J. W. Arch. Neurol. Psychiat., 38, 3, 725—744, 1937.
24. Raisman G., Cowan W. M., Powell T. P. S. Brain, 88, 4, 963—996, 1965.
25. Raisman G., Cowan W. M., Powell T. P. S. Brain, 89, 1, 83—108, 1966.
26. Rose J. E., Woolsey C. N. J. Comp. Neurol., 89, 279—347, 1948.
27. Simmons H. J. Anat. Rec., 169, 429—434, 1971.
28. White L. E. J. Comp. Neurol., 113, 1, 1—9, 1959.
29. White L. E., Nelson W. M., Foltz L. E. Exp. Neurology, 2, 4, 406—421, 1960.
30. Yakovlev P. J., Locke S., Koskoff D. Y., Patton R. A. Arch. Neurol. (Chic.), 3, 6, 620—641, 1960.

306-ტრანსლიდი ჰიპოკამპის გაღიზიანების გავლენა კატის სურტყელის  
ხვეულის ელექტროშე არტივობაზე

### ა. უნივერსიტეტი

საქართველოს სსრ მეცნიერებათა აკადემიის ი. შერტიაშვილის სახელობის  
ფიზიოლოგიის ინსტიტუტი, თბილისი

### რეზიუმე

შესწავლით იქნა კატის სარტყელის ხვეულისა და ვენტრალური პიპოკამბის ურთიერთობა. ვენტრალური პიპოკამბის ელექტრული გაღიზიანებით სარტყელის ხვეულში აღმოცენდება გამოწვეული პასუხები. გამოწვეულ პასუხთა ფარული პერიოდების მიხედვით შეიძლება დავასკვნათ, რომ სარტყელის უკინა ხვეულში პასუხები მოკლე ნეირონული გზით უნდა აღმოცენდებოდეს, ხოლო წინა ხვეულში — პოლისინაფსური გზით, ანტერომედიალური თალამური ბირთვის საშუალებით.



# EFFECT OF THE VENTRAL HIPPOCAMPUS STIMULATION ON THE ELECTRICAL ACTIVITY OF CINGULATE GYRUS IN THE CAT

A. A. UNGIADZE

I. S. Beritashvili Institute of Physiology, Georgian Academy of Sciences, Tbilisi, USSR

## Summary

Electrical responses of the cingulate gyrus to the ventral hippocampus stimulation were studied. It is assumed that in the genesis of these responses short and polysynaptic neuronal pathways should be involved. Lesions in the anterior thalamic nuclei provided data for suggestion that in genesis of the multisynaptic responses of the anterior part of the cingulate gyrus anteromedial nucleus should be involved.

УДК 591.481:11: 611.813.1

ГИСТОЛОГИЯ

## УЛЬТРАСТРУКТУРНАЯ ОРГАНИЗАЦИЯ НЕЙРОНОВ ВЕНТРОМЕДИАЛЬНОГО ЯДРА ГИПОТАЛАМУСА КОШКИ

Е. Г. Мхеидзе

Институт физиологии им. И. С. Бериташвили АН ГССР, Тбилиси

Поступила в редакцию 6.12.1979

Изучена ультраструктурная организация нейронов вентромедиального ядра гипоталамуса кошки. Установлено, что нейроны этого ядра характеризуются рядом морфологических особенностей, указывающих на их нейросекреторную природу: секреторные включения различной величины как в перикариионе, так и в аксонных терминалях, хорошо развитый комплекс Гольджи и эндоплазматический ретикулум, большое количество свободных рибосом и полисом.

Прямого контакта перикариона с капиллярами не наблюдалось. На основе проведенного исследования стало очевидным, что нейроны вентромедиального ядра являются нейросекреторными клетками, которые воспроизводят и транспортируют гипофизотропные факторы по аксонам, тем самым осуществляя нейрогормональную регуляцию эндокринных желез.

Вентромедиальное ядро гипоталамуса (*n. ventromedialis hypothalami*) является важным звеном в нейросекреторной регуляции аденогипофиза [10, 12, 27, 26, 29]. Ряд исследователей включает данное ядро в туберо-инфубилярный нейросекреторный тракт [2, 10, 19, 22], однако до сегодняшнего дня существование морфологически специализированных нейросекреторных клеток внутри ядра не показано.

Настоящее исследование ультраструктурной организации вентромедиального ядра было предпринято с целью выявления нейронов с характерными чертами нейросекреторных клеток.

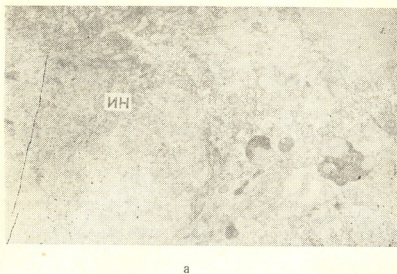
### МАТЕРИАЛ И МЕТОДЫ ИССЛЕДОВАНИЯ

Исследована ультраструктурная организация нейронов и синапсов вентромедиального ядра гипоталамуса половозрелой кошки. После перфузии головного мозга 2,5%-ным раствором глютаральдегида на фосфатном буфере маленькие кусочки изучаемой области дополнительно фиксировались 2%-ным раствором четырехокиси оsmия. После дегидратации материал заключали в араллит. Срезы толщиной 30—60 нм контрастировали цитратом свинца и изучали в электронном микроскопе JM-100C.

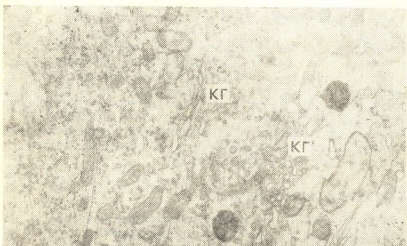
### РЕЗУЛЬТАТЫ И ОБСУЖДЕНИЕ

Электронномикроскопическое исследование показало, что в вентромедиальном ядре наряду с нейронами, по своей тонкой структуре не отличающимися от нейронов других областей ЦНС, в большом количестве наблюдаются клетки с характерной ультраструктурной организацией.

Они имеют большое овальное или круглое ядро и широкую зону <sup>лито</sup><sub>цитоплазмы</sub> ядерной мембрана часто проявляет характерную складчатость и образует глубокие инвагинации (рис. 1а). Цитоплазма перикариона



а



б

Рис. 1. а—Ядерная инвагинация (ИН) в нейросекреторной клетке вентромедиального ядра гипоталамуса кошки ( $\times 30000$ ); б—комплекс Гольджи (КГ) в периферическом участке цитоплазмы нейросекреторной клетки вентромедиального ядра гипоталамуса кошки ( $\times 45000$ )

обильна, богата внутриклеточными органеллами. Хорошо развитый комплекс Гольджи представлен взаимно параллельными цистернами и овально-круглыми пузырьками различной величины (рис. 1б, 2а). Часть

этих круглых пузырьков содержит электроннодenseный материал. Удлиненные цистерны иногда расширены и образуют мешочки причудливой



а



б

Рис. 2. а—Эндоплазматический ретикулум (ЭР) нейросекреторной клетки вентромедиального ядра гипоталамуса кошки ( $\times 45000$ ); б—эндоплазматический ретикулум (ЭР) с параллельно расположенными цистернами в периферическом участке цитоплазмы нейросекреторной клетки вентромедиального ядра гипоталамуса кошки ( $\times 45000$ )

формы (рис. 2а). Цепочка профилей комплекса Гольджи обычно находится в перинуклеарной области клеток, однако наблюдаются клетки, в

которых данный комплекс располагается в периферических участках цитоплазмы. Гранулярная эндоплазматическая сеть хорошо развита, и в преобладающем большинстве клеток она представлена длинными, беспорядочно ориентированными, местами расширенными цистернами (рис. 2а). В некоторых клетках цистерны эндоплазматической сети, группируясь взаимно параллельно, образуют довольно широкую зону на периферии клетки (рис. 2б). Рибосомы представлены в виде розеток и полисом. Митохондрии различной формы и величины, с нерегулярно расположенным кристами.

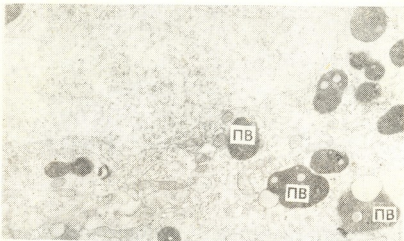


Рис. 3. Электронноплотные включения (ПВ) в нейросекреторной клетке вентромедиального ядра кошки ( $\times 20000$ )

Характерной и отличительной чертой этих клеток является наличие овально-круглых и полиморфных электронноплотных тел различных размеров (рис. 3). Включения малого размера окружены мембраной, электронноплотный материал имеет иногда зернистый вид. Большое количество мелких электронноплотных включений окружено светлой каемкой-гalo различной ширины. В части нейронов вентромедиального ядра наряду с мелкими имеются включения сравнительно большого размера, они полиморфны и содержимое их имеет более низкую электронную плотность. Следует отметить, что на периферии этих включений всегда отмечается скопление гомогенного или зернистого электронноплотного вещества. Иногда вышеизложенные включения содержат несколько мелких вакуолей.

Мелкие включения с электронноплотной сердцевиной располагаются преимущественно в области комплекса Гольджи, тогда как более крупные включения, имеющие низкую электронную плотность, располагаются по всей цитоплазме без какой-либо видимой закономерности. Инициальные части отростков нейронов наряду с обычными органеллами содержат гранулы с электронноплотной сердцевиной (рис. 5а).

Перикарион клеток почти по всей окружности обрамлен нескольки-  
ми слоями тончайших астроцитарных отростков (рис. 4а, 4б). Толщина каждого из них че превосходит 30—40 нм. Отхождение этих тонких пластиинчатых образований от более грубых астроцитарных отростков хорошо прослеживается.

Нейроны часто лежат в непосредственной близости от капилляра. Однако прямого контакта нейрона с капилляром мы не наблюдали.

В нейропиле аксонные терминали создают синаптический контакт с somой нейронов вентромедиального ядра. Встречаются множественные контакты, созданные одной терминалю (рис. 5б).

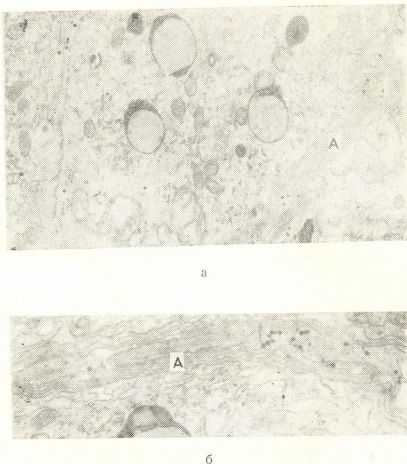


Рис. 4. а—Глиальная прослойка (A), окружающая нейросекреторную клетку вентромедиального ядра гипоталамуса кошки ( $\times 45000$ ); б—астроцитарные отростки (A).  $\times 60000$

Аксодендритные синапсы образуются как на крупных, так и на мелких концевых веточках дендрита.

Акsonные терминали, содержащие синаптические пузырьки, в зависимости от размера терминалей можно подразделить на большие полиморфные и малые бутоны; по форме же синаптических пузырьков — на бутоны с уплощенными и круглыми синаптическими везикулами. Некоторые бутоны с круглыми синаптическими везикулами содержат гранулы с электронноплотной сердцевиной и светлой каймой, диаметр которых в два-три раза больше диаметра синаптических пузырьков (рис. 6), тогда как бутоны с уплощенными синаптическими везикулами таких гранул не содержат. Следует отметить, что наряду с вышеназванными бутонами имеются аксонные утолщения, содержащие только круп-



ные гранулы с плотной сердцевиной. Как правило, терминали, содержащие большое количество гранул с электроннодense сердцевиной, не образуют активных синаптических контактов.



а



б

Рис. 5. а—Инициальная часть отростка нейросекреторной клетки вентромедиального ядра гипоталамуса кошки ( $\times 45000$ ); б—аксо-соматический синапс (С) с множественными активными зонами ( $\times 60000$ )

На основе результатов нашего исследования и их сопоставления с литературными данными мы считаем, что ультраструктурная ор-



ганизация вышеописанных нейронов вентромедиального ядра гипоталамуса характеризуется рядом особенностей, которые указывают на нейросекреторную природу, а именно: секреторные включения различной величины и структуры, хорошо развитый комплекс Гольджи и эндоплазматическая сеть, большое количество свободных рибосом и полисом.

Клетки с подобной ультраструктурной организацией описывались в литературе [3, 5, 13, 18, 30] как рилизинг-фактор секрецирующие клетки в крупноклеточных ядрах гипоталамуса, что и дало нам основание причислить вышеназванные клетки именно к нейросекреторным клеткам мелкоклеточных ядер гипоталамуса.



Рис. 6. Нейросекреторные гранулы (НГ) аксонной терминали ( $\times 15000$ )

Включения различного типа и наличие гранул малого размера у комплекса Гольджи в перинуклеарной зоне указывает, по-видимому, на связь процесса нейросекреции с вышеназванным комплексом, тем более, что на роль комплекса Гольджи в производстве и транспорте таких полипептидов, как ИН—RH указывал ряд авторов [14, 15, 20, 21].

Принимая во внимание наличие глиальных отростков, окружающих перикарион нейрона вентромедиального ядра, и отсутствие прямого контакта нейрона с капилляром, можно предположить, что транспорт нейросекрета в нейросекреторных клетках вентромедиального ядра происходит по аксонам. В нейропиле видны аксонные терминали, содержащие в большом количестве гранулы с электронноплотной сердцевиной и светлой каймой, размер которых в два-три раза превышает размер синаптических везикул. Аналогичные включения в аксонных терминалях крупноклеточных ядер описывал ряд авторов [8, 24, 25].

Как было отмечено, терминали, содержащие нейросекреторные гранулы, в преобладающем числе не образуют синаптических активных контактов и, по всей вероятности, являются обычными утолщениями аксона, которые следуют в составе туберо-инфудибулярного тракта в срединном возвышении. По-видимому, эти аксонные утолщения соответствуют описанным ранее [7, 16] так называемым «булавовидным», варикозным расширениям и аргирофильной зернистости аксонов, что и принималось авторами за признак нейросекреции на свето-оптическом уровне.

Отмеченная нами высокая вариабельность форм нейросекреторных гранул подтверждает данные Барнса соавт. [9]. Она явля-



ется, по-видимому, выражением разного уровня созревания нейросекреторных клеток на третьем этапе своего развития, т. е. на уровне активной функции, наряду с гранулами с плотной сердцевиной содержат ячеистые и лигзосомоподобные гранулы, которые по данным некоторых авторов [4, 17] являются продуктами дегенеративных изменений. Эти «шлаковые» структуры являются результатом активной функции нейросекреторных клеток и его терминалей.

Следует отметить, что найденные нами морфологические различия перикарионов клеток вентромедиального ядра, по-видимому, объясняются различными фазами состояния нейросекреторных клеток. Очевидно, клетки, содержащие складчатое ядро, слабо развитый комплекс Гольджи, цитоплазму с плотным расположением всех органелл, гранулярный эндоплазматический ретикулум с расширенными цистернами и небольшим количеством нейросекреторных гранул с плотной сердцевиной, находятся в фазе «покоя» (в смысле образования и выведения секрета), тогда как клетки, содержащие гипертрофированный и множественный комплекс Гольджи, со связанными с ним нейросекреторными гранулами с плотной сердцевиной и многочисленными крупными слабоосмиофильными, ячеистыми гранулами, по-видимому, находятся в активной фазе.

Для определения функционального состояния клеточных элементов вентромедиального ядра следует отличать нейросекреторные гранулы от липидных капель и дегенерированных митохондрий, часто встречающихся в нейросекреторных клетках в фазе максимальной активности [3, 4, 6, 28].

По Глессу и др. [11] отличительной чертой нейросекреторных гранул является однородность массы и правильная конфигурация, тогда как липофусцин имеет неоднородную форму и гетерогенную структуру.

В исследуемом нами материале наблюдались клетки с гетерогенными и полиморфными включениями на периферии, по-видимому, являющимися липофусциновыми каплями или другими шлаковыми продуктами, что, в свою очередь, указывает на процесс физиологической дегенерации, наблюдавшейся у нормальных и половозрелых кошек, который может наступить, по-видимому, или в результате гиперсекреции, или перепроизводства секрета и накопления его в теле.

## ЛИТЕРАТУРА

1. Алешин Б. В., Демиденко Н. С., Жукова С. В., Ус Л. А. В сб.: Физиология и патофизиология гипоталамуса, «Наука», М., 1966, 131—134.
2. Поленов А. Л. Гипоталамическая нейросекреция, «Наука», Л., 1968.
3. Поленов А. Л. АГЕ, 7, 5—18, 1974.
4. Сенчик Ю. И. ДАН СССР, 205, 6, 1465—1468, 1972.
5. Сенчик Ю. И. АГЕ, I, XX, 110—113, 1976.
6. Сенчик Ю. И., Поленов А. Л. Z. Zellforsch., 100, 1, 118—125, 1969.
7. Сентаготай Я., Флерко Б., Теш Б., Халас Б. Гипоталамическая регуляция передней части гипофиза. Будапешт, 1965.
8. Amat P. Rev. neur. neurosir. J. Psiquiatr, 38, 39—41, 1978.
9. Bary J., Dubois M. P., Cayette B. Endocrinology, 95, 1416, 1974.
10. Blackwell R. S., Guillemin R. Ann. Rev. Physiol., 35, 357—390, 1973.
11. Gless P. P., Spoerri Chazzani E. E. J. Hirnforsch., 16, 379—394, 1975.
12. Deyer R. G. J. Physiol. (Lond.), 234, 421—442, 1973.
13. Ibata J., Najyo J., Matsura T., Ioshikawa H., Sano J. Cell and Tissue Res., 160, 139—153, 1975.
14. Kalimo H. Cell and Tissue Res., 163, 2, 155—168, 1975.



15. King J. C., Gerall A. A. J. Histochem. Cytochem., 24, 7, 829—845, 1975.
  16. Knoche H. Acta Anat. (Basel), 18, 5, 208—223, 1953.
  17. Leredis K. Z. Zellforsch., 65, 6, 847—868, 1965.
  18. Nauman W., Sterba G. Cell and Tissue Res., 4, 165, 545—553, 1976.
  19. Noda H., Sano J., Ok S., Saito O. Arch. Histol. (Okayama), 10, 63—70, 1956.
  20. Oksche A. H., Kirschstein H. G., Hartwig, Ochnke H. J. Cell and Tissue Res., 149, 363—369, 1974.
  21. Palay S. Anat. Rec., 138, 4, 417—443, 1960.
  22. Palkovits M., Strark E. Neuroendocrinology, 10, 23—30, 1972.
  23. Palkovits M., Browstein M. J., Arimura A., Sato H., Schally K., Kizer J. S. Brain Res., 109, 2, 430—434, 1976.
  24. Pelletier G., Leclerc R., Dubé D. J. Histochem. Cytochem., 24, 7, 864—871, 1976.
  25. Kapzm-Zumanski G. S., Gajkowska B. Neuropat. Pol., 18, 1, 33—47, 1975.
  26. Renaud L. P., Mattin J. B. Brain Res., 93, 145—151, 1975.
  27. Renaud L. P., Hopkins D. A. Brain Res., 121, 201—213, 1977.
  28. Reinhardt H. F., Hemming L. Ch., Rohr H. P. Z. Zellforsch., 102, 182—192, 1969.
  29. Sawaki J., Vagi K. J. Physiol. (Lond.), 230, 75—85, 1973.
  30. Silverman A. Histochem. Cytochem., 24, 7, 816—827, 1976.
  31. Takeichi M., Noda J. Folia Psychiatr. Neurol. Jap., 28, 45—64, 1974.

କୁତୁଳ ଶିଳ୍ପିଙ୍କର ମଧ୍ୟ ଦେଖାଯାଇଲା ଏହାର ଅନ୍ତର୍ଗତ ପରିପାଳନା କାର୍ଯ୍ୟର ପରିପାଳନା କାର୍ଯ୍ୟର ପରିପାଳନା କାର୍ଯ୍ୟର ପରିପାଳନା

CPUQ9e\_0

ສາງຕາຫວຸດລົບສະໜອງ ສະກຳ ມະນູນຄູ່ຮັບເພື່ອ ອະນຸຍາດມີຄົນ ດ. ດູງກິດຕູ້ແຈ້ງລົບສະໜອງ ສາທິປະໄຕ ຖະໜາດ ດູງໃຫ້ມີຄົນ ດັບຕົກຕົວ

680

“შესწავლილ იქნა კატის ჰიპოთალაბენსის ვენტრომედიალური ბირთვის ნეირონების ულტრასტრუქტურული ორგანიზაცია. გამოიჩინა, რომ ვენტრო-მედიალური ბირთვის ნეირონები ხასიათდებიან მთელი რიგი ულტრასტრუქტურული თავისებურებებით, რომელიც მიუთიერებენ მათ ნეიროსეკურეტო-რულ ბუნებაზე: აღნიშნება სხევადასხევა ზომის სეკურეტორული ჩანართები როგორც ნეირონის პერიფერიონში, ისე რომ მოჩებებში, კარგად განვითარებული გოლჯის კომპლექსი, ენდოპლაზმური ბადე, თავისუფალი რიბოსომები და პოლისომები დიდი რაოდენობით.

პერიკარიონს კაპილარის კედელთან უშესაღო კონტაქტი არ გააჩნია. მძრივად, ჩატარებული გამოკვლევებით ცხადი გახდა, რომ პიპოთალამუსის ვენტილომებით ბირთვის ნეირონები ნეიროსეფერტორული ბუნებისანი არიან; ისინი გამოიმუშავებენ პიპოფიზოტროპულ ფაქტორს და ამ ფაქტორის გადანაცვლება ხდება აქსონებით, რის შედეგადაც საბოლოოდ ხორციელდება პიპოფიზისა და სხვა ენდოკრინული ჯირკვლების ნეიროპორმონული რეგულაცია.

# THE ULTRASTRUCTURAL ORGANIZATION OF NEURONS IN THE VENTROMEDIAL NUCLEUS OF HYPOTHALAMUS OF THE CAT

H. G. MKHEIDZE

I. S. Beritashvili Institute of Physiology, Georgian Academy of Sciences, Tbilisi, USSR

## Summary

The ultrastructural organization of neurons in the ventromedial nucleus of the cat was studied. It is established that the neurons of the ventromedial nucleus are characterized by a number of ultrastructural peculiarities, which point to their neurosecretorial nature. These are secretorial granules of different sizes found in perikaryon as well as in the spines of neurons, a well-developed Golgi complex, endoplasmic reticulum, a large number of free ribosomes and polysomes.

The direct contact of perikaryon with the capillary walls is not observed. The investigations make it evident that the neurons of the ventromedial nucleus are of neuro-secretorial nature. They form hypophysotropic factors transferred by means of axons, due to which the neurohormonal regulation of hypophysis and endocrinous glands is accomplished.

УДК 577.353:577.15

БИОХИМИЯ

## ЭНЕРГЕТИЧЕСКАЯ ОБЕСПЕЧЕННОСТЬ, СОКРАТИТЕЛЬНЫЕ СВОЙСТВА ПУЧКОВ ГЛИЦЕРИНИЗИРОВАННЫХ ВОЛОКОН И СТРУКТУРА МИОКАРДА ПРИ ТОКСИКО-АЛЛЕРГИЧЕСКОМ МИОКАРДИТЕ

Н. В. Карсанов, Р. В. Капанадзе, Е. В. Селихова, Н. П. Убери

Республиканский Научно-исследовательский центр медицинской биофизики МЗ ГССР,  
Тбилиси

Тбилисский государственный медицинский институт

Поступила в редакцию 18.2.1980

В экспериментах на кроликах показано, что в основе недостаточности сократительной функции сердца при токсико-аллергическом миокардите (ТАМ) лежит резкий дефицит непосредственного источника энергии и резкое падение сократительной активности системы контрактильных белков.

К месячному сроку после воспроизведения миокардита сократительная способность глицинеринизированных мышечных волокон полностью восстанавливается, а содержание АТФ возвращается к исходному уровню (или даже превышает его).

Между динамикой гистологических изменений в миокарде, свидетельствующих о развитии и инволюции воспалительного процесса, и сократительными свойствами системы контрактильных белков, а также энергодефицитным состоянием клетки отмечается определенный (нестрогий) параллелизм, но отсутствует взаимосвязь между динамикой этих показателей и такими явлениями, как паренхиматозная и вакуольная дистрофия, а также фрагментация мышечных волокон, которые к месячному сроку выражены так же, как и при десятидневном ТАМ.

Нарушение сократительной функции миокарда при воспалительных повреждениях мышцы сердца представляет серьезную практическую проблему. С одной стороны, наблюдается значительная частота миокардитов [32, 27, 17] (в том числе миокардитов вирусной этиологии [42, 35, 43]) как в зрелом [17, 39, 28], так, в особенности, в детском возрасте [21, 24, 7, 41]. С другой — имеет место их рефрактерность к сердечным средствам, особенно сердечным гликозидам [36, 16, 20, 38, 23] (при вирусных миокардитах на фоне повышенной к ним чувствительности [26]).

Это создает настоятельную необходимость познания механизма развития недостаточности сократительной способности мышцы сердца при различных его заболеваниях, в частности при воспалительных повреждениях.

Успехи, достигнутые в изучении механизма мышечного сокращения, дают основание считать, что недостаточность сократительной функции мышечной клетки может наступить в связи с возникновением в ней трех ситуаций: дефицита источника легкодоступной для использования энергии — АТФ (в результате отклонений в системах обновления и накопления энергии), нарушения превращения химической энергии в механическую (в результате изменений в системе контрактильных белков) и нарушения функционирования мембранны — сарколеммы и эндоплазма-



тического ретикулума, осуществляющих сопряжение возбуждения и сокращением, а также определяющих величину сократительного ответа и вызывающих расслабление мышечной ткани (путем выброса и устранения  $\text{Ca}^{++}$  из саркоплазмы).

На моделях адреналинового [30, 13], аллергического [44, 31] и токсико-аллергического [4, 33, 14, 22] миокардитов показано, что при воспалительных повреждениях мышцы сердца происходит выраженное уменьшение содержания в миокарде аденоэозинтрифосфорной кислоты.

Установлено, что при адреналиновом [12] и аллергическом [44] миокардитах страдает не только энергетическая обеспеченность мышцы сердца, но существенно падает и сократительная способность системы контрактильных белков.

В настоящей работе, являющейся фрагментом исследования, направленного на выяснение механизма развития недостаточности сердца при миокардах и разработку рациональной ее терапии, приводятся данные о энергетической обеспеченности и сократительных свойствах пучков глициеринизированных волокон миокарда (ПГВМ), а также гистологических изменениях в мышце сердца в различные периоды развития и инволюции токсико-аллергического миокардита (ТАМ).

## МАТЕРИАЛЫ И МЕТОДЫ

Работа проведена на 40 кроликах породы шиншилла обоего пола весом 2,5—3 кг.

Изучена группа интактных животных, животных с трех-, десяти- и тридцатидневным ТАМ, который вызывался по методу, описанному С. В. Андреевым и М. В. Соколовым [33, 4, 3]: кролики сенсибилизовались путем двукратного введения 2 мл нормальной лошадиной сыворотки с интервалом в 4 дня и последующим, через 7 дней, внутривенным введением 0,5 мл стафилококкового токсина.

Интактные и опытные кролики содержались в виварии в одинаковых условиях и в соответствующие сроки забивались. Вся процедура забивки и извлечения сердца занимала около 15 с.

Из сердца, после его изъятия, брались образчики правого и левого желудочек для исследования содержания нуклеотидов адениловой системы (они сразу же замораживались в жидким азоте) и только из левого — для определения количества фосфокреатина. После этого для приготовления ПГВМ иссекались трабекулы обоих желудочек.

Для гистологического исследования брались кусочки миокарда из всей толщи стенок желудочек.

Нуклеотиды адениловой системы экстрагировались по методу, описанному Воскобойниковым [9], и фракционировались на ионно-обменной колонке с Даузекс  $1\times 4$ , 100—200 меш. в хлорной форме [5]. Энергетический заряд системы АТФ—АДФ—АМФ рассчитывался по Аткинсону [40], фосфокреатин определялся по Алексевой [2]. ПГВМ готовились по методу Сент-Дьеरдьи [46, 15].

Напряжение, развиваемое ПГВМ в полуизометрическом режиме, изучали в среде 0,02 М трис-НCl буфера ( $\text{pH } 8,2$ ), содержащей 0,05 М  $\text{KCl}$  и 0,005 М  $\text{MgCl}_2$ , под влиянием нейтральной динатриевой соли АТФ (конечная концентрация  $3\times 10^{-5}\text{M}$ ). Оно измерялось тензометрически и пересчитывалось на единицу поперечного сечения нативного волокна по формуле Ранея [45].

Для контроля выраженности воспалительного процесса и других гистологических изменений в миокарде срезы из обоих желудочек красились эозином, гематоксилином и пикрофуксином по ван Гизону.

Материал обработан статистически [6]. В таблицах приводится число исследованных животных ( $n$ ), средние арифметические ( $\bar{X}$ ) и



их ошибки ( $t_{\bar{x}}$ ), а также оценка существенности различий между группами с помощью арифметическими ( $P$ ), произведенная на основании  $t$ -теста Стьюдента.

## РЕЗУЛЬТАТЫ ИССЛЕДОВАНИЯ

**Гистологические изменения в мышце сердца.** На 3-й день после инъекции стафилококкового токсина ( $n=10$ ) на фоне хорошо выраженных явлений нарушения кровообращения (артериальная гиперемия, стаз и накопление отечной жидкости между мышечными волокнами и вокруг сосудов), как правило, отмечаются мелкоочаговые воспалительные инфильтраты, в большинстве случаев с явлениями васкулитов. Они сопровождаются паренхиматозной, а в отдельных случаях вакуольной дистрофией миоцитов, а также фрагментацией и исчезновением поперечной исчерченности подавляющего большинства мышечных волокон. Ядра расположены по периферии саркоплазмы, бледно окрашены (рис. 1).



Рис. 1. Выраженная паренхиматозная и вакуольная дистрофия и фрагментация миоцитов левого желудочка миокарда. Окраска гематоксилином-эозином. Ув. 5 х 40

На 10-й день развития воспалительного процесса ( $n=10$ ) гемодинамические нарушения в миокарде несколько уменьшаются, но усиливается интенсивность воспалительных явлений — инфильтраты, состоящие преимущественно из лимфоцитов, приобретают диффузный характер. Это сопровождается размножением соединительноклеточных элементов, а также выраженными явлениями паренхиматозной и вакуольной дистрофии и фрагментации миоцитов (рис. 2).

На 30-й день ( $n=10$ ) явления нарушения гемодинамики почти полностью устраняются. Выраженность воспалительных инфильтратов значительно уменьшается и происходит разрастание волокнистой соединительной ткани, на фоне почти такой же паренхиматозной и вакуольной дистрофии и фрагментации миоцитов. Ядра хорошо окрашены. Большинство ядер расположены в центральной части саркоплазмы миоцитов (рис. 3).

**Содержание нуклеотидов адениловой системы и фосфокреатина в миокарде.** На 3-й день развития ТАМ содержание АТФ в миокарде левого желудочка существенно снижается ( $P<0,05$ ), при этом несколько, хотя и недостоверно, возрастает содержание АДФ. В результате сумма нуклеотидов не изменяется (таблица).

В правом желудочке наблюдается аналогичный недостоверный сдвиг, однако и этот сдвиг приводит, как и в левом желудочке, к существенному снижению отношения  $\frac{AT\Phi}{AD\Phi}$  и уменьшению энергетического заряда системы адениновых нуклеотидов (таблица).

Нуклеотиды адениновой системы левого и правого желудочков сердца крысок при

Группа		Желудок					
		Левый	АТФ	АДФ	АМФ	Сумма	$\frac{AT\Phi}{AD\Phi}$
Контроль	1	2,5 $\pm 0,13$	1,82 $\pm 0,2$	1,06 $\pm 0,13$	5,29 $\pm 0,3$	1,58 $\pm 0,22$	
Трехдневный $n_{лев}=10$ $n_{прав}=9$	2	1,94 $\pm 0,23$	2,28 $\pm 0,15$	1,05 $\pm 0,12$	5,3 $\pm 0,33$	0,89 $\pm 0,12$	
Доизделический $n_{лев}=10$ $n_{прав}=10$	3	1,05 $\pm 0,08$	1,95 $\pm 0,22$	0,75 $\pm 0,7$	3,7 $\pm 0,13$	0,64 $\pm 0,1$	
Минокардия	4	2,83 $\pm 0,2$	2,71 $\pm 0,23$	0,67 $\pm 0,1$	6,21 $\pm 0,45$	1,05 $\pm 0,55$	
Существенность различий между группами (Р)	1—2	<0,05	—	—	—	<0,02	
	1—3	<0,001	—	<0,05	<0,001	<0,01	
	2—3	<0,01	—	<0,05	<0,001	—	
	1—4	—	<0,01	<0,05	—	<0,05	
	2—4	<0,02	—	<0,05	—	—	
	3—4	0,001	<0,02	—	<0,001	<0,01	

На 10-й день развития патологического процесса содержание АТФ в миокарде левого желудочка еще более уменьшается ( $P<0,001$ ) — почти на 60%. При этом в миокарде правого оно снижается значительно меньше ( $P<0,01$ ) — на 30%.

Уменьшение содержания АТФ в обоих желудочках уже не сопровождается существенным изменением содержания АДФ. Количество АМФ в миокарде левого желудочка заметно снижается ( $P<0,05$ ). В результате существенно уменьшается общее содержание нуклеотидов адениновой системы в левом желудочке ( $P<0,01$ ). В связи с резким уменьшением содержания АТФ в левом желудочке происходит еще

более выраженное падение соотношений  $\frac{AT\Phi}{AD\Phi}$ ,  $\frac{AT\Phi}{AM\Phi}$  и энергетического заряда системы АТФ—АДФ—АМФ (таблица).

На 30-й день содержание АТФ в левом и правом желудочках возвращается к исходной величине, а количества АДФ в них превышают

также-аллергическом миокарде в левом

Таблица

$\frac{AT\Phi}{AD\Phi}$	Энергетический заряд	Правый				
		ATФ	ADФ	AMФ	Сумма	$\frac{AT\Phi}{AD\Phi}$
2,76 $\pm 0,42$	0,65 $\pm 0,03$	2,32 $\pm 0,13$	1,58 $\pm 0,1$	0,99 $\pm 0,13$	4,81 $\pm 0,28$	1,67 $\pm 0,22$
2,13 $\pm 0,3$	0,58 $\pm 0,04$	1,89 $\pm 0,27$	1,9 $\pm 0,2$	1,05 $\pm 0,11$	4,84 $\pm 0,46$	1,62 $\pm 0,1$
1,45 $\pm 0,1$	0,54 $\pm 0,01$	1,63 $\pm 0,2$	1,83 $\pm 0,22$	0,93 $\pm 0,16$	4,39 $\pm 0,55$	1,64 $\pm 0,17$
5,2 $\pm 1,3$	0,65 $\pm 0,03$	2,36 $\pm 0,21$	2,28 $\pm 0,1$	1,0 $\pm 0,31$	5,64 $\pm 0,35$	1,06 $\pm 0,11$
—	<0,05	—	—	—	<0,02	—
<0,01	<0,01	<0,01	—	—	<0,05	—
<0,05	—	—	—	—	—	—
—	—	—	<0,001	—	<0,05	—
<0,05	<0,01	—	—	—	—	—
<0,02	<0,001	<0,05	—	—	—	—

контрольные величины ( $P<0,01$  и  $0,001$ ). В связи с этим общее содержание нуклеотидов адениновой системы превышает нормальный уровень, отношение  $\frac{AT\Phi}{AD\Phi}$  остается низким, а  $\frac{AT\Phi}{AM\Phi}$  превышает контрольную величину. Энергетический заряд системы нуклеотидов, нормализуясь в левом желудочке, продолжает оставаться пониженным в правом.

Содержание Фосфоркиназы (рис. 4) в миокарде левого желудочка на третий день развития миокарда уменьшается почти на половину. 4. Серия биохимическая, т. 6, № 5

В этих пределах оно остается и при 10- и 30-дневном миокардите.



Рис. 2. Разрастание волокнистой соединительной ткани. Окраска пикрофуксином. Ув. 5 x 40

**Сократительные свойства ПГВМ.** Напряжение, развиваемое ПГВМ из обоих желудочеков при трехдневном ТАМ, резко уменьшается (рис. 5).



Рис. 3. Центральное расположение ядер в миоцитах. Окраска гематоксилином-эозином. Ув. 5 x 40

Оно находится на этом уровне и при десятидневном миокардите. К тридцатому дню заболевания сократительная способность ПГВМ возвращается к исходной величине.

#### ОБСУЖДЕНИЕ РЕЗУЛЬТАТОВ

Таким образом, при ТАМ в основе недостаточности сократительной функции миокарда лежит как выраженный дефицит непосредственного источника энергии (АТФ), так и резкое падение способности системы контрактильных белков развивать напряжение. Это сочетается

с нарушением функционирования эндоплазматического ретикулума<sup>\*</sup> и нарушением регулирования процесса сокращение — расслабление<sup>\*\*</sup>.

Энергодефицитное состояние в изученные периоды возрастает к десятому дню развития патологического процесса и усугубляется при этом в большей степени в левом желудочке. Что касается сократительной способности миофибрилл, то она уже на третий день (в обоих желудочках) уменьшена в такой же резкой степени, как и при десятидневном ТАМ.

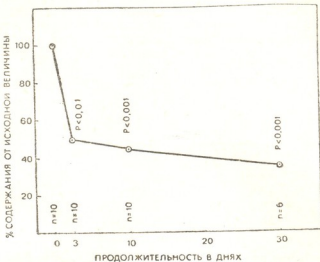


Рис. 4. Содержание фосфокреатина в миокарде левого желудочка в % от контрольной величины при ТАМ

На десятый день нарушения в системе адениловых нуклеотидов достигают такой большой глубины, что общее содержание нуклеотидов в левом желудочке, по-видимому в результате их распада, значительно уменьшается. Установлено, что это нарушение энергообеспечения обусловлено повреждением митохондрий [10, 14]. В пользу этого косвенно свидетельствует, по-видимому, и низкий уровень цитохрома С [33], а также уменьшение содержания КрФ — переносчика макроэргического фосфора от митохондриальной АТФ к цитоплазматической АДФ [29].

Уменьшение отношений  $\frac{\text{АТФ}}{\text{АДФ}}$  и  $\frac{\text{АТФ}}{\text{АМФ}}$ , а также низкое энергетическое состояние системы адениловых нуклеотидов [19, 25] обоих желудочков при всех изученных сроках ТАМ неминуемо должно приводить к активации ключевого фермента гликолиза (фософруктокиназы) и усилиению образования АТФ гликолитическим путем. Однако низкое содержание АТФ и низкие величины заряда системы АТФ—АДФ—АМФ свидетельствуют, что этот путь не полностью компенсирует возникающий дефицит и не приводит к нормальному уровню заполнения системы адениловых нуклеотидов энергией.

К тридцатому дню восстанавливается сократительная способность системы контракtilных белков и, по-видимому, образование АТФ путем окислительного фосфорилирования. В результате содержание АТФ возвращается кциальному уровню. При этом повышенное количе-

\* Неопубликованные данные.

ство АДФ (с чем связаны низкие значения АТФ/АДФ) и пониженный энергетический заряд нуклеотидов в правом желудочке), как и низкое содержание КрФ, надо полагать, обусловлены большим потреблением энергии, по-видимому, в связи с репарационными процессами.

Резкие нарушения в системах энергообеспечения и преобразования химической энергии в механическую приводят экспериментальных животных к крайне тяжелому состоянию (в результате 30% их гибнет), в особенности в период, близкий к десятому дню заболевания, когда наблюдается выраженное нарушение функционирования эндоплазматического ретикулума. Однако следует подчеркнуть, что, несмотря на уменьшение содержания жизненно необходимого АТФ на 59,8% в левом желудочке и на 50% в правом, а также уменьшение более чем на 50% КрФ и на 45% сократительной способности ПГВМ, все же 70% животных выживает.

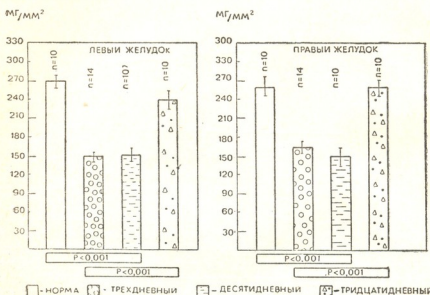


Рис. 5. Напряжение, развиваемое ПГВМ из левого и правого желудочков, в норме и при ТАМ

Установлено, что падение сократительной способности контракtilных белков обусловлено поражением актина и миозина в участках их взаимодействия.

Между динамикой гистологических изменений, констатирующих возникновение и инволюцию воспалительных явлений, и нарушениями энергетической обеспеченности, а также сократительной способности системы контракtilных белков наблюдается определенный, но не полный параллелизм — сократительная способность и содержание АТФ нормализуются на фоне не полностью стихающего воспалительного процесса\*. Однако этот параллелизм отсутствует между указанными показателями (и это следует подчеркнуть) и явлениями паренхиматозной и вакуольной дистрофии, а также степенью фрагментации мышечных волокон, которые к моменту восстановления со-

\* При адреналиновом миокарде воспалительные явления в миокарде не проходят и к 40 дню динамики патологического процесса [18].

кратительной способности системы контрактильных белков и нормализации содержания АТФ при ТАМ выражены не в меньшей степени.

На основании этих данных мы пришли к тому же заключению, что и И. В. Давыдовский, А. И. Абрикосов, А. И. Струков и С. С. Вайль [11, 1, 34, 8]: наличие дистрофических явлений в мышце сердца вовсе не должно отождествляться с падением функциональной активности миокарда, которая, наоборот, может быть усиленной.

## ЛИТЕРАТУРА

1. Абрикосов А. И. Основы частной патологической анатомии, «Медгиз», М., 1946.
2. Алексеева А. А. Биохимия, 2, 97—103, 1951.
3. Андреев С. В. В кн.: Моделирование заболеваний, «Медицина», М., 1973.
4. Андреев С. В., Соколов М. В. В сб.: Саногенез, «Медицина», М., 1968, 91—92.
5. Баев А. А. Биохимия, 1, 165—176, 1958.
6. Бейли Н. Статистические методы в биологии, «Мир», М., 1964.
7. Белоконь Н. А. Педиатрия, 4, 40—46, 1977.
8. Вайль С. С. Клиническая медицина, 5, 3—6, 1976.
9. Воскобойников Г. В. Биохимия, 5, 1041—1044, 1966.
10. Гвоздик Я. Кардиология, 11, 40—44, 1975.
11. Давыдовский И. В. Общая патология человека, «Медицина», М., 1961.
12. Карсанов Н. В. В сб.: Вопросы биохимии нервной и мышечной систем. 3, «Мецниереба», Тбилиси, 1979, 76—83.
13. Карсанов Н. В., Бочоришвили В. Г., Ханидрава Н. К., Батиашвили Г. А., Дабрундашвили М. Д. В сб.: Биофизические основы патологического состояния мышц и энергетическое обеспечение сократительного аппарата, «Мецниереба», Тбилиси, 1973, 98—101.
14. Карсанов Н. В., Лазабидзе И. Л., Селихова Е. В. В сб.: Ультраструктура сердечно-сосудистой системы в норме и патологии, «Мецниереба», Тбилиси, 1976, 84—85.
15. Карсанов Н. В., Магалладзе В. А., Мамулашвили М. Д. Тр. Ин-та клин. и эксп. кардиол. МЗ, ГССР, Ч, Тбилиси, 1970, 287—294.
16. Кедров А. А. В кн.: Многотомное руководство по внутренним болезням. I, «Медицина», М., 1962.
17. Кедров А. А. Болезни мышцы сердца, «Медицина», Л., 1963.
18. Коберидзе Л. Я. Сборник научных работ, Волгоградский мединститут XXIII, 1970, 235—236.
19. Лениндже А. Биохимия, «Мир», М., 1974.
20. Ланг Г. Ф. Учебник внутренних болезней, «Медгиз», М., 1957.
21. Мазурин А. В., Кравченко И. В., Агейкин В. А., Сафонов А. Б. Педиатрия, 4, 12—18, 1974.
22. Миланов В. Цит. по кн. «Моделирование заболеваний», «Медицина», М., 1973, 218.
23. Мухарлямов Н. М., Мареев В. Ю. Тер. архив, 12, 3—10, 1978.
24. Мухарлямов Н. М., Чарчогляян Р. А. Кардиология, 4, 141—150, 1974.
25. Нью-холм Э., Старт К. Регуляция метаболизма, «Мир», М., 1977.
26. Перчикова Г. Е. Кардиология, 10, 59—62, 1975.
27. Рапопорт Я. Л. Арх. патологии, 6, 13—20, 1974.
28. Рапопорт Я. Л., Белоконь Н. А. Клин. медицина, 7, 16—29, 1976.
29. Сакс В. А., Розенштраух Л. В., Шаров В. Г., Еиселин И. Е., Чазов Е. И. В сб.: Метаболизм миокарда, «Медицина», М., 1979, 215—241.
30. Северин С. Е., Цейтлин Л. А. Вопр. мед. химии, 3, 300—305, 1964.



31. Селихова Е. В. В сб.: Современные проблемы кардиологии, «Медицина», Тбилиси, 1976, 455—457.
32. Сененко А. Н. Сердце и очаговая инфекция, «Медицина», Л., 1973.
33. Соколов М. В. Содержание цитохрома С и обмен нуклеиновых кислот в сердце при экспериментальном токсическом миокардите, Автореф. канд. дисс., М., 1967.
34. Струков А. И. Патологическая анатомия, «Медицина», М., 1971.
35. Сукачева А. И. Педиатрия, 4, 46—50, 1977.
36. Фогельсон Л. И. Болезни сердца и сосудов, «Медгиз», М., 1939.
37. Целлариус Ю. Г., Семенова Л. А. Арх. патологии, 12, 3—7, 1968.
38. Чазов Е. И. Тер. архив, 10, 19—24, 1975.
39. Юренев П. Н., Семенович Н. И. Клиника и терапия аллергических повреждений сердца и сосудов, «Медицина», М., 1972, 47—52.
40. Atkinson D. E. Biochemistry, 11, 4030—4034, 1968.
41. Baldini G. Minerva Pediatr., 13, 656—663, 1974.
42. Burch G. E., Giles T. D. Amer. J. Cardiol., 2, 231—241, 1972.
43. Harris G., Nghiim Q. X. In: Progress in Cardiovascular Diseases, 3, 255—287, 1975.
44. Kipshidze N. N., Karsanov N. V., Guchua E. I., Selikhova E. V. Drugs expl. clin. Res., 4, 127—136, 1978.
45. Ranney R. E. Amer. J. Physiol., 183, 197—202, 1955.
46. Szent-György A. Biol. Bull., 96, 140—161, 1949.

პლიცერინიზაციი კუთხოვანი გოგონების უკუმაშვის  
უნარიანობა, მიღებით უზრუნველყოფა და მიღების  
სტრუქტურა ტოპოგრაფიულ-ალერგიული მიღებარღითის დროს

5. ძარსაცნოვი, რ. გაგანაძე, მ. ლილიშვილი, ნ. უბანი

საჭართველოს სსრ ჯანმრთელობის დაცვის სამინისტროს  
ტესტუმულური სამედიცინო ბიოფიზიკის ცენტრი, თბილისი;  
თბილისის სახელმწიფო სამედიცინო ინსტიტუტი

#### ჩვეულებები

ბოცერტშე ჩატარებული ცდებით გამოირკვეა, რომ ტოქსიკურ-ალერგიული მიოკარდიტების დროს გულის შეკუმშვადი ფუნქციის უკმარისობის მიზეზია ენერგიის უშუალო წყაროს დეფიციტი და კონტრაქტილური ცილების სისტემის შეკუმშვადი აქტივობის შევეთრი დაცემა.

მიოკარდიტის გამოწვევიდან 1 თვის შემდეგ გლიცერინინჟებული კუნთოვანი ბოცერტების შეკუმშვის უნარი სრულად აღდგება, ხოლო პტ-ის შემცველობა საწყის დონეს უბრუნდება (ან რამდენადმე მეტიცაა).

გარკვეული პარალელიზმია, ერთი მხრივ, მიოკარდში განვითარებულ სტრუქტურულ ცვლილებებსა და, მეორე მხრივ, მიოციტების შეკუმშვად ცილებსა და მათ ენერგოდეფიციტურ მდგომარეობას შორის.

საინტერესოა ალინიშნოს, რომ ტოქსიკურ-ალერგიული მიოკარდიტების დროს მიოციტთა პარენქიმული, ვაკუოლური დისტროფია და მათი ფრაგმენტაცია ერთი თვის შემდეგ ისეთივე ინტენსიონისაა, როგორც 10 დღის შემდეგ.

# ENERGY SUPPLY, CONTRACTILE PROPERTIES OF BUNDLES OF GLYCERINATED MUSCLE FIBRES AND MYOCARDIAL STRUCTURE IN TOXIALLERGIC MYOCARDITIS

N. V. KARANOV, R. V. KAPANADZE, E. V. SELIKHOVA, N. P. UBERI

Research Center of Medical Biophysics, Georgian Ministry of Health, Tbilisi, USSR  
State Medical Institute, Tbilisi, USSR

## Summary

In experiments on rabbits the basis of heart contractile function failure in toxiallergic myocarditis (TAM) was shown to be the significant deficiency of the direct energy source and the decrease of the activity of the contractile protein system.

A month after the reproduction of myocarditis contractility of glycerinated muscle fibers was completely recovered and ATP content was restored to or even exceeded the initial level.

A definite (not very strict) parallelism was observed among the dynamics of histologic changes in myocardium indicating development and involution of inflammatory process, contractile protein system and the energodeficient state of cells. But correlation between dynamics of these indices and such phenomena as parenchymal and vacuolar dystrophy as well as fragmentation of muscle fibres which in a month are expressed as definitely as on the tenth day of TAM was not observed.

УДК 595.142.34

ЗООЛОГИЯ

**О ВИДОВОЙ САМОСТОЯТЕЛЬНОСТИ *DENDROBAENA SCHELKOVNICKOVI* (MICHAELSEN, 1907) И НОВЫЙ ВИД ДОЖДЕВОГО ЧЕРВЯ ИЗ ГИРКАНСКОГО ЗАПОВЕДНИКА**

Э. Ш. Квавадзе, К. Г. Николайшили

Институт зоологии АН ГССР, Тбилиси

Поступила в редакцию 17.5.1979

На территории Гирканского заповедника зарегистрировано 12 видов дождевых червей. Описан новый вид *Dendrobaena hyrcanica* sp. nov. и восстановлена самостоятельность вида *Dendrobaena schelkovnikovi* (Mich. 1907). Методом диск-электрофореза в 7,5%-ном поликариламидном геле обнаружены различия в белковом спектре экстрактов *D. schelkovnikovi* и *D. hyrcanica* sp. nov.

Дождевые черви *Eisenia schelkovnikovi* var. *veliensis* Mich., 1910, *E. schelkovnikovi* var. *bakuensis* Mich., 1910, *Dendrobaena fedtschenkoi* var. *lenkoranensis* Mich., 1910 сведены в синоним *D. schelkovnikovi* (Mich., 1907).

Гирканский заповедник (площадь — 3100 га) занимает часть Ленкоранской низменности и нижний горно-лесной пояс Талыша. Климат здесь влажный субтропический с сухим летом. Средняя температура июля — 25,8°, января — 3,3°, абсолютная минимальная температура — 15,1°. Годовая сумма осадков — 1200—1600 мм. Максимальное количество осадков (607 мм) выпадает осенью, а минимальное (102 мм) летом. Почвенный покров Гирканского заповедника представлен желтоzemами. Здесь произрастают третичные реликтовые древесные породы: шелковая акация, железное дерево, каспийская гледичия, гирканский инжир, каштанолистный дуб, дзелква и др. [4]. Многие группы животных также представлены реликтами третичного периода [3].

В декабре 1977 года нами были проведены сборы дождевых червей на территории Гирканского заповедника, а также в ущелье реки Ленкораньчай и в окрестностях Астары.

В результате обработки материала были зарегистрированы следующие виды дождевых червей: *Eiseniella tetraedra*, *Eisenia rosea*, *E. foetida*, *Allolobophora caliginosa trapezoides*, *Dendrobaena attenuata*, *D. hyrcanica* sp. nov., *D. schelkovnikovi*, *D. hortensis*, *D. veneta*, *Eophila karnakovi*, *E. patriarchalis*.

Данные по дождевым червям Гирканского заповедника имеются в работах Михаельсена [11, 12], Л. А. Бабабековой [1] и Т. С. Перель [8]. Для Талышской области Михаельсен [11, 12] описал *Eisenia schelkovnikovi*, *E. schelkovnikovi* var. *veliensis*, *E. schelkovnikovi* var. *bakuensis*, *Dendrobaena fedtschenkoi* var. *lenkoranensis*.

Однако Т. С. Перель [8] пришла к заключению, что *Eisenia schelkovnikovi*, *E. schelkovnikovi* var. *veliensis* и *D. fedtschenkoi* var. *lenkoranensis* являются синонимами *Dendrobaena byblica* Rosa, 1893. Является ли *E. schelkovnikovi* var. *bakuensis* синонимом *D. byblica* показано не было. Т. С. Перель отметила, что вид *D. byblica* в Ленкоранской субтропической зоне представлен двумя формами (пигментированной и не пигментированной) и дала сравнительную характеристику этих форм.

Тщательная обработка собранного материала позволила нам прийти к заключению, что «пигментированная форма» *D. byblica* является самостоятельным видом — *Dendrobaena schelkovnikovi* (Mich., 1907). На основе анализа литературных данных (таблица) дождевые черви *Eisenia schelkovnikovi* var. *veliensis*, *E. schelkovnikovi* var. *bakuensis*, *Dendrobaena fedtschenkoi* var. *lenkoranensis* сводятся нами в синоним *D. schelkovnikovi*.

«Непигментированная форма» *D. byblica*, по нашему мнению, представляет собой новый вид, который мы обозначаем как *Dendrobaena hyrcanica* sp. nov. Описанный новый вид близок к *D. byblica* и *D. fedtschenkoi*, от которых отличается смещением отверстий семеприемников (у *D. byblica* и *D. fedtschenkoi* семеприемники открываются в межсегментные бороздки 9/10 и 10/11 *D. hyrcanica* sp. nov. над линией щетинок с). Приведенное различие свидетельствует о репродуктивной изоляции *D. hyrcanica* sp. nov. и видов *D. byblica* и *D. fedtschenkoi*.

Несомненно, что *D. schelkovnikovi* очень близок к *D. byblica*, особенно к *D. hyrcanica* sp. nov., от которого отличается рядом признаков: 1. головная лопасть танилобическая (у *D. hyrcanica* sp. nov. головная лопасть эпилобическая); 2. семеприемники открываются на спинной стороне выше щетинок d (у *D. hyrcanica* sp. nov. над линией щетинок с); 3. у *D. hyrcanica* sp. nov. в 10-м сегменте воронки семепроводов заключены в семенную капсулу, *D. schelkovnikovi* лишен семенных капсул; 4. дождевые черви *D. schelkovnikovi* имеют интенсивную красновато-коричневую пигментацию, а вид *D. hyrcanica* sp. nov. не пигментирован; 5. черви *D. hyrcanica* более подвижны, чем *D. shelkovnikovi*; 6. все черви (18 экземпляров), принадлежащие *D. schelkovnikovi* и добытые в Гирканском заповеднике и в ущелье реки Ленкораньчай, были заражены нематодой *Dicelis* sp. (*Drilonematidae*), а черви *D. hyrcanica* sp. nov. (взятые из тех же мест, что и *D. schelkovnikovi*) зараженными не оказались.

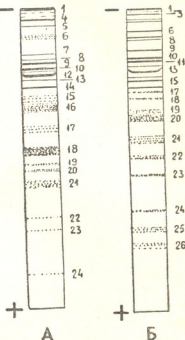


Рис. 1. Схема электрофореграмм:  
А—*D. schelkovnikovi* (Michaelsen,  
1907), Б—*D. hyrcanica* sp. nov.

на линии щетинок d, а у *D. hyrcanica* sp. nov. над линией щетинок с). Приведенное различие свидетельствует о репродуктивной изоляции *D. hyrcanica* sp. nov. и видов *D. byblica* и *D. fedtschenkoi*.



Известно, что паразиты адаптированы только к какому-то определенному виду хозяина или группе видов [2]. Специфичность гельминтов в отношении своих хозяев в современной гельминтологии называют гостальной специфичностью [9]. Нематода *Dicelis* sp. паразитирует только у *D. schelkovnikovi*, т. е. является облигатным гельминтом, а это, по нашему мнению, еще одно доказательство самостоятельности вида *D. schelkovnikovi* (Mich., 1907).

Учитывая высокую разрешающую способность метода диск-электрофореза в полиакриламидном геле и опыт успешного применения его для установления видовых различий белков у гельминтов [5, 6, 7], мы использовали этот метод для выявления различий в белковом спектре дождевых червей *D. hyrcanica* sp. nov. и *D. schelkovnikovi*.

Диск-электрофорез в 7,5%-ном полиакриламидном геле проводили по Девису [10]. Для анализа использовали экстракти передних отделов (до пояска) половозрелых дождевых червей.

На схеме электрофореграммы *D. schelkovnikovi* (рис. 1А) отчетливо видны 24 белковые фракции. В верхней и средней частях геля располагается наибольшее число белковых полос. Среди них выделяются 3 четкие зоны (фракции 9, 10, 12), обладающие высокой концентрацией и 3 слабоокрашенные (7, 8, 11) с низкой концентрацией белка. В среднюю часть геля мигрируют более подвижные белки. Здесь выделяются фракции 16, 17 и 18-я. В нижней части полиакриламидного геля располагаются наиболее подвижные белки, концентрация их невелика и они слабо различимы.

В условиях нашего опыта на протеинограмме *D. hyrcanica* sp. nov. (рис. 1Б) количество фракций достигло 26. Почти вся масса белков концентрировалась в верхней и средней частях геля.

На первый взгляд, фореграммы *D. schelkovnikovi* и *D. hyrcanica* sp. nov. не столь сильно отличаются друг от друга. Бросается в глаза совпадение некоторых белковых полос в медленно движущейся части. Тождественны подвижности главных и второстепенных фракций у этих червей. Однако детальный просмотр электрофореграмм и денситограмм (рис. 2, 3) позволил обнаружить следующие различия в белковом спектре: у *D. schelkovnikovi* в верхней третьей части протеинограммы присутствует фракция 8 (рис. 1А), в средней зоне геля имеется фракция 16, подобной фракции *D. hyrcanica* sp. nov. нам обнаружить не удалось.

Отличительной особенностью *D. hyrcanica* sp. nov. является присутствие в верхней части геля 5 слабоокрашенных белковых зон (14, 15, 16, 17, 18), расположенных под основными (10, 11, 13). Три первых имеют большую четкость. В соответствующей части геля у *D. schelkovnikovi* видны всего лишь 2 белковые фракции, аналогичные фракциям 14 и 15 у *D. hyrcanica* sp. nov. Далее у *D. hyrcanica* sp. nov. в средней части полиакриламидного геля просматриваются две белковые фракции (19 и 20), которые имеют близкую подвижность и слабо отделены друг от друга. У *D. schelkovnikovi* нет фракции, соответствующей 21-й фракции *D. hyrcanica* sp. nov. В то же время у *D. schelkovnikovi* обнаруживаются фракции 19 и 21, аналогичных которым нет у *D. hyrcanica* sp. nov.

Ограничительные белки *D. hyrcanica* sp. nov. по подвижности отличаются от белков *D. schelkownikovi*, мигрирующих в нижнюю часть геля.

Вышеприведенные различия в белковых спектрах *D. hyrcanica* и *D. schelkownikovi* дополняют морфологические, физиологические и экологические данные о самостоятельности этих видов.

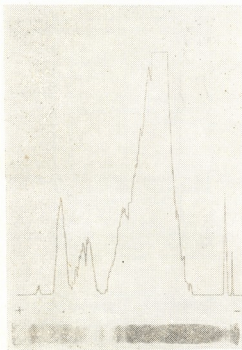


Рис. 2. Денситограмма и электрофото-  
рограмма *D. hyrcanica* sp. nov.

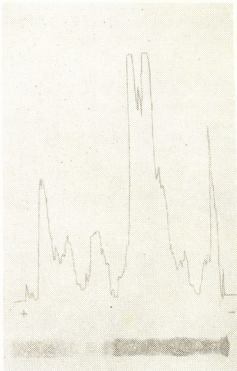


Рис. 3. Денситограмма и электрофоре-  
тограмма *D. schelkownikovi* (Michaelsen, 1907)

Ниже приводим описание нового вида *D. hyrcanica* sp. nov. и переописание *D. schelkownikovi*.

#### *Dendrobaena hyrcanica* Kvavadze et Nikolaishvili sp. nov.

Длина половозрелых червей 35—95 мм, ширина в области пояска 3—3,8 мм. Число сегментов 85—120. Форма тел цилиндрическая. Очень слабая фиолетово-коричневая пигментация имеется в передней части тела. Головная лопасть (1/2) эпилобническая, закрытая. Спинные поры начинаются с межсегментной бороздки 11/12, 12/13. Щетинки не сближены, за пояском aa; ab; bc; cd; dd=29:20:25:20:45. Мужские половые отверстия находятся на 15 сегменте и расположены между щетинками b и c на одинаковом от них расстоянии. Железистые поля вокруг мужских половых отверстий не развиты. Женские половые отверстия находятся на 14 сегменте выше щетинок b. Папиллы хорошо развиты вокруг щетинок ab на 25 и 29 сегментах (рис. 4). Поясок—кольцевидный,

Описание гениталий *Dendrobaena schelkovi* kavali

Локализация	Длина в мм	Ширина в мм	Число отверстий	Фарбка	Головная лопасть
<i>Eisneria</i> (?) schelkovi Michaelson, 1909	45	4—4.5	118	Пигментация фиолетово-коричневая. Стени 9—11 сегментов дегигмтированы	Типиоблическая (или эндобелическая?)
<i>Helodrilus</i> ( <i>Eisneria</i> ) schelkovi Mich., var. <i>selenius</i> Michaelson, 1910	30—36	3.5	120	—	?
<i>Helodrilus</i> ( <i>Eisneria</i> ) schelkovi Mich., var. <i>bicoloris</i> Michaelson, 1910	50	4—4.5	88—95	Пигментация фиолетово-коричневая	?
<i>Helodrilus</i> ( <i>Dendrobaena</i> ) schelkovi Mich., var. <i>bicoloris</i> Michaelson, 1910	21—40.3—3.5	78—108	Пигментация серая, 9—11 сегменты до линии светильников и дегигмтированы	Типиоблическая	?
<i>Dendrobaena</i> <i>bifida</i> „ <i>schelkovi</i> “ Форина (T. C. Пирса, 1966)	52—57	3—4	81—105	Слабая пурпурная пигментация, в области 9—11 сегментов склерые пятна	Типиоблическая

расположены на 24—1/2 29; 24—30; 25—30 сегментах. Пубертатные валики занимают 26—28 или 26—1/2 29 сегменты. Семенные пузырьки в числе пар имеются в 9, 11—12 сегментах (але «специализированной формы» *D. bifida* указывает на наличие четырех пар семенных пузырьков) [8]. Семенприменики находятся в 10, 11 сегментах, их протоки открываются в межсегментные бороздки 9/10 и 10/11 над линией щетинок. Воронки семепроводов помещаются в 10 и 11 сегментах. В 10-м сегменте щетинки семепроводов заключены в семеподушку.


 Рис. 6. *D. bifida* sp. nov.

Пищевод в 10—13 сегментах имеет пластинчатую структуру. Зоб занимает 15—16, а мускулистый желудок 17—18 сегменты.

**Материал:** Гирканский заповедник (Азербайджанская ССР), нижнегорно-лесные ландшафты зоны чайного союзода «Алор», 15 по-

(Michaelson, 1907) во литературных данных.

Половозраст	Пубертатные валики	Число в про- тивоположном	Число семепро- водников	Известные виды	Первый стадия из	Место обнаружения
25—30	25—29	3 пары (9, 11, 12)	2 пары, их протоки открываются выше линии щетинок d	10—13	?	Гора Кын-Юрзы, окрестности г. Ленкорана
25—30	26—29 (изогда 25—29)	3 пары (9, 11, 12)	2 пары открываются дольше щетинок d	—	?	Вели. Талыз
25—1/2 30	26—29	3 пары (9, 11, 12)	2 пары открываются выше линии щетинок d	—	Заметны только задней части тела	Окрестности г. Ленкорана
24—30	1/2 25, 26—29	—	2 пары открываются на линии щетинок d	—	10/11?	Ущелье р. Валанчай, окрестности г. Ленкорана
25—30	1/2 26, 26— 1/2 29, 29	3 пары (9, 11, 12)	На спинной стороне под линией d	1/2 10—13	—	Восточное Закавказье, Ленкоранская субтропическая зона

ловозрелых и 8 ювенильных экземпляров; окрестности г. Астара, 7 половозрелых и 2 ювенильных экземпляра; ущелье реки Ленкоранчай (26-й километр), 5 половозрелых экземпляров, ноябрь, 1977; Астарский район, Исти-су, 12 половозрелых и 13 ювенильных экземпляров, октябрь, 1978 (сборы Э. Ш. Клавадзе).

Голотип и параптипы описанного вида хранятся в Институте зоологии АН ГССР.

*Dendrobaena* *schelkovi* Michaelson, 1907 Syn.: *Eisneria* (?) *schelkovi* Mich., 1907; *Helodrilus* (*Eisneria*) *schelkovi* Mich. var. *selenius* Mich., 1910; *Helodrilus* (*Eisneria*) *schelkovi* Mich. var. *bicoloris* Mich., 1910; *Helodrilus* (*Dendrobaena*) *ledtschenko* Mich., 1910 var. *Ienkorenensis* Mich., 1910.

Длина половозрелых экземпляров 44—75 мм, ширина в области головы 3.5—5 мм. Число сегментов 60—113. Форма тела цилиндрическая. Имеется интенсивная красновато-коричневая пигментация, стени 9—12 сегментов до отверстий семенпримеников дегигмтированы. Головная лопасть типиоблическая. Спинные поры начинаются с межсегментной бороздки 10/11, 11/12. Щетинки не сближены, за исключением аз: ab:bc:cd:dd=33:25:25:27:50. Мужские половые отверстия — на 15 сегменте между щетинками b и c. Расстояние от щетинок b до мужских половых отверстий относится к расстоянию между мужскими половыми отверстиями и щетинками с как 6:9. Железистые поля вокруг мужских половенных отверстий почти не развиты. Женские половые отверстия — на 14 сег-



менте над щетинками b. Щетинки a, b 11, 12 и 26—28 сегментов окружены слабо развитыми папиллами. Вокруг щетинок ab 25 и 29 сегментов имеются хорошо развитые папиллы. Седловидный поясок занимает 25—30 сегменты. Стенки пояска депигментированы до линии щетинок d. Пубертатные валики расположены на 1/3 26—1/2 29 или на 26—29 сегментах.

Крупные семенные пузырьки расположены в 9, 11, 12 сегментах. Семеприемники находятся в 10, 11 сегментах, их протоки открываются на спинной стороне выше щетинок d (расстояние от линии щетинок d до отверстий семеприемников составляет 0,25 мм).

Пищевод в 10—13 сегментах имеет пластинчатую структуру. Последняя пара сердец в 11 сегменте. Воронки семепроводов свободные, они расположены в 10 и 11 сегментах. Зоб занимает 15—16, а мускулистый желудок 17—18 сегменты.

Итак, отмеченные выше сходства и различия между *D. hyrcanica* sp. nov. и *D. schelkovnikovi* приводят нас к мысли, что они являются видами симптического происхождения. Дождевые черви *D. hyrcanica* sp. nov. и *D. schelkovnikovi*, вероятно, образовались в третичном периоде и могут рассматриваться как реликт того времени.

## ЛИТЕРАТУРА

- Бабабекова Л. А. Зоол., 44, 3, 344—347, 1965.
- Догель В. А. Общая паразитология, Изд-во ЛГУ, Л., 1962.
- Дроздов Н. Н. В сб.: Заповедники Советского Союза, «Колос», М., 1969.
- Гулисашвили В. З. Природные зоны и естественно-исторические области Кавказа. «Наука», М., 1964.
- Клименко В. В. Мат. научн. конф. ВОГ АН ССР, 1966, 114—118.
- Клименко В. В. Бюлл. Всесоюзн. ин-та гельминтологии им. К. И. Скрябина, 1, 61—62, 1967.
- Клименко В. В., Величко И. В. Паразитология, 6, 3, 291—296, 1972.
- Перель Т. С. Pedobiologia, 7, 93—120, 1967.
- Рыжиков К. М. Acta Parasitologica Lituanica, 4, 3—8, 1976.
- Davis B. Ann. N. Y. Acad. Sci., 121, 404—427, 1964.
- Michaelsen W. Mitteilungen des Kaukasischen Museums, 3, 2—3, 81—93, 1907.
- Michaelsen W. Ann. Mus. Acad. Sci. Saint-Petersbourg, 15, 1—74, 1910.

## *DENDROBAENA SCHELKOVNIKOVI*-ის (MICHAELSEN, 1907)

სახეობრივი დამოტკიცებლობის შესახებ და პიაცველას აჩალი  
სახეობა ჰირკანის ნაძრძალიდან

თ. კვავაში, ქ. ნიკოლაიმალი

სეირთველოს სსრ მეცნიერებათა აკადემიის ზოოლოგიის ინსტიტუტი, თბილისი

რეზიუმე

ჰირკანის ნაკრძალის ტერიტორიაზე რეგისტრირებულია ჭიათულების 12 სახეობა. იღწერილია ჭიათულის ახალი სახეობა *Dendrobaena hyrcanica* sp. nov., ხოლო *Dendrobaena schelkovnikovi* (Mich., 1907) დამოუკიდებელ სახეობადაა აღდგენილი.

დისკ-ელექტროფორეზის მეთოდით (7,5% პოლიაკრილამიდის გელში)  
დადგენილ იქნა *D. schelkovnikovi* და *D. hyrcanica* sp. nov. ცილების სპეციალური  
განსხვავებულობა.

ON THE SPECIES INDEPENDENCE OF *DENDROBAENA SCHELKOVNIKOVI* (MICHAELSEN, 1907) AND A NEW SPECIES OF EARTH WORM FROM THE HIRCAN RESERVE

E. Sh. KVAVADZE, K. G. NIKOLAISHVILI

Institute of Zoology, Georgian Academy of Sciences, Tbilisi, USSR

Summary

On the territory of the Hirican reserve 12 species of earth worms were registered. A new species *Dendrobaena hyrcanica* sp. nov. was described and independence of *Dendrobaena schelkovnikovi* (Mich., 1907) restored. The disc electrophoresis on 7,5% polyacrylamide gel demonstrated differences in the protein spectrum of extracts.

Earth worms *Eisenia schelkovnikovi* var. *veliensis* Mich., 1910, *E. schelkovnikovi* var. *bakuensis* Mich., 1910 and *Dendrobaena fedtschelnikoi* var. *lenkoranensis* Mich., 1910 are the synonyms of *D. schelkovnikovi* (Mich., 1907).

УДК 564.53:551.762

ПАЛЕОБИОЛОГИЯ

## ФИЛОГЕНЕТИЧЕСКИЕ СВЯЗИ ГЕКТИКОЦЕРАТИН

Т. А. Ломинадзе

Институт палеобиологии им. Л. Ш. Давидашвили АН СССР, Тбилиси

Поступила в редакцию 15.1.1980

На основании изучения онтогенеза лопастной линии установлен филогенетический ряд Hammatoceratinae—Oppeliinae—Hecticoceratinae. Дальнейшее развитие гектикоцератин шло, по-видимому, по направлению Ochetoceratinae, Distichoceratinae и Taramelliceratinae.

Вопрос о происхождении и систематическом положении подсемейства гектикоцератин всеми исследователями решается однозначно. Данное подсемейство произошло от оппелиин и должно быть включено в семейство Oppeliidae.

Сравнение онтогенеза скульптуры, лопастной линии и формы по-перечного сечения (принимая во внимание их стратиграфическую преемственность) приводит нас к выводу о правильности такого предположения [2, 3].

Онтогенез лопастной линии рода *Oppelia* на примере *Oppelia ex. gr. subradiata* (Sow.) был изучен Н. В. Безносовым [1, рис. 8] и Шиндевольфом [8, рис. 211]. Представители этого рода в процессе онтогенеза проходят стадию, характерную для всего семейства Oppeliidae (включая подсемейство Hecticoceratinae),  $(V_1V_1) UU^1U^2U^3U^4I_1I_2D$ , однако в дальнейшем образуются еще многочисленные умбрикальные лопасти. Конечная формула лопастной линии имеет вид:  $(V_1V_1) UU^1U^2U^3U^4U^6U^8U^{10}:U^9U^7U^5I_1I_2D$ .

Другой представитель оппелиин—род *Paroecotraustes* [8, рис. 212] развивается по типу:  $(V_1V_1) UU^1ID-(V_1V_1) UU^1U^2:I_1I_2D-(V_1V_1) UU^1U^2U^3U^4I_1I_2D$ , однако в дальнейшем, в отличие от гектикоцератин, лопасть  $U^4$  смещается на внутреннюю сторону оборота и конечная формула лопастной линии принимает вид:  $(V_1V_1) UU^1U^2U^3U^5U^6:U^4I_1I_2D$ .

У рода *Oxycerites* [8, рис. 214] развитие лопастной линии в онтогенезе идет по типу:  $(V_1V_1) UU^1ID-(V_1V_1) UU^1U^2:I_1I_2D-(V_1V_1) UU^1U^2U^3U^4I_1I_2D-(V_1V_1) UU^1U^2U^3U^5U^6I_1I_2D-(V_1V_1) UU^1U^2U^3U^5U^7:U^6U^4I_1I_2D$ .

Имеющийся в нашем распоряжении материал по гектикоцератинам, к сожалению, довольно плохой сохранности и поэтому изучение филогенетического развития лопастной линии было связано с большими трудностями, однако общий ход развития этой структуры у представителей данного подсемейства, по нашему мнению, вырисовывается довольно четко.

БИОЛОГИЧЕСКАЯ  
СЕРИЯ

Под *Putealiceras* Buckman. Разворнут обр. 1168 (рис. 1), принадлежащий к виду *Putealiceras (Zieteniceras) zieteni* (Tsytt.).

Первые лопастные линии нам не удалось зарисовать. При толщине оборота 2,6 мм линия имеет уже семь лопастей: V (которая в свою очередь разделена на две симметричные лопасти  $V_1$ ,  $V_1$ ), пупковую (U), первую пупковую ( $U^1$ ), вторую пупковую ( $U^2$ ), внутреннюю боковую I, разделенную на две лопасти  $I_1$ ,  $I_2$ , и спинную (D). Формула лопастной линии при данной толщине имеет вид:  $(V_1V_1) UU^1U^2:I_1I_2D$ .

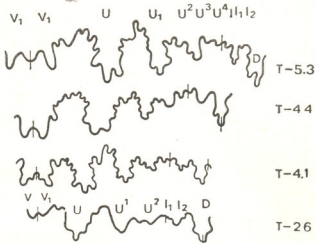


Рис. 1. Омогенетическое развитие лопастной линии *Putealiceras (Zieteniceras) zieteni* (Tsytt.), обр. 1168, р. Черек Балкарский, средний юрловей (увел. от 20 до 2)

До  $T=4,4$  мм новые элементы в строении лопастной линии не возникают. Лишь внутренняя боковая лопасть  $I_1$  обособляется и располагается почти у самого пупкового шва. В промежутке между  $T=4,4$  мм и  $T=5,3$  мм возникают еще две пупковые лопасти  $U^3$  и  $U^4$ . Конечная формула линии:  $(V_1V_1) UU^1U^2U^3U^4:I_1I_2D$ .

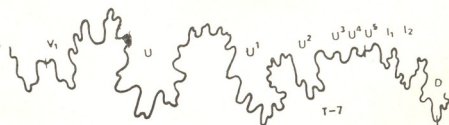


Рис. 2. Лопастная линия *Putealiceras (Putealiceras) sp.*, обр. 543, г. Мессина, средний юрловей (увел. 4)

Нам удалось зарисовать последнюю лопастную линию у обр. 543—*P. (Putealiceras) sp.* (рис. 2). Формула имеет такой вид:  $(V_1V_1) UU^1U^2U^3U^4:U^5I_1I_2D$ .



У вида *P. (P) punctatum* (Stahl.) онтогенез лопастной линии довольно детально был изучен Шиндевольфом [8, рис. 222]. Исходя из рисунка, предложенного этим исследователем, линия имеет вид:  $(V_1 V_1) U U^1 U^2 U^3 U^4 : I_1 I_2 D$ .

Род *Lunuloceras* Bonarelli. Изучены последние лопастные линии у обр. 1169—*L. (Lunuloceras)* sp. (рис. 3).

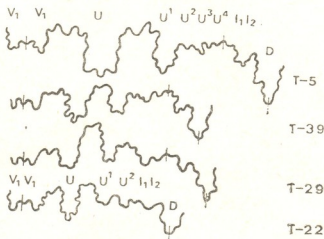


Рис. 3. Онтогенетическое развитие лопастной линии *Lunuloceras* (Lunuloceras) sp., обр. 1169, р. Ардон, средний келловей (увел. 12)

При толщине оборота 2,2 мм линия имеет семь лопастей и формула лопастной линии принимает вид:  $(V_1 V_1) U U^1 U^2 : I_1 I_2 D$ .

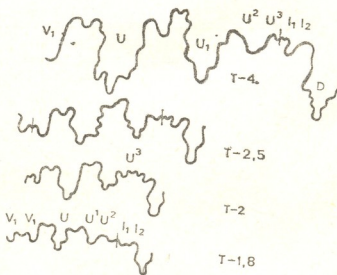


Рис. 4. Онтогенетическое развитие лопастной линии *Brightia* sp., обр. 1270, р. Чегем, средний келловей (увел. 12)

При  $T=2,9$  мм на внешней стороне оборота в вершине седла  $U^2/I_1$  появляется новая пупковая лопасть  $U^3$ . При  $T=3,5$  мм на пупковом шве

закладывается лопасть  $U^4$ , которая в дальнейшем ( $T=5$  мм) смещается к наружной стороне. Конечная формула лопастной линии имеет вид:  $(V_1V_1)UU^1U^2U^3U^4:I_1I_2D$ .

Род *Brightia* Rollier. Развернуты обр. 1270 и 1271—*Brightia* sp. В этих случаях нам не удалось наблюдать самые последние линии, однако все же отчетливо видно, что развитие в онтогенезе идет тем же путем, что и в вышеписанных случаях (рис. 4, 5).

Детальное изучение развития лопастной линии в онтогенезе у *Brightia brighti* (Pratt) было проведено Пальфраманом [7, рис. 8]. Исходя из рисунка, предложенного этим исследователем, конечная формула линии для данного вида имеет вид:

$(V_1V_1)UU^1U^2U^3U^4:U^5I_1I_2D$ .

Таким образом, для всех представителей подсемейства гектикоцератин наблюдается совершенно одинаковый ход развития лопастной линии в онтогенезе. Развитие идет путем вычленения умбиликальных лопастей ( $U$ ) и двуцелевого деления внутренней боковой лопасти I ( $I_1I_2$ ).

Для большинства гектикоцератин характерна формула лопастной линии  $(V_1V_1)UU^1U^2U^3U^4:I_1I_2D$ ; у некоторых видов рода *Brightia* и подрода *Putealiceras* s. str. на внутренней стенке обворота возникает еще лопасть  $U^5$  и формула лопастной линии принимает такой вид:  $(V_1V_1)UU^1U^2U^3U^4:U^5I_1I_2D$ .

Необходимо отметить, что для гектикоцератин характерной чертой является короткая двураздельная лопасть ( $V_1V_1$ ). Эта лопасть всегда значительно короче пупковой лопасти  $U$ .

Сопоставляя план развития лопастной линии у представителей родов *Oppelia*, *Paroecotraustes*, *Oxycerites* (подсемейство Oppeliinae), с одной стороны, и представителей *Hecticoceratinæ*—с другой, мы видим, что в процессе онтогенеза Oppeliinae и Hecticoceratinæ проходят стадию, соответствующую формуле лопастной линии:  $(V_1V_1)UU^1U^2U^3U^4:I_1I_2D$ . Однако у гектикоцератин деление внутренней боковой лопасти I на две части ( $I_1I_2$ ) начинается на более ранних диаметрах; кроме того, на внешней стороне обворота у гектикоцератин имеется не более шести умбиликальных лопастей, тогда как у представителей подсемейства Oppeliinae количество таковых всегда больше.

На внутренней стороне обворота у гектикоцератин присутствуют, главным образом, две внутренние боковые ( $I_1I_2$ ) и дорсальная ( $D$ ) лопасти, а у представителей *Brightia* и *Putealiceras* имеется и очень маленькая лопасть  $U^5$ . У оппелин же большей частью на внутренней стороне, кроме двух внутренних боковых ( $I_1I_2$ ) и дорсальной ( $D$ ) лопастей, имеются еще три умбиликальные лопасти. Лишь у рода *Paroec-*

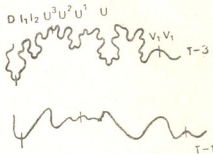


Рис. 5. Онтогенетическое развитие лопастной линии *Brightia* sp., обр. 1271, р. Черек Балкарский, средний келловей (увелич. 10)

*cotraustes*, так же как и у некоторых гектикоцератин, на внутреннюю сторону оборота смещается одна умбиликальная лопасть, но не  $U^5$ , последняя для гектикоцератин в процессе онтогенеза, а  $U^4$ , после которой на внешней стороне оборота возникают еще лопасти  $U^5$  и  $U^6$ .

Таким образом, гектикоцертины возникли от опеплиин путем утраты нескольких пупковых лопастей.

Дальнейшее развитие гектикоцератин идет, вероятно, по направлению *Ochetoceratinae*, *Distichoceratinae* и *Taramelliceratinae*.

Изучение развития лопастной линии в онтогенезе у представителей подсемейства *Ochetoceratinae* было проведено Шиндевольфом [8, рис. 225—227] на примере *Campylites delmontanus* (Opp.) и *C. cf. villersi* (Roll.).

Развитие лопастной линии рода *Campylites* происходит по типу:

$$(V_1 V_1) UU^1 : ID - (V_1 V_1) UU^1 : I_1 I_2 D - (V_1 V_1) UU^1 U^2 U^3 U^4 I_1 I_2 D - (V_1 V_1) UU^1 U^2 U^3 U^5 : U^4 I_1 I_2 D.$$

Сравнивая план развития лопастной линии в онтогенезе с таковым *Hecticoceratinae*, мы видим полную идентичность до стадии, соответствующей формуле  $(V_1 V_1) UU^1 U^2 U^3 U^4 I_1 I_2 D$ ; в дальнейшем у *Ochetoceratinae* лопасть  $U^4$  смещается на внутреннюю сторону оборота, а на внешней стороне появляется новая лопасть  $U^5$ .

У *Distichoceratinae* [8, рис. 228—229; 6, рис. 8] развитие лопастной линии в онтогенезе идет тем же путем, что и для гектикоцератин. На примере *Distichoceras bipartitum* (Ziet.) развитие представляется следующим образом:  $(V_1 V_1) UU^1 ID - (V_1 V_1) UU^1 : I_1 I_2 D - (V_1 V_1) UU^1 U^2 U^3 U^4 : U^5 I_1 I_2 D - (V_1 V_1) UU^1 U^2 U^3 U^4 U^7 : U^6 U^5 I_1 I_2 D$ .

Представитель этого подсемейства, род *Nogioceras*, развивается по такому же типу [8, рис. 229—230].

Подсемейство *Taramelliceratinae*. Онтогенез лопастной линии был изучен Шиндевольфом [8, стр. 383] и Пальфраманом [5, стр. 290]. Развитие идет по типу:  $(V_1 V_1) UU^1 : I_1 I_2 D - (V_1 V_1) UU^1 U^2 U^3 U^4 : I_1 I_2 D$  (род *Taramellceras*);  $(V_1 V_1) UU^1 U^2 U^3 : U^4 I_1 I_2 D$  (род *Proscaphites*);  $(V_1 V_1) UU^1 U^2 U^3 U^4 U^6 : U^5 I_1 I_2 D$  (род *Richeiceras*);  $(V_1 V_1) U^7 U^2 U^3 U^4 U^6 : U^7 U^5 I_1 I_2 D$  (род *Creniceras*).

Таким образом, для рассматриваемых групп аммонитов характерна сходная последовательность вычленения умбиликальных лопастей до стадии, соответствующей формуле  $(V_1 V_1) UU^1 U^2 U^3 U^4 I_1 I_2 D$ , и двукратное деление внутренней боковой лопасти I. Кроме того, у всех этих групп в процессе онтогенеза центральная лопасть укорачивается и в конечных стадиях V всегда значительно короче умбиликальной лопасти U, а лопасть  $U^3$  всегда находится на внешней стороне оборота. Эти признаки позволяют объединить эти подсемейства в семейство *Oppeliidae*.

Онтогенез других структур был изучен Пальфраманом [5, 6, 7] для подсемейств *Taramelliceratinae*, *Distichoceratinae*, *Hecticoceratinae*, а также нами [3] для гектикоцератин.

По всем основным морфологическим признакам представители этих подсемейств на начальных стадиях развития не отличаются друг



от друга. Схожи даже размеры протоконха, приведенные в работах Пальфрамана (таблица).

Большинство исследователей семейство Oppeliidae включает в надсемейство Haploceratoidea. По данным Шинdevольфа [8] данное надсемейство объединяет формы с довольно отчетливым килем и серповидными ребрами; лопастная линия с многочисленными умбикальными лопастями, лопасть  $U^3$  может находиться как на внешнем, так и внутреннем краях; внутренняя боковая лопасть не расчлененная.

Семейство опелиид Шинdevольф относит к надсемейству Hammatooceratoidea на основании якобы расщепленной внутренней боковой лопасти.

Мы не разделяем точку зрения Шинdevольфа относительно отнесения Oppeliidae к надсемейству Hammatooceratoidea. По данным самого Шинdevольфа последнее надсемейство объединяет группы с сильно расщепленной внутренней боковой лопастью, а лопасть  $U^3$  большей частью находится на внутренней стороне оборота.

Как было показано, у опелиид (включая подсемейство гектикоцератин) умбикальная лопасть  $U^3$  находится на внешней стороне оборота, а внутренняя боковая лопасть разделена лишь на две части.

Как справедливо указывают Кулман и Видман [4], между расчлененной и нерасчлененной внутренней боковой лопастью I наблюдается сильное колебание и вторично возникшая нерасчлененная внутренняя боковая лопасть также может расчленяться снова. Мы вполне согласны с этим заключением. Такая картина наблюдается в многочисленных филогенетических ветвях.

Таблица

Размеры протоконха

Род	Д	Т
Tarameliceras	0,27 — 0,30	0,38 — 0,42
Greniceras	0,28 — 0,30	0,40 — 0,42
Distichoceras	0,27 — 0,29	0,44 — 0,48
Horioceras	0,24 — 0,30	0,40 — 0,48
Brightia	0,30 — 0,36	0,41 — 0,50

По нашему мнению, надсемейство Haploceratoidea объединяет два семейства: Haploceratidae и Oppeliidae. Семейство Haploceratidae (с подсемействами Strigceratinae, Haploceratinae, Phlicticeratinae, Mzapilitinae, Streblitinae) характеризуется нерасчлененной внутренней боковой лопастью, умбикальные лопасти многочисленные, лопасть  $U^3$  всегда находится на внутренней стороне оборота. Семейство Oppeliidae (с подсемействами Oppeliinae, Hecticceratinae, Ochetoceratinae, Distichoceratinae, Taramelliceratinae) характеризуется многочисленными умбикальными лопастями, лопасть  $U^3$  всегда находится на наружной стороне оборота, внутренняя боковая лопасть разделена на две части.

Шинdevольф считает, что Oppeliidae возникли от Hammatoceratinae. Изучение лопастной линии представителей данного подсемейства было проведено Н. В. Безносовым [1, рис. 5] на примере *Hammatoceras* sp. и Шинdevольфом [8, рис. 190—192] на примере *Hammatoceras insigne* (Ziet.), *H. speciosum* Jeap., *Spinhammatoceras pungnax* (Vac.).

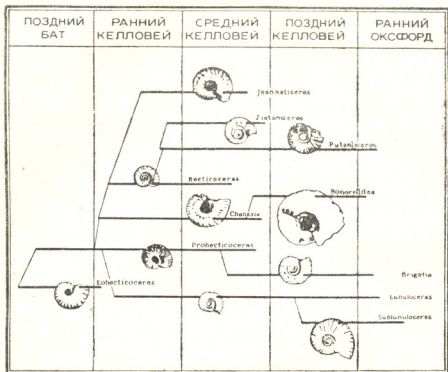


Рис. 6. Схема филогенетического развития подсемейства Hecticoceratinae

Из анализа данных этих исследователей следует, что усложнение лопастной линии в онтогенезе у представителей этого подсемейства происходит путем вычленения умбиликальных лопастей и очень раннего деления внутренней боковой лопасти на две части. Как уже было показано нами, так же происходит и с представителями семейства Oppeliidae, однако у Hammatoceratinae в отличие от них лопасть  $U^3$  зарождается на внутренней стороне оборота и только в дальнейшем, в редких случаях, смещается к наружной стороне. Таким образом, единый план развития лопастной линии в онтогенезе позволяет рассматривать представителей подсемейства Hammatoceratinae как непосредственных предков семейства Oppeliidae.

Семейство Haploceratidae возникло, по-видимому, от других представителей семейства Hammatoceratidae с неразделенной на две части внутренней боковой лопастью.

Довольно большой интерес представляют внутриподсемейственные связи гектикоцератин. Как уже было показано, все представители этого подсемейства характеризуются формулой лопастной линии, имеющей вид  $(V_1 V_1) U U^1 U^2 U^3 U^4 I_1 I_2 D$ . Лишь у *Brightia* и *Putealiceras* s. str. с внутренней стороны оборота появляется маленькая лопасть  $U^5$ .



В процессе исторического развития лопастная линия гектикоцератинов изменяется незначительно и сохраняет в основном сходные очертания элементов с лопастными линиями своего непосредственного предка — представителей рода *Oppelia*, хотя и утрачивает многочисленные умбрикальные лопасти. Стратиграфически более молодые индивиды имеют более тонкие и стройные элементы [2].

Эти незначительные изменения, хотя и прослеживаются в процессе филогенеза, непригодны ни для систематики, ни для восстановления филогенетических связей внутри подсемейства гектикоцератинов.

Для этой цели нами были использованы, главным образом, скульптура и форма раковины этих животных [3].

На рис. 6 нами графически изображены филогенетические связи внутри подсемейства *Hecticoceratinae*.

## ЛИТЕРАТУРА

- Безносов Н. В. Палеонтол. ж., 1, 29—44, 1960.
- Ломинадзе Т. А. Сообщения АН ГССР, 43, 2, 395—401, 1966.
- Ломинадзе Т. А. Келловейские гектикоцератины Северного Кавказа, «Мецните-реба», Тбилиси, 1975.
- Küllmann J., Wiedmann J. The Univ. of Kansas, Pal. contr., 15, 47, 1—32, 1970.
- Palframan D. Paleontology, 9, 2, 290—311, 1966.
- Palframan D. Paleontology, 10, 1, 60—94, 1967.
- Palframan D. Inter. Union Geol. Sci., Ser. A, 1, 126—154, 1969.
- Schindewolf O. Abh. Math. Nat. Kl. Akad. Wiss. u. Liter., IV, III, 261—406, 1963.

## ეპთიკოცერატინების ფილოგენიური კავშირები

### თ. ლომინაძე

საქართველოს სსრ მეცნიერებათა აკადემიის ლ. დავითაშვილის სახელობის ჯლეობითოლოგიური ინსტიტუტი, თბილისი

### რეზიუმე

ტიხინის ხაზის ონტოგენეზური შესწავლის საფუძველზე დადგენილ იქნა ფილოგენური რიგი: *Hammatoceratinae*—*Oppeliinae*—*Hecticoceratinae*. შემდგომი განვითარება, როგორც ჩანს, *Ochetoceratinae*, *Distichoceratinae* და *Taramelliceratinae*-ს მიმართულებით მიმდინარეობდა.

## PHYLOGENETIC CONNECTIONS OF *HECTICOERATINAE*

T. A. LOMINADZE

L. Sh. Davitashvili Institute of Paleobiology, Georgian Academy of Sciences, Tbilisi, USSR

### Summary

Study of the ontogenetic development of suture line has led to the conclusion that the course of phylogeny seems to be as follows: *Hammatoceratinae*—*Oppeliinae*—*Hecticoceratinae*. Further development follows towards *Ochetoceratinae*, *Distichoceratinae* and *Taramelliceratinae*.

УДК 576.8.093.31

МИКРОБИОЛОГИЯ

## АНТИБАКТЕРИАЛЬНЫЕ СВОЙСТВА АРТЕРИЙ, ПОСЛЕДОВАТЕЛЬНО ОБРАБОТАННЫХ ТРИПСИНОМ И АНТИБИОТИКАМИ

Н. Г. Гогиашвили, Э. Я. Нациашвили

Научно-исследовательский институт экспериментальной и клинической хирургии  
им. акад. К. Д. Эристави, Тбилиси

Поступила в редакцию 28.12.1979

Артерии, последовательно обработанные трипсином и антибиотиками, приобретают пролонгированные антибактериальные свойства за счет способности коллагена к комплексообразованию. Особый интерес составляет возможность комплексообразования с гентамицином, обладающим широким спектром действия, бактерицидными свойствами, а следовательно стойкостью эффекта, и редким развитием побочных явлений.

Сосуды, подготовленные подобным образом, могут быть рекомендованы для клинического использования.

Реконструктивная хирургия сосудов последних лет характеризуется использованием биологически активных протезов, т. е. протезов, сохраняющих форму, обеспечивающих функцию поврежденного органа и обладающих направленным воздействием на окружающие ткани (антитромбогенным, антимикробным и др.).

В лаборатории микрохирургии НИИ экспериментальной и клинической хирургии МЗ ГССР в этих же целях используются артериальные ксенотрансплантаты, обработанные протеолитическими ферментами [1]. Перспективность подобных протезов обусловлена устойчивостью нативных белков коллагеновой группы к действию протеиназ, их способностью к резорбции при имплантации в организм и слабой антигенностью.

Данные литературы о взаимодействии белков, в том числе коллагена, с антибиотиками чрезвычайно скучны. Так, по материалам Б. Н. Соловьева [5], введенный в организм антибиотик, в частности тетрациклин, связывается белками плазмы. А. Ф. Дроновым [2], И. А. Сыченниковым [6], Т. Г. Руденко [4] показана способность белка соединительной ткани — коллагена — к комплексообразованию с тетрациклином с сохранением последним биологической активности. С целью создания изилучших условий для комплексообразования авторами использован растворенный коллаген дермы крупного рогатого скота с последующим его осаждением ацетоном.

В задачу данного исследования входило изучение возможности комплексообразования коллагена стенки артерий, обработанных протеолитическими ферментами, с различными антибиотиками, а также изучение антибактериальных свойств подобных бактерий.

## МАТЕРИАЛ И МЕТОДЫ ИССЛЕДОВАНИЯ

Обработанные трипсином и тщательно промытые проточной водой артерии (бычья) на 24 ч погружали в раствор антибиотика различной концентрации (50—100000 ед./мл.). Затем артерии в течение 2 ч — 28 суток вновь промывали проточной водой.

Антибактериальные свойства артерий изучали методом диффузии в агар. «Диском» служил поперечный сегмент длиной 2 мм выдержаных в растворе антибиотика артерий; «диски» накладывали на поверхность агара в чашки Петри, залитые 1-миллиардной суспензией 18-часовой культуры эталонных штаммов стафилококка (*Staph. aureus* № 206) или эшерихий (*Esch. coli* № 1157)<sup>1</sup>.

Контролем служил сегмент артерий, обработанных только трипсином.

Для изучения зависимости между степенью антибактериальной активности артерий и массивностью инфекции (плотность суспензии — количество микробных клеток в мл среды) использовали метод серийных двукратных разведений бактериальных культур. Плотность культур соответствовала пределу  $2 \times 10^9$ — $1 \times 10^2$  микробных тел в мл. В каждую пробирку вносили 2 мл бульонной суспензии и сегмент артерии. Контрольными служили пробирки с 2 мл суспензии соответствующей плотности в каждой и сегментом аналогичных, но необработанных антибиотиком артерий.

Через 18—24 ч инкубации в термостате при температуре 37°C определяли (в %) светопроницаемость опытных суспензий в сравнении с контрольными.

В опытах использовали следующие антибиотики: мицерин стрептомицин, пенициллин, эритромицин, тетрациклин, олетьетрин, слеандомицин, гентамицин, сиагмомицин.

## РЕЗУЛЬТАТЫ ИССЛЕДОВАНИЯ

Артерии, последовательно обработанные протеолитическим ферментом (трипсином) и антибиотиком, приобретали антибактериальные свойства. Контрольные артерии, обработанные только трипсином, не проявляли никаких антибактериальных свойств. Подтверждением сканного служит наличие зон задержки роста бактериальных культур в опыте и отсутствие таковых в контроле (рис. 1).

Антибактериальные свойства опытных артерий зависели от вида используемого антибиотика. Наибольшую активность проявили артерии, обработанные тетрациклином, олетьетрином и гентамицином, наименьшую — обработанные пенициллином и левомицетином. Последние полностью утрачивали antimикробные свойства уже после 4—6 ч промывания, тогда как первые сохраняли активность и после 15—25-дневных промываний проточной водой.

Последующие опыты были проведены с тетрацикливом, олетьетрином и гентамицином (рис. 2).

Степень антибактериальной активности артерий по интенсивности и продолжительности реакции во времени зависела от исходной концентрации антибиотика. Эта зависимость носила прямо пропорциональный характер: чем выше концентрация антибиотика в исходном растворе, тем дольше артерии сохраняли антибактериальную активность. Так, при концентрации тетрациклина на уровне 50 ед./мл артерия сохраняла антибактериальную активность в течение 6 дней, при концент-

<sup>1</sup> Этапонные штаммы стафилококка и эшерихий получены из Всесоюзного НИИ дезинфекции и стерилизации.

рации, равной 10000 ед/мл, — 24 дня. В аналогичных условиях артерии, обработанные олетецином, проявляли антимикробные свойства в течение 5 и 21 дня соответственно. При содержании гентамицина в исходном растворе, равном 50 ед, антибактериальные свойства артерий сохранялись в течение 6 дней, 3000 ед — в течение 18 дней. Следует

отметить, что повышение концентрации тетрациклина и олетецина в исходном растворе с 50 до 5000 ед/мл незначительно отражалось на сроках сохранения артериями антибактериальных свойств; повышение концентрации с 5000 ед/мл до 10000 ед/мл приводило к значительному пролонгированию антибактериальной активности, дальнейшее же насыщение раствора антибиотиком уже не вызывало адекватного усиления эффекта.

Зависимость степени антимикробной активности артерий от сроков промывания носила обратный характер. Например, при 2—6-дневном промывании артерии проявляли высокую антибактериальную активность. В этих случаях диаметр зоны угнетения роста («стерильных пятен») равнялся 20—23 мм. При удлинении сроков промывания антибактериальная активность артерий носила умеренный характер, диаметр зоны угнетения роста уменьшался до 12—15 мм.

Рис. 1. Антибактериальные свойства ксенотрансплантатов («стерильные пятна»), последовательно обработанных трипсином и антибиотиками. К — контроль — ксенотрансплантат, обработанный трипсином

Самую высокую антибактериальную активность проявляли артерии, выдержаные в растворе гентамицина. Дольше всех высокую ан-

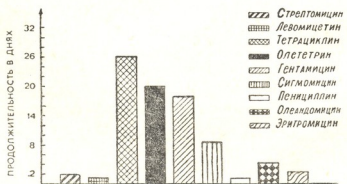


Рис. 2. Зависимость продолжительности сохранения ксенотрансплантатами антибактериальных свойств от вида антибиотика

тибактериальную активность сохраняли артерии, пропитанные гентамицином и олетецином; умеренную — тетрациклином.

И, наконец, на степень антибактериальной активности ксенотрансплантатов влияла массивность инфекции.

В опытах с артериями, обработанными тетрациклином, угнетение роста культуры стафилококка плотностью  $2 \times 10^9$  составило всего 46%; по мере падения плотности культуры отставание в росте становилось заметнее и достигало максимума (92%) при плотности, равной  $1 \times 10^2$ . Артерии, обработанные тетрациклином, не угнетали рост и размножение культуры эшерихий при плотности  $2 \times 10^9$ . В этих случаях в пробирках отмечали прирост плотности суспензии, то есть накопление микробных тел в среде, подобное тому, как это имело место в контроле культуры. В опытах с плотностью суспензии эшерихий, равной интервалу  $1 \times 10^9$ — $1 \times 10^2$ , отставание в росте варьировало в пределах 10—88% (рис. 3).

Таблица 1

Зависимость сроков сохранения артериями антибактериальных свойств (в днях) от концентрации антибиотика в исходном растворе

Антибиотик	Концентрация в ед./мл								
	50	100	200	500	1000	3000	5000	10000	100000
Тетрациклин	6	7	8	8	9	—	10	24	25
Оллететрин	5	6	6	7	8	—	9	21	22
Гентамицин	6	6	7	9	12	18	—	—	—

Артерии, обработанные гентамицином, оказывали бактериостатическое действие на культуру стафилококка плотностью  $2 \times 10^9$ — $5 \times 10^5$  микробных тел в мл и бактерицидное действие при плотности, равной  $2.5 \times 10^5$ , или меньшей. В опытах с суспензией эшерихий бактериостатический эффект имел место при плотности в пределах  $2 \times 10^9$ — $6 \times 10^7$ , а бактерицидный — при плотности  $3 \times 10^7$  и меньшей.

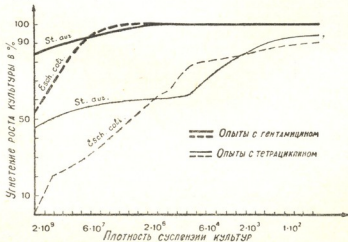


Рис. 3. Корреляция между степенью antimикробной активности ксенотрансплантата и плотностью бактериальной суспензии

Подводя итог проделанной работе, следует отметить, что артерии, последовательно обработанные трипсином и некоторыми антибиотиками, приобретают антибактериальные свойства, пролонгированные во



времени. Способность растворенного коллагена к комплексообразованию с тетрациклином и длительное сохранение последним биологической активности являются основанием для предположения подобной возможности и в отношении коллагена обработанных трипсином артерий. Сохранение подобными артериями антибактериальных свойств в течение 15–25 дней указывает как на адсорбцию, так и на абсорбцию антибиотиков с возникновением динамических связей между ними и активными группами боковых цепей коллагена [7].

Таблица 2

Зависимость степени антибактериальной активности артерий от сроков промывания

Название антибиотика	Степень антибактериальной активности артерий (диаметр зоны угнетения роста в мм)		
	высокая (25–21)	умеренная (20–15)	низкая (>15)
Тетрациклин	1–2 дня	3–9 дней	20–24 дня
Олетецирин	1–4 "	5–11 "	12–18 дней
Гентамицин	1–4 "	5–6 "	7–18 дней

В наших случаях оптимальная концентрация тетрациклина и олетецирина соответствовала 10000 ед/мл, гентамицина — 3000 ед/мл. Видимо, этих концентраций достаточно для насыщения указанными антибиотиками всех активных групп коллагена.

Очень интересна способность коллагена стенки артерий к комплексообразованию с гентамицином, характеризующимся наиболее широким спектром действия, стойкостью эффекта и редким развитием побочных реакций. И действительно, отрезки артерий, пропитанные гентамицином, оказывали высокий бактериостатический и бактерицидный эффект в отношении массивной инфекции; в этих же условиях артерии, обработанные тетрациклином, либо вообще не задерживали рост и размножение спиральных культур, либо задерживали их незначительно. Высокая антибактериальная активность артерий, обработанных олетецирином, надо полагать, является следствием комбинирования антибиотиков [3].

Результаты проведенных исследований позволяют нам рекомендовать артерии, последовательно обработанные трипсином и антибиотиком (гентамицином, тетрациклином, олетецирином), для внедрения в клинику с целью трансплантации.

## ЛИТЕРАТУРА

- Иоселиани Г. Д., Бокуа Н. К., Чичинадзе Н. М., Абзианидзе Г. А. Изв. АН ГССР, сер. биол., 5, 2, 118–125. 1979.
- Дронов А. Ф. Пластика аорты комбинированными протезами повышенной биологической порозности. Автореф. канд. дисс., М., 1970.
- Навашин С., Фомина И. Современные антибиотики. Показания и принципы лечения, Мед. газета, 10 (3832), 3, 1979.
- Руденко Т. Г. Коллаген-тетрациклический комплекс. Изучение свойств и практическое применение. Автореф. канд. дисс., М., 1973.
- Соловьев В. Н. Действие антибиотиков в тканях организма, «Медицина», М., 1968.
- Сыченников И. А. Шов и пластика артерий в условиях асептики и инфицированной ране. Автореф. докт. дисс., М., 1972.
- Хилькин А. А., Шехтер А. Б., Истронов Л. П., Леменев В. Л. Коллаген и его применение в медицине, «Медицина», М., 1976.

ტრიცისინითა და ანტიბიოტიკებით დამზადებული  
პრტირივბის ანტიბაქტერიული თვისებები

ნ. გოგინაშვილი, ე. ნაციაშვილი

საქართველოს სსრ ჯაშრითოლობის დაცვის სამინისტროს კ. ერისთავის სახელობის  
ექსპერიმენტული და კლინიკური ქიმურგიის ინსტიტუტი, თბილისი

რეზიუმე

წარის არტერიების სეგმენტები, ფერ ტრიფსინითა და მერე ანტიბიოტიკებით დამუშავების შემდეგ, გახანგრძლივებულ ანტიბაქტერიულ თვისების ამ-  
ფავნებენ იმის შედეგად, რომ კოლაგენს გააჩნია კომპლექსურმოქმნის უნარი. განსაკუთრებით სინტერესო, რომ კოლაგენს შესწევს კომპლექსურმოქმნის უნარი გრძამიცინთან, რომელსაც ბაქტერიციდული მოქმედების ფართო სპექტრი აქვს. ეს ეფექტი მდგრადია და გეერლითი მოვლენები ნაკლებად იჩენს თავს. ამ არტერიათა სეგმენტების მსგავსი არტერიული სეგმენტები შეიძლება გმოვყენებულ იქნას კლინიკაში.

## ANTIBACTERIAL PROPERTIES OF ARTERIES TREATED SUCCESSIVELY WITH TRYPSIN AND ANTIBIOTICS

N. G. GOGINASHVILI, E. Ya. NATSIASHVILI

Institute of Experimental and Clinical Surgery, Georgian Ministry of Health,  
Tbilisi, USSR

### Summary

Bovine arterial segments treated with trypsin and antibiotics acquire prolonged antibacterial properties due to the ability of collagen to form complexes. Special interest is attributed to the possibility of forming complexes with gentamycin possessing wide spectrum of action, bactericidal properties and, consequently, showing stability of effect and low incidence of adverse reactions.

Such arterial segments may be recommended for clinical use.

УДК 576.858

ВИРУСОЛОГИЯ

## ИССЛЕДОВАНИЕ ИНТЕРФЕРОНОГЕННОЙ АКТИВНОСТИ ФАГА ДДVI

И. И. Георгадзе, Т. В. Биркадзе, Т. Г. Чанишвили, Т. Г. Орлова,  
Э. В. Чичинадзе, Л. К. Гачечиладзе, А. И. Когновицкая

Тбилисский НИИ вакцин и сывороток МЗ СССР

Поступила в редакцию 8.1.1980

Концентраты ДНК-содержащих бактериофагов (T-четные и родственные им фаги) индуцировали выработку интерферона в клетках животных *in vitro* и *in vivo*. Было показано, что интактные фаговые частицы не обладают интерферон-индуцирующей активностью, которая, однако, может возникнуть во время репликации бактериофага в клетках хозяина. Среди исследованных препаратов фага ДДVI самым активным интерфероногеном оказался комплекс ДНК+РНК, полученный методом гибридизации.

Способность бактериальных вирусов-фагов индуцировать интерферонообразование является все еще спорной. Не вполне ясным является механизм интерфероногенеза, индуцированного ДНК-содержащими фагами, хотя и доказано, что только репликативные формы РНК-овых бактериофагов способны индуцировать образование интерферона [6, 7, 11]. В литературе имеются указания о способности ДНК-овых фагов индуцировать отмеченный процесс. Например, бактериофаг бруцелл и колифаг T4 индуцировали выработку интерферона *in vitro* и *in vivo* [8, 9]. Было сделано предположение, что ДНК T4 колифага непосредственно индуцирует образование интерферона без транскрипции в РНК, в силу специфической структурной конфигурации ДНК, существующей внутри интактного фага. Причиной такого предположения была неспособность транскрипции ДНК фага T4 в двусpirальную форму РНК в клетках животных. Однако позднее было показано, что ДНК данного фага способна транскриптироваться во многих системах [10]. Таким образом, не ясно, осуществляется ли интерфероногенез, индуцированный ДНК-овыми фагами, с помощью двусpirальных комплексов нуклеиновых кислот (как и в случае РНК-овых фагов) или с помощью других компонентов интактного фага.

Целью настоящего исследования было изучение способности ДНК-овых фагов индуцировать интерферонообразование и выяснение вопроса, какие компоненты в фаговых препаратах ответственны за данный процесс.

### МЕТОДИКА

В опытах были использованы человеческие и мышиные лейкоциты периферической крови, клетки человеческих, мышиных, куриных фибробластов, клетки костного мозга различного происхождения, клетки селезенки кур. Ранее нами приведены методы получения клеток, индукция интерферона *in vitro* и *in vivo*, его титрование [4], а также полу-

Выделение РНК и ДНК из исследуемого материала проводили по методу Тихоненко [5], а также по методу Миллер [3]. Для гибридизации с РНК в течение 3,5 мин производили разделение цепей ДНК [2] при 90°.

Из интактных и зараженных ДДVI фагом бактерий *E. coli* В через 10—16 мин после инфекции выделяли РНК с помощью горячего фенола, уравновешенного Na-ацетатным буфером (рН 5,2), содержащим 0,5%-ный додецилсульфат Na. Для гибридизации к разделенным цепям ДНК (20 мкг/мл) добавляли и-РНК (30 мкг на пробирку) и проводили инкубацию при 67° в течение 3 ч. Для инактивации ДНК-азы в пробирки, находившиеся в ледяной бане, добавляли 10 мкг РНК-азы, прогреваемой в течение 2 мин при 85°С. Смесь перемешивали и инкубировали в течение 30 мин при 37°С. Затем пробирки вновь охлаждали до 0° и смесь промывали в 5,0 мл буфера (0,5 М KCl, 0,01М трикс, рН 7,5).

Таблица 1

Содержание интерферона в сыворотке мышей после индукции ДНК-овыми фагами

Индукторы интерферона (фаговые концентраты)	Активность интерферона (ед/мл)	
	беспородные мыши	мыши линии СВА
ДДУI — интактный	80—160	320
T2 — интактный	80—160	160
T2 — прогретый	< 10	< 10
ДДУI — интактный	160—320	640
ДДУI — прогретый	< 10	< 10
ДДУI — инактивированный в про- цессе хранения	320	н. с.*
ДНК — фага ДДУI	< 10	< 10
ли фактор фага ДДУI	< 10	< 10

\* н. с. — опыт не ставили

Определение количества ДНК и РНК проводили спектрофотометрически, считая, что одна единица экстинкции при 260 нм соответствует 50 мкг ДНК, 40 мкг РНК и 36 мкг одноцепочечной ДНК в 1 мл [3].

Для индукции интерферона препараты использовали в следующих количествах: *in vivo* — клетки *E. coli* В в концентрации 10<sup>4</sup>—10<sup>5</sup>/мл, фаговые концентрации с титром 10<sup>9</sup> и выше, РНК и ДНК — 20—50 гамма/мл, *in vitro* — 200 микробных тел (*E. coli* В) на клетку, 1000 фаговых частиц на клетку и РНК и ДНК — 20—60 гамма/мл.

Для проведения исследований *in vivo* и *in vitro* были использованы: интактные ДНК, содержащие фаги T2, ДДVI, ДДVII; ДНК, выделенная из фага ДДVI; ли фактор фага ДДVI; фаг ДДVI, инактивированный температурой; фаговые концентраты 10-летней давности.

## РЕЗУЛЬТАТЫ ИССЛЕДОВАНИЙ И ОБСУЖДЕНИЕ

Результаты опытов по интерфероногенной активности исследуемых фаговых препаратов, проведенных *in vivo* на белых беспородных мышах и мышах линии СВА, приведены в табл. 1.

Оказалось, что интактные фаги, а также фаги, инактивированные в процессе хранения, индуцируют выработку сывороточного интерферона, однако его титры на мышах линии СВА оказались несколько выше,



чем на беспородных. Фаги, инактивированные нагреванием (при 95° в течение 15 мин), лишены способности индуцировать интерферонобразование. ДНК, выделенная из фага ДДVI, и лі фактор данного фага также не индуцировали выработку интерферона.

Результаты, полученные при индукции выработки интерферона ДНК-овыми фагами (Т-четные фаги) во взвеси лейкоцитов человека и мышей, костного мозга человека, кур и мышей, селезенки кур, представлены в табл. 2 и 3.

Таблица 2  
Индукция интерферона ДНК-овыми фагами во взвеси лейкоцитов крови\*

Индукторы интерферона	Активность интерферона (ед/мл) во взвеси лейкоцитов	
	человека	мышей
Фаг Т2—интактный	40, <10, 20, 40	н. с.**
Фаг ДДУ1—интактный	20, 40, 10, <10	20, 40, <10
Фаг ДДУ1—интактный	40, 80, 40, <10, 10	20, 40, 10, 40
Фаг ДДУ1—прогретый	160, 80, <10	<10
Фаг ДДУ1—инактивированный	<10, <10	
и процессе хранения		
ДНК, выделенная из фага ДДУ1	160, 320 <10, <10	н. с. <10

\* — В таблице приведены результаты разных опытов

\*\* — н. с. — опыт не ставили

Как видно из табл. 2, исследуемые фаги и их препараты индуцировали выработку интерферона во взвеси лейкоцитов человека и мышей. ДНК, выделенная из фага ДДVI, как *in vivo*, так и *in vitro*, не индуцировала выработку интерферона. Интерфероногенную активность *in vitro* сохранял фаговый концентрат 10-летней давности, в котором остаточный титр жизнеспособных частиц равнялся 10<sup>4</sup>.

Таблица 3  
Индукция интерферона фагом ДДVI во взвеси клеток костного мозга разного происхождения\*

Источник интерферона	Активность интерферона
Человеческий костный мозг	20, <10, <10, 80, 40, 10, 80, 40, <10
Мышиный костный мозг	40, 80, 40, <10, 80, 160, <10
Куриный костный мозг	<10, 80, 80, <10, 160, 40
Клетки куриной селезенки	320, 320, <10, 640, <10

\* В таблице приведены результаты разных опытов

Как и в случае лейкоцитов крови, клетки костного мозга разного происхождения и селезенки кур активно вырабатывали интерферон в ответ на воздействие фага ДДVI (табл. 3).

Однако надо отметить, что полученные результаты по интерфероногенной активности фаговых препаратов от опыта к опыту были неодинаковы, активность индуцированного фаговыми препаратами интерферона колебалась от 10 до 100—320 ед/мл, а иногда интерферон вообще отсутствовал.



Для объяснения данного факта с целью возможного выяснения механизмов интерфероногенеза, индуцированного ДНК-овым фагом, более детально были изучены препараты фага ДДVI, полученные на разных этапах приготовления и очистки фагового концентрата.

Была проверена интерфероногенная активность следующих препаратов фага ДДVI: исходный фаг, взятый для приготовления концентрата, и пробы, отобранные в процессе инфекции фагом ДДVI клеток *E. coli B* (через 10—16 мин инфекции, когда реплицировалась фаговая нуклеиновая кислота). Пробы, взятые на этой стадии, разрушали хлороформом или низкой температурой, часть центрифугировали (5000 g) в течение 30 мин при +4°C, а другую — на центрифуге Spinco L2 — 65 В (ротор — 50, режим центрифугирования — 20 000 об/мин). Проверяли интерфероногенную активность как осадков, так и надосадочных жидкостей. Исследовали также интерфероногенную активность ДНК и РНК, выделенных из проб, отобранных в процессе инфекции фагом ДДVI клеток *E. coli B* (10—16-я мин культивирования), лизатов, полученных по окончании аэрации, и концентратов фага, очищенных разными методами. Результаты проведенных исследований приведены в табл. 4.

Таблица 4  
Индукция интерференообразования различными препаратами фага ДДVI у мышей линии СВА  
и в лейкоцитах человека

Индукторы интерференообразования	Активность интерферона (ед/мл)	
	лейкоцитарного	сывороточного
1. Исходный фаг ДДVI	5	40
2. Проба после инфекции	20	40
3. Проба после инфекции, разрушенная		
а) хлороформом:		
1. надосадочная жидкость	40	610
2. осадок	5	40
б) низкой температурой:		
1. надосадочная жидкость	80	320—640
2. осадок	5	80
4. РНК, выделенная из инфекционных проб	< 5	< 10
5. ДНК, выделенная из инфекционных проб	< 5	< 10
6. РНК+ДНК, выделенные из инфекционных проб	40	80
7. Лизат после окончания аэрации:		
1. надосадочная жидкость	40	160
2. осадок	10	< 10
8. Концентрат фага ДДVI, очищенный на ДЕАЕ	10—20	80—160
9. Концентрат фага ДДVI очищенный изосаждением	20—40	160
10. Концентрат фага ДДVI, очищенный в градиенте плотности сахараозы	< 10	< 10
11. Концентрат фага ДДVI, очищенный в градиенте плотности цезия	< 10	< 10
12. ДНК, выделенная из фагового концентрата ДДVI	< 10	< 10

Как видно из представленных данных (табл. 4), не все препараты фага ДДVI, отобранные в процессе приготовления фагового концентрата, индуцировали образование интерферона. Надосадочные жидкости инфекционных проб индуцировали образование интерферона *in vitro* (40—80 ед/мл) и *in vivo* (640 ед/мл), в то время как исходный фаг индуцировал интерферон с активностью в 5 и 40 ед/мл соответственно.

Серия биологическая, т. 6, № 5



венно. Меньшей активностью обладали надосадочные жидкости, полученные в результате центрифугирования лизата (пробы получены по окончании аэрации): 40 ед./мл — *in vitro* и 160 ед./мл — *in vivo*. Интерферон в меньших титрах индуцировали осадки (5—10 ед./мл и 40—80 ед./мл) и вовсе не индуцировали препараты ДНК и РНК. При введении мышам линии СВА и в лейкоциты человека РНК+ДНК, выделенных в процессе репликации фага ДДVI на клетках *E. coli B*, активность интерферона составила 40 и 80 ед./мл соответственно. Кроме того, не все препараты фагового концентрата, очищенного разными методами, обладали способностью индуцировать интерфенообразование. Так, активность интерферона в 20, 40 ед./мл *in vitro* и 80—160 ед./мл *in vivo* наблюдалась при введении фаговых концентратов, полученных путем колонной хроматографии на ДЕАЕ целлюлозе и изоосаждением, в то время как препараты, очищенные в градиенте плотности сахарозы или цезия, не обладали такой способностью, также как ДНК, выделенная из очищенного концентрата фага ДДVI.

Анализ представленных данных показывает, что сравнительно высокой интерфероногенной активностью обладают двуцепочечные комплексы нуклеиновых кислот (РНК+ДНК), возникающие в процессе репликации фага ДДVI на клетках *E. coli B*. По-видимому, отмеченные комплексы в разных количествах могут присутствовать (либо вовсе отсутствовать) в препаратах фага, чем можно объяснить неодинаковую интерфероногенную активность последних, зависимость титров интерферона от разведения или степени очистки фагового концентрата.

Для подтверждения отмеченного предположения были проведены эксперименты с целью получения комплекса ДНК+РНК, на том основании, что и-РНК, выделенная из зараженных фагом ДДVI клеток *E. coli B*, может гибридизироваться с изолированной целью ДНК фага, содержащей последовательность нуклеиновых кислот, комплементарной этой РНК. Иными словами, гибридизироваться будет только фагоспецифическая РНК, поскольку она комплементарна фаговой ДНК.

Полученные нами препараты гибридных нуклеиновых кислот ДНК+РНК, а также препараты, отобранные в ходе приготовления гибрида, были проверены на биологическую активность в лейкоцитах и на мышах. Как показали полученные результаты (табл. 5), из всех исследованных препаратов интерфероногенной активностью обладали только пробы, содержащие комплексы нуклеиновых кислот, составленные из фагоспецифической и-РНК (возникающей в ходе репликации фага ДДVI) и одноцепочечной ДНК того же фага. Контрольные препараты нуклеиновых кислот, а именно: одноцепочечная ДНК, расплавленная и быстро охлажденная; ресинтезированная ДНК, расплавленная и медленно охлажденная; ДНК, выделенная из фага ДДVI; РНК, выделенная в процессе инфекции и из бактериальных клеток, не обладали способностью индуцировать процесс интерфенообразования в исследуемых моделях.

Проведенные исследования позволили установить возможность выработки интерферона клетками животных *in vitro* и *in vivo* при использовании в качестве индуктора вирусов бактерий ДНК-owych Т-четных фагов, а именно T2, ДДVI, ДДVII. Однако, интерферониндуцирующий компонент не связан с самой фаговой частицей, несмотря на факт адсорбции фага на животные клетки, что было показано нами ранее [1].

В силу того, что при разрушении бактериальных клеток фагом образуются дезинтегрированные компоненты бактериальной клетки, они могли оказаться во всех фракциях фагового препарата и нести активное начало интерфероногенов. Поэтому нами были проведены опыты с целью изучения роли отдельных компонентов как клетки *E. coli B*, так и



фага. Полученные результаты позволили сделать предположение, что ~~ФАКТОРЫ~~  
терфероногенный компонент возникает в процессе репликации фага ДДVI  
на бактериальных клетках. Подтверждением последнего является не-  
способность к индукции интерферона высокоочищенных препаратов  
фага, а также ~~ті~~ фактора ДНК-ового фага ДДVI и выделенной из  
него ДНК.

Таблица 5

Интерфероногенная активность препаратов нуклеиновых кислот фага ДДVI

Индукторы интерферона	Активность интерферона (ед./мл)	
	лейкоцитарного	сывороточного
1. РНК, выделенная из <i>E. coli</i> B+ДДVI на 10—16-й мин инфекции	< 5	< 10
2. ДНК фага ДДVI	≤ 5	≤ 10
3. РНК <i>E. coli</i> B	≤ 5	≤ 10
4. ДНК — расплавленная и быстро охлажденная	≤ 5	≤ 10
5. ДНК — расплавленная и медленно охлажденная	≤ 5	≤ 10
6. РНК — обработанная для получения комплекса РНК + ДНК	≤ 5	≤ 10
7. Комплекс РНК+ДНК	40—80	160—32

Нами было показано, что интерфероногенным компонентом в препаратах ДНК-ового фага ДДVI является двунитевой комплекс нуклеиновых кислот (РНК+ДНК), полученный с помощью гибридизации и-РНК с цепью ДНК фага.

Таким образом, комплексы полинуклеотидов, полученные из препаратов ДНК-ового фага, стимулируют выработку интерферона. Это подтверждают наши данные на примере фага MS2, двухцепочечная репликативная форма РНК которого была весьма активным индуктором интерферона [2].

#### ЛИТЕРАТУРА

- Георгадзе И. И., Чанишвили Т. Г., Гачечиладзе Л. К. Изв. АН ГССР, сер. биол., 4, 1, 63—70, 1975.
- Георгадзе И. И., Чанишвили Т. Г., Когновицкая А. И., Алавидзе З. И., Орлова Т. Г., Биркадзе Т. В. Изв. АН ГССР, сер. биол., 4, 6, 557—562, 1978.
- Миллер Д. Эксперименты в молекулярной генетике, «Мир», М., 1976.
- Орлова Т. Г., Георгадзе И. И., Когновицкая А. И. Acta Virol., 18, 210—216, 1974.
- Тихоненко Т. И. Биохимия, 27, 6, 1015—1022, 1962.
- Doskocil J., Fuchsberger N., Vertak J. Acta Virol., 15, 6, 523—527, 1971.
- Jajdosova S., Doskocil J., Mayer V. Acta Virol., 17, 3, 1973.
- Keyhani M. Vet. Res., 84, 657—660, 1969.
- Kleinshmidt N. J., Douthart R. J., Murphy E. B. Nature, 228, 5266, 27—30, 1970.
- Notary G. W. J. Mol. Biol., 73, 231—235, 1973.
- Vetrak J., Fushberger N., Lackovich V. Acta Microbiol. Pol., Ser. A, 22, 3—4, 155, 1973.



დან-ის შემცველ ბართერიონაგ დდვი-ის ინტერფენონოგანული გრანული  
თვისმების შეძალა

ი. გორგაძე, თ. ბირკაძე, თ. ჭანიშვილი, ტ. ორლოვა, ი. კიბიძე,  
ქ. გაჩიჩილაძე, ა. კოჩიოვიცაძა

სსრ ჯანმრთელობის დაცვის სამინისტროს თბილისის ვაქცინებისა და  
შრატების სამეცნიერო-კვლევითი ინსტიტუტი

რეზიუმე

ღმ-ის შემცველი ბაქტერიოფაგების ( $T$ -წავილი ფაგები) კონცენტრა-  
ტები ცხოველურ უჯრედში *in vitro* და *in vivo* იწვევენ ინტერფენონის  
გამომუშავებას. გამოიჩინა, რომ ინტერფენონის წარმომშობი კომპონენტი  
თვით ფაგის კორპუსეულასთან არ არის დაკავშირებული, მიუხედავად იმისა,  
რომ ხდება ფაგის აცხორბცია და იგი შიგ ცხოველურ უჯრედში შეაღწევს.

ინტერფენონი წარმოიქმნება ფაგისა და ბაქტერიალური უჯრედის ურთი-  
ერთმოქმედების ადრეული რეპლიკაციის ეტაპზე. ფაგ დდვი-ის ყველა გამო-  
კვლეულ პრეპარატებს შორის მეტად ატიური თვისებები აქვს ღმ-რნმ-ის კომ-  
პლექსს, რომელიც წარმოიქმნება ამ ფაგის *E. coli* B-ის უჯრედებში რეპლიკა-  
ციის დროს, და რომელიც ჩვენ მივიღეთ ნუკლეინის მეავათა ჰიბრიდიზაციის  
მეთოდით.

## STUDIES OF INTERFERONOGENIC ACTIVITY OF DNA PHAGE DDVI

I. I. GEORGADZE, T. V. BIRKADZE, T. G. CHANISHVILI, T. G. ORLOVA,  
E. V. CHICHINADZE, K. K. GACHECHILADZE, A. G. KOGNEVITSKAIA

Institute of Vaccines and Sera, Ministry of Health, Tbilisi, USSR

### Summary

Bacterial virus-phages, containing DNA produce *in vivo* and *in vitro* interferon in the cells of animals. However, it has been shown that interferon-inducing component is not connected with the phage particle, in spite of the adsorption and penetration of the phage into the cells of animals. Interferon-producing effect arises in the course of interaction of the phage with bacterial cells, to be more exact, at the stage of replication of phage particles. Among the preparations of phage DDVI, the complex of DNA + RNA obtained by the method of hybridization of nucleic acid has been found to be of most interferonogenic activity.

УДК 575.224.234.2

ГЕНЕТИКА

## ПОЛИПЛОИДЫ У ПРЕДСТАВИТЕЛЕЙ РОДА ЧАЯ *THEA* (*L.*) И ИХ ГЕНЕТИЧЕСКОЕ ЗНАЧЕНИЕ

И. С. Қапанадзе, И. Г. Керкадзе

Всесоюзный научно-исследовательский институт чая и субтропических культур,  
Махарадзе

Поступила в редакцию 26.3.1979

Рассматриваются особенности образования различных кариотипов у диплоидных и триплоидных форм чая в естественных и искусственных условиях. Определены причины формирования таких кариотипов. Выявлены зиготические полиплоиды, дающие большую вегетативную массу и определена их роль в усовершенствовании производственных сортов чая. Обсуждается также вопрос угнетенного роста полиплоидов на собственных корнях и дается объяснение, почему полиплоидия не имела существенного значения в эволюции рода чая.

Изучение полипloidии у чайного растения связано с развитием кариологии. Сведения о числе хромосом у таксонов рода чая, имеющиеся в работе Кохен-Стюарта [11], нашли свое подтверждение в последующих работах кариологов [4, 7, 8, 13, 15]. Таким образом, в настоящее время окончательно установлено, что диплоидное число хромосом для видов рода чая равно 30 ( $2n=30$ ).

Впервые сведения о спонтанном полиплоиде ( $2n=45$ ) чайного растения встречаем в 1932 г. у Карасава [12], отмечавшем, что найденный им триплоидный чай дает большую вегетативную массу, но полученный из него настой имеет горький вкус.

В 1940 году в Чакви (возле г. Батуми) А. С. Каспарян [7] среди кустов цейлонского чая была найдена тетраплоидная форма, характеризовавшаяся большой кроной, крупными пузырчатыми листьями, мясистыми стерильными цветками и скороспелостью. По данным К. Е. Бахтадзе [1] качество листа этого чая низкое.

Среди полиплоидных форм чая, по данным Безбарауха [10], особого внимания заслуживают спонтанные триплоидные формы ассамского чая.

Изучению роли полипloidии в усовершенствовании ассортимента и получения новых высокоурожайных и высококачественных сортов чая и посвящена данная работа.

### МАТЕРИАЛ И МЕТОДИКА

Проводилось обследование самосева двух вариаций чая — Китайского (сорт Кимынь) и Грузинского. Полиплоидные формы выделяли по следующим тестерным признакам: для листьев — кожистость, темный цвет, тупая зазубренность, толщина и выпирающая нервация. Для флешей — свободная ломкость, короткие междоузлия, густая окраска



и вес. Хромосомы подсчитывали на давленных ацетогематоксилиновыми и ацетокарминовыми препаратах, приготовленных из растущих почек и кончиков корней. Образование разных карнотипов у триплоидного чая сорта Кимынь и гибридов № 2 и № 8 изучали на извлеченных из семяпочек зародышах. Материал фиксировали в середине августа смесью абсолютного спирта, хлороформа и пропионовой кислоты при соотношении 6:3:1 и смесью абсолютного спирта и уксусной кислоты (2:1).

Для индуцирования полиплоидии наклонувшиеся семена обрабатывали водным раствором колхицина в концентрации 0,2% при экспозиции 24 ч [5]. Обработке подверглись семена следующих разновидностей рода чая:

1. *var. bohea* (L.) DC. Грузинский голотип — японский чай.
2. *var. assamica* (Mast.) Choisy. Грузинский голотип — индийский чай.
3. *var. cantonensis* (Lour.) Choisy. Грузинский голотип — китайский чай.
4. *var. viridis* (L.) DC. Грузинский голотип — цейлонский чай.
5. *var. macrophylla* Sieb. Грузинский голотип — полиплоидный чай [2, 5, 11].

Частоту образования полиплоидов подсчитывали по формуле:  $M = q(a+b)$ , где  $M$  — частота индуцированных мутаций;  $q$  — коэффициент выборки полиплоидов в искусственных и естественных условиях;  $a$  — процент полиплоидов при обработке;  $b$  — процент полиплоидов без обработки.

Для определения интенсивности фотосинтеза использовали изотопный метод Утургаури [9]. Технологическая оценка готовой продукции чая проводилась по общепринятой методике по 10-балльной системе. Семена чая облучались  $\alpha$ -лучами на атомном реакторе института физики АН ГССР.

## РЕЗУЛЬТАТЫ ИССЛЕДОВАНИЯ И ОБСУЖДЕНИЕ

**Полиплоиды в самосевах.** Самосев чая весьма своеобразен. Он полностью покрывает поверхность земли. В нем из сорняков можно найти хвощ, инжир, пекан, лавровишину, благородный лавр и др. В самосеве после сокращения кроны растений проращивание семян чая не происходит.

В 1968 г. в 14-летних самосевах сорта Кимынь по морфологическим признакам из 3500 экземпляров было выделено 2 растения, которые оказались триплоидами ( $2n=45$ ). Эти триплоиды были приблизительно 5-летние. Они росли и развивались более активно, чем их диплоидные аналоги.

В том же году был обследован самосев Грузинского чая в количестве 2700 индивидуумов, из которых одна форма, поврежденная чайной молью (что впоследствии стало причиной ее гибели в 1970 году), оказалась триплоидом ( $2n=45$ ).

Триплоид сорта Кимынь характеризуется следующими морфологическими признаками: имеет крупные, кожистые, толстые, темно-зеленые листья, длина которых колеблется от 9,2 до 15,2 см, ширина от 4,5 до 5,9 см, толщина от 37 до 52 мк. Эти же параметры у диплоидного аналога выглядят так: длина листьев колеблется от 6,0 до 9,8 см, ширина от 3,2 до 4,3 см, толщина — 24—35 мк.

Интересно, что в странах мирового распространения чая, в самосеве большей частью находят триплоиды, а не тетраплоиды. Причиной этого факта могут быть два обстоятельства: большая возможность



выживания триплоидов, а также их образование в большом количестве. Видимо, триплоидный уровень для выживания чая более оптimalен, чем тетраплоидный, а что касается большей частоты встречаемости в самосеве триплоидов, то это обусловлено малым количеством образования яйцеклеток и большим — спермиев. Так, например, в одном цветке чая образуется от 12 до 20 яйцеклеток и 35—40 млн. пыльцевых зерен. При таком соотношении их женские и мужские гаметы с нередуцированным числом хромосом должны возникнуть в равном количестве, но в силу случайности, при малом количестве яйцеклеток и большом — спермиев, они не могут соединяться с одинаковой частотой.

Плоидность зародышей триплоидного чая сорта Кимынь. Триплоидный чай сорта Кимынь образует жизнеспособную пыльцу, прорастаемость которой колеблется от 17 до 41%. Указанное количество функциональной пыльцы достаточно для нормальной осемененности коробочек чая, но, видимо, не все из яйцеклеток обладают оплодотворяющей способностью. Заслуживает внимания, что стерильностью, несмотря на образование жизнеспособных женских гамет [10, 12], характеризуются также и японская и индийская триплоидные формы.

Следует отметить, что по завязываемости и образованию коробочек обнаруженный нами триплоид не уступает диплоидному аналогу, но подавляющее большинство семян у него — либо щуплые, либо недоразвитые. Для установления причин зиготной стерильности изучали плоидность проэмбрио и их созревание.

При сравнении извлеченных зародышей триплоида с извлеченными зародышами диплоида оказалось, что у триплоидного чая возникают мелкие, средние и крупные зародыши. Так, например, из 255 изученных зародышей мелкими оказались 63, средними — 32, а крупными — 140, причем крупные зародыши оказались диплоидами, триплоидами, тетра- и гексаплоидами.

Для выяснения выживаемости этих зародышей в естественных условиях в течение трех лет мы изучали самосевы триплоидного чая; всего было изучено 157 сеянцев. Из них триплоидами оказались 14, тетраплоидами — 5, а диплоидами — 39 сеянцев. В последующие годы погибло 11 триплоидов, все тетраплоиды, 20 диплоидов, а оставшиеся 19 сеянцев растут, но по сравнению с диплоидными аналогами они более слабые. Видимо, диплоидные сеянцы триплоидного чая являются либо дигаплоидами, либо их некрозированными гибридами.

Особого внимания заслуживает образование различающихся по числу хромосом проэмбрио. Причиной их образования является развитие спор, несущих несбалансированное число хромосом. Это явление у индийского триплоидного чая наблюдал Безбараух [10]. Почему прозародыши, имеющие несбалансированное число хромосом, не могут дать начало жизнеспособным сеянцам, ведь теоретически поликариотипы должны быть жизнеспособными? По всей вероятности, причиной зиготической стерильности здесь является их физиологическое несоответствие с эндоспермом. По данным Тахикава [14] известно, что полиплоидные формы плохо скрещиваются с их диплоидными аналогами, тогда как в противном случае снимается барьер нескрещиваемости. Установлено, что если хромосомное число эндосперма не превосходит хромосомное число зародыша в 1,5 раза, эмбрион развивается угнетенно и в конечном итоге погибает либо в постэмбриональном периоде, либо на более раннем этапе. Видимо, в силу этого у триплоидного чая зародыши с несбалансированным числом хромосом погибают еще в семяпочке.

**Индукция полипloidии.** Как было отмечено, чай имеет склонность к естественной полипloidии, в частности, в его диплоидных популяци-

Название чай	Спонтанно					При колхизинизации					При облучении				
	необ- рабо- танных семян	гапло- идов	три- плоидов	тетра- плоидов	в 1000 (M) семянах	обра- ботан- ных семян	гапло- идов	три- плоидов	тетра- плоидов	в 1000 (M) семянах	обра- ботан- ных семян	гапло- идов	три- плоидов	тетра- плоидов	в 1000 (M) семянах
Японский	5000	4	3	—	0.0014	1000	—	1	20	0.021 ±0.0014	1000	2	—	9	0.009 ±0.0014
Индийский	5000	—	4	1	0.0002	1000	—	—	18	0.018 ±2.0002	1000	3	1	11	0.012 ±0.0002
Китайский	5000	3	5	2	0.0004	1000	—	1	28	0.029 ±0.0004	1000	4	2	13	0.015 ±0.0004
Цейлонский	5000	5	4	1	0.0002	1000	—	2	33	0.035 ±0.0002	1000	2	1	12	0.013 ±0.0002
Селен Судумский	5000	3	4	—	0.0016	1000	—	—	15	0.015 ±0.0016	1000	6	—	10	0.010 ±0.0016

Биологические и технологические показатели у чая с разным кариотипом

Наказание объектов	Высота растения в см	Ширина кроны в см	Средняя длина листьев в см	Средняя ширина листьев в см	Средняя длина одногодичных побегов в см	Степень вес зелёствых флишев в г	Активность фотосинтеза в микромоль аромат и ваканс в баллах	Технологическая однотипия	
								Фотосинтез в микромоль аромат и ваканс в баллах	цвет настои
Полипloid 1804 2n=30	121	137	9.3	3.9	33.8	1.53	3829	6	выше среднего
Диплоид 1804 2n=30	116	87	7.5	3.4	24.4	1.10	972	5	средний
Полипloid 1507 2n=60	151	134	9.7	3.7	33.0	1.30	1032	6	выше среднего
Диплоид 1507 2n=30	94	64	8.0	3.2	20.0	0.85	885	5	средний



ях, помимо гаплоидов, образуются триплоиды и тетраплоиды. Прямо из этих форм сравнительно с большей частотой образуются триплоиды, не уступающие диплоидам по жизнеспособности. Именно этим и объясняется то, что в естественных посевах чая, помимо диплоидов, встречаются только триплоиды. В этой связи мы изучали возможности формирования природной склонности к полипloidии возбуждением ее 0,2% колхицина и  $\alpha$ -лучами — 3000 Р/м (Т-1).

Наклонувшиеся семена, спустя 10 дней инкубации, обрабатывали 0,2% колхицина. Сразу приостанавливается рост обработанных семян, апикальная меристема корня грубеет, толстеет, меняет цвет от белого до темно-коричневого, причем такое угнетенное состояние продолжается почти до 15—25 дней, а затем подавляющее большинство их выходит из угнетенного состояния и возобновляет рост, семядоли зеленеют, увеличиваются в объеме и в таком состоянии находятся почти до года. По данным табл. 1, при колхицинировании семян гаплоидных всходов не отмечено, тогда как в контроле они встречаются. По всей вероятности, данная концентрация колхицина вызывает гибель гаплоидов; число триплоидов, в основном, соответствует контролю, так как их образование детерминировано частотой соединения диплоидных и гаплоидных гамет, а не воздействием колхицина. Привлекает внимание тот факт, что частота ( $M$ ) образования тетраплоидов высока и колеблется от 1,5 до 3,5%.

При обработке колхицином наблюдается угнетение роста и уродливость проростков, а всходы, полученные от облученных семян, наоборот, по энергии роста не уступают контрольным; помимо этого, во всех вариантах появляются гаплоидные сеянцы. Видимо, облучение стимулирует развитие гаплоидов. Число триплоидов такое же, как в контроле, с той лишь разницей, что при облучении полученные триплоиды растут более энергично, чем спонтанным путем. Частота образования тетраплоидов, по сравнению с колхицинированием, значительно понижена.

Следует отметить, что как при колхицинировании, так и при облучении полученные тетраплоиды растут более угнетенно, чем триплоиды. Это объясняется тем, что при соматической тетраплоидизации происходит кратное увеличение геномов, а не рекомбинации, тогда как при образовании триплоидов имеет место и то, и другое.

**О жизнеспособности и достоинстве полиплоидов.** Подавляющее большинство полиплоидных форм чая характеризуется более угнетенным ростом и биологически несовершенным развитием, по сравнению с их диплоидными аналогами. Этот факт находится в противоречии с генетикой полиплоидов; полиплоидия, как прогрессивный путь эволюции и закономерное явление, должна вызывать усиление жизненных функций, а не их угнетение. П. М. Жуковский [2, 3] высказал мысль о том, что угнетенный рост и развитие полиплоидов не обусловлены генетическими факторами. Причиной угнетения жизненных функций является физиологическое несоответствие диплоидного микоризного симбионта (грибок) меристемы с полиплоидным организмом, вследствие чего корневая система не обеспечивает в достаточной мере подачу воды и питательных веществ. Концепция П. М. Жуковского нашла подтверждение в практике [6]. Поскольку чай относится к числу микоризных растений, этот феномен специально изучается нами.

Среди исследованных тетраплоидов, полученных при облучении  $\alpha$ -лучами, особого внимания заслуживают две формы (Т-2). Обе они по мощности кроны, годовому приросту, весу фleshей и активности фотосинтеза, а также по аромату и вкусу готовой продукции значительно превосходят исходные диплоидные аналоги.



По активности фотосинтеза привлекает к себе внимание тетраплоидная форма чая китайской разновидности № 1804, которая не имеет себе равной по поглощению  $C_{14}$ —в минуту поглощает его в четыре раза больше, чем ее диплоидная исходная форма. Почему именно эти тетраплоиды оказались сильнорослыми и высокопродуктивными (ведь если они были получены при гибридизации, то это произошло бы на основании рекомбинационного эффекта)? Усиление жизненных функций у этих полиплоидов, по всей вероятности, вызвано либо мутацией, либо развитием диплоидных корневых чехликов, биологически соответствующих меристемному микоризному симбионту.

## ЛИТЕРАТУРА

1. Бахтадзе К. Е. Труды Грузинского института чая и субтропических культур, 2, 1948, 143—148.
2. Жуковский П. М. Ботаника, «Колос», Л., 1964.
3. Жуковский П. М. Природа, 6, 29—33, 1971.
4. Залдастанишвили Ш. Г. Труды по прикладной ботанике, генетике и селекции, II, 1, 242—274, 1932.
5. Капанадзе И. С., Елисеев В. А. Сообщения АН ГССР, 77, 1, 173—175, 1975.
6. Капанадзе И. С., Тавадзе М. Е. Генетика, 12, 10, 31—39, 1976.
7. Каспарян А. С. ДАН СССР, 27, 9, 1017—1019, 1940.
8. Тавдигридзе Ш. К., Керкадзе И. Г. Субтропические культуры, 2, 132—136, 1975.
9. Утургаури А. И. Исследование некоторых вопросов жизнедеятельности субтропических культур с использованием реактивного изотопа. Автореф. канд. дисс., Тбилиси, 1968.
10. Bezvragan H. P. Exp. Agric., 11, 1, 17—22, 1975.
11. Cochen Stuart C. P. Ann. du Jard. Bot. de Buitenzorg, 15, 2, 142—145, 1918.
12. Karasawa K. Bot. Mag. (Tokyo), 46, 458—460, 1932.
13. Morinaga T. Bot. Mag. (Tokyo), 45, 140—145, 1931.
14. Tachikawa T. In: Premier Congrès International d'agromiculture Murcie et Valence (Espagne), 1973, 523.
15. Yamashita K. Agric. a. Hort. (Tokyo), 12, 6, 1583—1584, 1937.

პოლიცლოიდები ჩაის გვარში (THEA J.) და მათი გენეტიკური ხელვალობა

ი. კაკანაძე, ი. მირიანძე

ჩაისა და სუბტროპიკული კულტურების სეივშირი  
სამეცნიერო-კულტურითი ინსტიტუტი, მახარაძე

რეზიუმე

ჩაის გვარისთვის დამახასიათებელი თვისებაა სპონტანურად წარმოშვას 19, 29, 30, 34, 44, 45 და 60 ქრომოსომიანი ფორმები, თუმცა მათგან უმრავლესობა (გაბლოიდები, ჰიბრიდულოიდები და ტეტრაბლოიდები) ემბრიონული განვითარების ადრეულ ფაზაშივე იღუპება.

ტრიპლოიდური ჩაი წარმოშვას გაბლოიდებს, დიპლოიდებს, ტრი, ტეტრა, პენტა და პენტაბლოიდებს.



პოლიპლოიდი დაზი რაოდენობით წარმოიშობიან, თუ გალვივებული ცისტოფიზია 24 საათის განმავლობაში 0,2% კოლხიცინის სსნარით დავამუშავებთ, ან მშრალ ოქსლზე თუ 3000 რ/წ ა-სხივებით ვიმოქმედებთ.

ზოგიერთი ტრიპლოიდური ფორმა უფრო მეტ ვიზეტატიურ მასას და საუკეთესო ხარისხის პროდუქციას იძლევა, ვიდრე მათი საშუალი დიპლოიდური ფორმები.

ალბათ იმის გამო, რომ პოლიპლოიდური ფორმები საკუთარ ფესვზე ცუდად ვითარდებიან და თან მათში მნიშვნელოვნად არის შეზღუდული სქესობრივი პროცესი, ბუნებრივ პირობებში, პოლიპლოიდის ჩას გვარის ევოლუციაში ასევებითი როლი არ შეუსრულებია.

ქიმიკული პოლიპლოიდები, რომელთაც დიპლოიდური გარეგანი შრე ფესვის შალითა გააჩნიათ, უფრო ენერგიულად იზრდებიან და ვითარდებიან, ვიდრე პოლიპლოიდური შრის მქონე მათი დიპლოიდური ანალოგები.

## THE POLYPLOIDS OF THE (THEA L.) GENUS OF TEA AND THEIR GENETIC SIGNIFICANCE

J. S. KAPANADZE, J. G. KERKADZE

The All-Union Institute of Tea and Subtropical Crops, Makharadze, USSR

### Summary

The genus of Tea has a tendency to give rise to spontaneous polyploids, having 15, 29, 30 32, 34, 45 and 60 chromosomes. However, an overwhelming majority of them, particularly haploids, hypodiploids and tetraploids perish at an early stage of postembryonal development, due to low vitality. Among the polyploids, triploids, zygotic tetraploids and chemical polyploids are distinguished with vigorous growth.

Triploid Tea forms have the following karyotypes: haploids, diploids, triploids, tetra- penta- and hexaploids and also hypo- and hyperploids.

The maximum number of polyploids arises when germinated seeds are treated with Colchicin 0.2% concentration, exposed for 24h., and also by exposure of dry seeds with rays at a dose of 3000R/M.

Some polyploid from a large vegetative mass surpassing their diploid analogues, the same tendency being noted in relation with the quality of the product too.

The polyploid forms of Tea, except triploids and zygotic tetraploids, show poor growth when grown as seedlings. Moreover, reproduction is suppressed in polyploids. Probably because of this, polyploidy did not play a significant role in the evolution of Tea in nature.

Chimerical polyploids having diploid outer layer-root cap, grow and develop more vigorously in comparison to their diploid analogues.

РЕЦЕНЗИИ

К ОПУБЛИКОВАНИЮ ГРУЗИНСКОЙ ГИСТОЛОГИЧЕСКОЙ  
И ЭМБРИОЛОГИЧЕСКОЙ НОМЕНКЛАТУР

В последнее время грузинская научная литература обогатилась двумя книгами, аналогичными по своему характеру и дополняющими одна другую. Это — «Международная гистологическая номенклатура» («Ганатлеба», Тбилиси, 1977) и «Международная эмбриологическая номенклатура» («Мецниереба», Тбилиси, 1979). Особенность этих книг состоит в том, что в них впервые дан полный свод грузинских номенклатурных терминов по гистологии и эмбриологии. Кроме того, эмбриологическая номенклатура в нашей стране издана впервые.

Решение о необходимости создания международной гистологической, а также эмбриологической номенклатур было принято на VII Международном конгрессе анатомов (Нью-Йорк, 1960). На основании этого решения при Международном комитете по анатомической номенклатуре были организованы подкомитеты по гистологии и по эмбриологии, которым было поручено подготовить соответствующие проекты. Проекты были представлены VIII Международному конгрессу анатомов (Висбаден, 1965), который одобрил их и предложил подкомитетам подготовить окончательные редакции обеих номенклатур. Из нескольких проектов гистологической номенклатуры был принят проект, составленный советскими гистологами. Наконец, IX Международный конгресс анатомов (Ленинград, 1970) утвердил окончательные варианты списков латинских терминов под названием «Международная гистологическая номенклатура» и «Международная эмбриологическая номенклатура».

В процессе составления проекта латинского списка советские гистологи работали над русскими эквивалентами латинских терминов (параллельный список русских названий включал в себя уже первый проект, опубликованный в 1965 г.). Список русских гистологических терминов в качестве проекта русской гистологической номенклатуры был опубликован вместе с латинским списком («Международная гистологическая номенклатура», под ред. Ю. Н. Копаева, «Медицина», «Москва, 1973»). На VIII Всесоюзном съезде анатомов, гистологов и эмбриологов (Ташкент, 1974) в проект русских терминов был внесен ряд изменений, после чего он был принят в качестве окончательного варианта. Что касается эмбриологической номенклатуры, то на русском языке она не издана до сих пор.

Следующим этапом в деле унификации гистологических и эмбриологических терминов в нашей стране должно было явиться составление номенклатурных списков на языках союзных республик, в частности на грузинском языке. По инициативе и под руководством директора Института экспериментальной морфологии АН ГССР им. А. Н. Натишивили, академика АН ГССР Н. А. Джавахишвили, сотрудниками этого же института канд. биол. наук М. А. Кордзая и канд. мед. наук. М. И. Чичинадзе были составлены грузинская гистологическая и эмбриологическая (составитель — М. А. Кордзая) номенклатуры. То, что составление грузинской гистологической и эмбриологической, а ранее и анатомической номенклатур взяли на себя сотрудники института, носящего имя А. Н. Натишивили, — вполне закономерно, ибо именно А. Н. Натишивили и его ученикам принадлежит неоценимая заслуга в деле создания грузинских анатомических, гистологических, эмбриологических и вообще морфологических терминов, начиная с первых послереволюционных лет.

Здесь нет возможности коснуться достоинств или недостатков основного, латинского, списка гистологических или эмбриологических названий, как с точки зрения самих терминов, так и их расположения, т. е. структурных принципов составле-



ния самих номенклатур. Собственно говоря, в этом уже нет и смысла, поскольку обе номенклатуры приняты международными органами и вступили в силу в качестве официальных, обязательных документов. Тем не менее, нельзя не заметить что одна из номенклатур — эмбриологическая, не отражает полностью терминологического содержания данной отрасли знания, поскольку в ней даны почти исключительно термины по эмбриологическому развитию человека, хотя и этот принцип нарушен во многих случаях (например разделы, содержащие термины по размножению, назнания плодных оболочек и термины «сравнительного» характера). Нечто подобное наблюдается и в гистологической номенклатуре, поскольку в разделе по общей гистологии отсутствуют названия тканей, которых нет у человека (некоторые виды эпителия, мышечных тканей и др.).

Вряд ли целесообразно внесение ряда терминов как в гистологическую, так эмбриологическую и анатомическую номенклатуры. Это прежде всего касается разделов о клетке (по справедливости, современная цитология, ни в каком отношении не уступающая по своему значению другим наукам, пожалуй, могла бы претендовать на свою собственную номенклатуру), а также повторения многих анатомических названий в эмбриологической номенклатуре. С другой стороны, при наличии специальной эмбриологической номенклатуры излишним оказывается раздел эмбриологических терминов в анатомической номенклатуре.

С самого же начала необходимо подчеркнуть, что составление соответствующего латинской и русской номенклатурам грузинского варианта — дело весьма нелегкое. Хотя существует довольно обширная научная и учебная литература по гистологии и эмбриологии, общепринятых терминов в этой области знаний не так уж много и, по существу, чуть ли не каждый автор пользуется ими по своему усмотрению. Так что составители грузинского эквивалента гистологической и эмбриологической номенклатур взяли на себя большой труд. Еще сложнее обстояло дело с эмбриологическими терминами, поскольку в руках составителя грузинского варианта не было русской номенклатуры. Следует сразу же признать, что составители с успехом справились со своей сложной задачей. Подавляющее большинство грузинских названий вполне эквивалентно латинским и русским и всецело соответствуют своему назначению. Хотя по своему существу большинство номенклатурных терминов имеет сугубо специальный характер, почти во всех случаях они не режут слух и звучат естественно, как исконно грузинские (это особенно важно, когда дело касается композитов и сложных названий). Вполне понятно и то, что при подборе грузинских названий учтена традиция, имеющаяся в грузинской научной и учебной литературе (хотя это не всегда оказывается полезным для самой номенклатуры). Следует заметить, что нередко грузинские названия должны быть призначены более удачными, по сравнению с русскими, так как они более адекватны латинским. Достоинством грузинской номенклатуры надо считать и то, что в ней доведено до минимума употребление так называемых «химерных» слов, т. е. слов, состоящих из частей, принадлежащих разным языкам (к сожалению, в научную, и не только в научную, терминологию все чаще проникают слова подобного рода). Это не значит, что обсуждаемые книги полностью свободны от этого недостатка: в них также можно отыскать не совсем естественные композиты и слово сочетания, однако, как было подчеркнуто, число их минимально.

Большим достоинством рецензируемых книг надо признать наличие в каждой из них полного алфавитного индекса, латинских терминов, что в значительной мере облегчает пользование ими, особенно если принять во внимание довольно сложную и своеобразную структуру самих номенклатур. Эта особенность рецензируемых книг, столь выгодно отличающая их от всех других изданий, — большая заслуга составителей грузинских вариантов гистологической и эмбриологической номенклатур и их редактора.

Тем не менее кое-какие претензии составителям, несомненно, можно предъявить. Некоторые термины представляются явно неудачными. Из имевшихся в употреблении терминов иногда выбраны не лучшие (правда, в большинстве таких случаев вина падает на анатомическую терминологию, в некоторых — это результат некритического отношения к традиции). Кое-где встречаются и громоздкие, сложные термины. Некоторые названия по-грузински даны в развернутой форме, в виде предложения, что



противоречит уже самому назначению номенклатуры (правда, подобные случаи <sup>имеются</sup> бывают и в самих латинских списках). Спорно отсутствие перевода довольно большого числа латинских эмбриологических названий и включение их в номенклатуру лишь в «грузинизированной» форме. Этот путь создания специальных терминов на том или ином языке, возможно, не так уж плох (во всяком случае, его надо предпочесть созданию неправильных и неудачных названий), но общему духу и характеру номенклатур он все-таки не соответствует. Наконец, встречаются и неточно переведенные названия.

Несмотря на отмеченные недочеты, которые без особого труда можно будет устранить во время переиздания, обе обсуждаемые книги заслуживают положительной оценки. Издание международной номенклатуры по гистологии и эмбриологии, тем более составление и опубликование грузинского списка названий, должно принести большую пользу делу публикации научной литературы в области морфологии и других медицинских и биологических наук, а также преподаванию этих наук в высших учебных заведениях.

Л. Л. Натадзе

## К СВЕДЕНИЮ АВТОРОВ

1. В журнале печатаются не опубликованные в других изданиях, завершенные, оригинальные работы экспериментального и теоретического характера по утвержденным редколлегией разделам биологии, обзорные статьи, написанные по заказу редколлегии, а также краткие сообщения и рецензии. Периодически в журнале будет помещаться краткая хроника о проведенных в республике научно-организационных мероприятиях.

2. **Объем рукописи экспериментальных и итоговых работ**, включая таблицы, рисунки, подписи к рисункам, список литературы и резюме на грузинском и английском языках (не более одной страницы машинописи на каждом языке), не должен превышать 12 страниц машинописного текста, напечатанного через 2 интервала и полем 3 см с левой стороны. К рукописи может быть приложено не более 5 рисунков. **Объем обзорной статьи—24 страницы, краткого сообщения со списком литературы и кратким резюме на английском языке (не более 6 строк)—до 4 страниц машинописи.** Краткие сообщения можно иллюстрировать 1—2 рисунками.

**Резюме на английском и грузинском языках**, список литературы, таблицы и подписи к рисункам должны быть представлены на отдельных листах.

3. Рукопись (в двух экземплярах) должна быть тщательно проверена, иметь направление учреждения и заключение экспертной комиссии в двух экземплярах. На первой странице слева приводятся индексы статьи (УДК) по таблицам Универсальной десятичной классификации, справа — раздел биологии, затем название статьи, инициалы и фамилии авторов, название учреждения, где выполнена работа, и **краткая аннотация** (не более 0,5 стр.).

Статья должна быть подписана авторами. В конце статьи необходимо указать полностью имя, отчество и фамилии авторов, домашний и служебный адреса, телефоны.

4. Введение должно содержать краткое изложение сути рассматриваемой проблемы и задачи исследования. Описание методики должно быть кратким, но позволяющим читателю самостоятельно оценить соответствие техники и методических приемов, использованных при выполнении работы. Описание результатов и их обсуждение должны ограничиваться рассмотрением и оценкой важнейших фактов, полученных в экспериментах. В конце статьи выводов печатать не следует.

5. К статье и краткому сообщению следует приложить реферат на русском языке для реферативного журнала СССР (не более 1000 знаков), оформленный следующим образом: УДК, раздел биологии, инициалы и фамилии авторов, заглавие, название журнала. В конце реферата следует указать количество таблиц, рисунков, библиографические сведения. После реферата слева в квадратных скобках нужно указать научное учреждение, в котором выполнена работа. Реферат должен быть подписан автором.

6. Иллюстрации — четкие фотографии на глянцевой бумаге и рисованные графики на кальке или белой чертежной бумаге — следует представлять в двух экземплярах (в надписанным конверте). Надписи на иллюстрациях должны быть выполнены карандашом. На обороте иллюстрации следует обозначить карандашом ее номер, фамилию автора и сокращенное название статьи, а в случае необходимости отметить верхний и нижний край.

7. Фамилии цитируемых авторов следует давать в транскрипции, соответствующей тексту статьи и в оригинальной — в списке литературы. Список литературы составляется по алфавиту. В начале списка необходимо приводить литературу грузинским или русским шрифтом, а затем латинским. После порядкового номера (в тексте статьи он ставится в квадратные скобки) следует давать фамилию и инициалы авторов, название издания, затем: для **периодических изданий** — том, страницы (от до), год; для **непериодических** — название издательства, место, год издания и страницы.

8. Рукописи, оформленные без соблюдения указанных правил, а также не соответствующие профилю журнала, возвращаются автору. Все рукописи проходят рецензирование.

9. Публикации статей производятся в порядке очередности их поступления, за исключением работ, заказанных редакцией.

10. Корректуры статей даются авторам для проверки, правки и визирования. Изменения и дополнения в тексте корректур не допускаются, за исключением исправления ошибок и спечаток. Выправленные корректуры возвращаются в редакцию в трехдневный срок. При задержке корректур редакция публикует статьи по первоначальным текстам.

11. Редакция оставляет за собой право сокращать и исправлять тексты статей.

12. Авторы получают бесплатно 12 отдельных оттисков.



60/20

Цена 70 коп.

76 204

## ХРОНИКА

### III МЕЖДУНАРОДНЫЙ ТЕРИОЛОГИЧЕСКИЙ КОНГРЕСС (III ITC)

Третий Международный териологический конгресс состоится в Хельсинском университете (Финляндия) с 16 по 20 августа 1982 года. Финский оргкомитет проводит подготовительную работу под покровительством Секции териологии при Международном союзе биологических наук (IUBS). На заседаниях будут как пленарные, так и секционные доклады и сообщения. Предполагается организовать следующие секции:

- 1) Эволюция млекопитающих, сравнительная морфология, таксономия и зоогеография;
- 2) Этология и сенсорная физиология (включая коммуникации млекопитающих, ориентацию, морфологию и гистологию сенсорных органов);
- 3) Физиологическая экология (питание, биоэнергетика, рост и развитие, физиологические адаптации и соответствующие морфологические исследования);
- 4) Экология популяций и сообществ млекопитающих;
- 5) Биология промысловых видов, управление и охрана исчезающих видов;
- 6) Контроль вредных видов и медицинская зоология.

Кроме того, будут проведены различные симпозиумы и научные экскурсии. Организаторами будут предоставлены также возможности проведения заседаний международных рабочих групп. Третий Международный симпозиум по северному оленю и карибу будет организован в качестве самостоятельного съезжания-спутника в Саариселья, Туристский центр, Лапландия с 23 до 26 августа 1982 года.

Ученые, желающие содействовать или участвовать в работе конгресса, могут получить более подробную информацию в Секретариате Всесоюзного териологического общества (109028 Москва, М. Вузовский пер., 2/5, тел.: 297-17-03).

Технический редактор Н. Г. Чипашвили  
Корректор Э. Е. Кобахидзе

Сдано в набор 22.9.1980; Подписано к печати 16.10.80; Формат бумаги  
 $70 \times 108\frac{1}{16}$ ; Бумага № 1; Печатных л. 8,40; Уч.-издат. л. 7,17;  
УЭ 09352; Тираж 1050; Заказ 2585;  
Цена 70 коп.

---

გამომცემლობა „მეცნიერება“, თბილისი, 380060, კუტაშვილი ქ., 19  
Издательство «Мецниереба», Тбилиси, 380060, ул. Кутузова, 19

---

საქ. სსრ. მეცნ. აკადემიის სტამბა, თბილისი, 380060, კუტაშვილი ქ., 19  
Типография АН Груз. ССР, Тбилиси, 380060, ул. Кутузова, 19